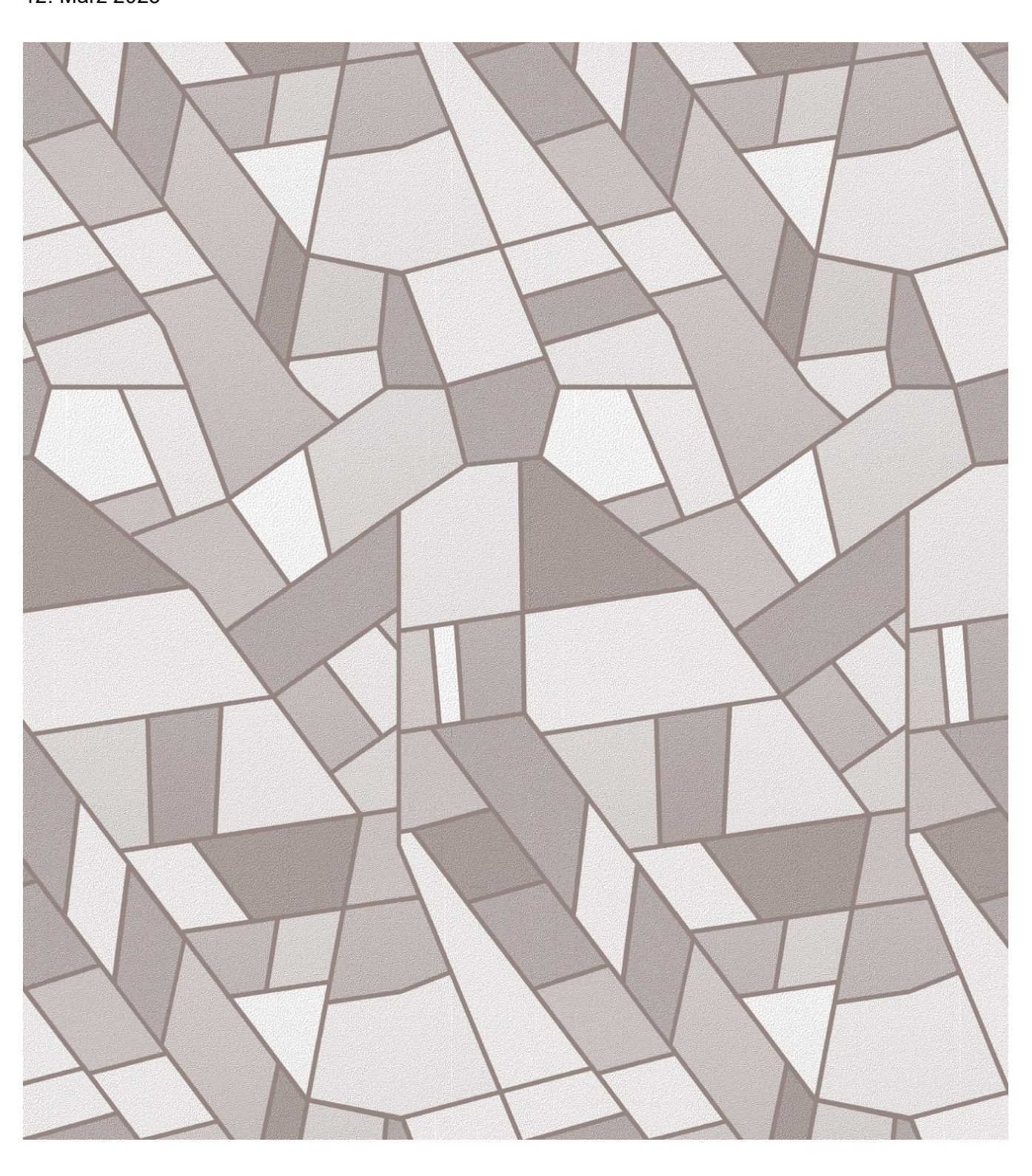


Aktualisierung Screening Personenund Umweltrisiken 2023

Dokumentation Parameteraktualisierung 12. März 2025



Projektteam

Thomas Felder
Dr. Astrid Jäger
Franziska Lindström
Peter Locher

EBP Schweiz AG
Mühlebachstrasse 11
8032 Zürich
Schweiz
Telefon +41 44 395 16 16
info@ebp.ch
www.ebp.ch

Druck: 15. April 2025

2025-03-12_Dokumentation_Parameteraktualisierung.docx

Projektnummer: 211365.24

Inhaltsverzeichnis

1.	Aus	gangslage und Zielsetzung	4				
2.	Anp	assungen am Screeningnetz	4				
3.	Übe	Übersicht Parameteraktualisierung und methodische Anpassungen					
4.	Aktu	ıalisierung ortsspezifischer Parameter	8				
	4.1	Allgemeines zur Übertragung von Daten aus BASE	8				
	4.2	Einflussgrössen auf die Personenrisiken	10				
		4.2.1 Weichendichte	10				
		4.2.2 Zulässige Geschwindigkeit für Güterzüge	11				
		4.2.3 Abdeckung mit Heissläufer- und Festbremsortungsanlagen	13				
		4.2.4 Gefahrgutmengen	14				
		4.2.5 Exposition von Anwohnern und Personen an Arbeitsplätzen	18				
		4.2.6 Exposition von Reisenden auf Perrons	18				
		4.2.7 Anzahl Reisezüge	20				
		4.2.8 Besetzung Reisezüge	21				
		4.2.9 Unterscheidung Einspur- und Mehrspurstrecken	22				
		4.2.10 Zugänglichkeit	23				
	4.3	Umweltrisiken	24				
		4.3.1 Freisetzungsorte und Art der Entwässerung	24				
		4.3.2 Parameter zu den Risiken für das Grundwasser	24				
		4.3.3 Parameter zu den Risiken für Oberflächengewässer	26				
5.	Aktı	alisierung methodische Parameter	27				
	5.1	Einleitung	27				
	5.2	Trends Bahnunfälle und mittlere Freisetzungsrate	27				
	5.3	Abhängigkeit der Freisetzungsrate vom Kesselwagen	31				
	5.4	Abhängigkeit der Freisetzungsrate von der zulässigen Höchstgeschwindigkeit	32				
	5.5	5.5 Umrechnung von Gefahrgutmengen in volle Kesselwagen					
	5.6	Berechnung Störfallwerte für den Schadenindikator «verschmutzte unterirdisch	ne				
		Gewässer»	33				
6.	Que	llen	34				

1. Ausgangslage und Zielsetzung

Das IT-Tool TgG 3.0 [1] ist das Instrument, um die Risiken infolge des Gefahrguttransports auf Normalspurstrecken des Eisenbahnnetzes auf Stufe Kurzbericht zu ermitteln.

Alle fünf Jahre werden das Screeningnetz und wichtige ortsspezifische Einflussgrössen aktualisiert. Zudem wird der Trend bei der Häufigkeit von Bahnunfällen, die zu einer massgeblichen Freisetzung von Gefahrgut führen können, analysiert und die Raten von Gefahrgutfreisetzungen darauf abgestimmt. Bei Bedarf werden in diesem Zusammenhang auch weitere methodische Parameter angepasst, wie z.B. Korrekturfaktoren für Chlorkesselwagen. Letztmals wurden diese Aktualisierungen mit den Daten von 2018 durchgeführt [2]; der damals erarbeitete Stand wird nachfolgend als «Screening 2018» bezeichnet.

Im Jahr 2024 wurde TgG 3.0 erneut aktualisiert; das entsprechende Projekt wird im Folgenden als «Aktualisierung Screening 2023» bezeichnet. Mit der Durchführung wurde die Firma EBP beauftragt. Im vorliegenden Bericht wird das Vorgehen beschrieben und wichtige Ergebnisse der Datenaktualisierung zusammenfassend dargestellt.

Verschiedene Anpassungen an den verwendeten Daten wurden durch das Projekt «Berechnung und Auswertung Störfallrisiken Eisenbahn» (BASE) ausgelöst. Als Teil des Projektes BASE wird ein IT-Tool entwickelt, mit welchem Störfallrisiken für die Bevölkerung mit einer verfeinerten Methodik und in höherer räumlicher Auflösung ermittelt werden können. Das IT-Tool, das derzeit vom BAV entwickelt wird, soll zukünftig TgG 3.0 im Bereich der Personenrisiken ablösen.

2. Anpassungen am Screeningnetz

Folgende Änderungen werden am Screeningnetz vorgenommen (vgl. Abbildung 1):

- Die folgenden Linien wurden in den Anhang 1.2a StFV aufgenommen und daher dem Screeningnetz zugefügt:
 - Die Linie 107 von Brig-Löstchberg (Abzw) bis Brig Tunnel
 - Die Linie 165 von Lausanne-Triage Est bis Bussigny-Scheu.
 - Die Linie 333 von Frutigen bis Adelrein (West)
 - Die Linie 503 von Olten Nord nach Olten
 - Die Linie 580 von Camorino (dira) bis Vezia (bif)
 - Die Linie 581 von Camorino Sud bis Vezia (bif)
 - Die Linienabschnitt 840 Winterthur Ost Frauenfeld Weinfelden
 - Die Linie 593 (Neubaustrecke am Ceneri mit Ceneri-Basistunnel) wurde bereits früher aufgenommen. Neu wird auch die unmittelbar westlich gelegene, parallele Linie 592 im Screeningnetz erfasst (vgl. Abbildung 2, lilafarben).
- Kleinere Netzanpassungen betreffen die unterstellten Linien 152 in Genf-La Praille (Lancy), 168 bei Lausanne-Triage, 518 zwischen Basel Badischem Bahnhof in Richtung

Weil am Rhein bis zur Schweizer Grenze sowie 503 bei Olten (vgl. Abbildung 2). Es handelt sich dabei um Angleichungen an das Liniennetz, das in BASE verwendet wird.

- Die folgenden Linien wurden aus dem Anhang 1.2a StFV gestrichen und daher aus dem Screeningnetz entfernt:
 - Linie 600 über die Gotthard-Bergstrecke zwischen Rynächt (nördlich von Erstfeld) und Pozzo Nero (zwischen Bodio und Pollegio), wo die Strecke über den Gotthard-Basistunnel in die Stammlinie einmündet;
 - Linie 600 über die Ceneri-Bergstrecke zwischen Camorino und Vezia;
 - Linie 523 zwischen Basel Badischem Bahnhof und dem Hafen Kleinhüningen.

Das aktualisierte Netz setzt sich neu aus 16'442 Datenpunkten zusammen (vgl. Abbildung 1), die in der grossen Mehrzahl der Fälle eine Länge von je 100 m aufweisen und aus historischen Gründen auch als «Subelemente» bezeichnet werden.

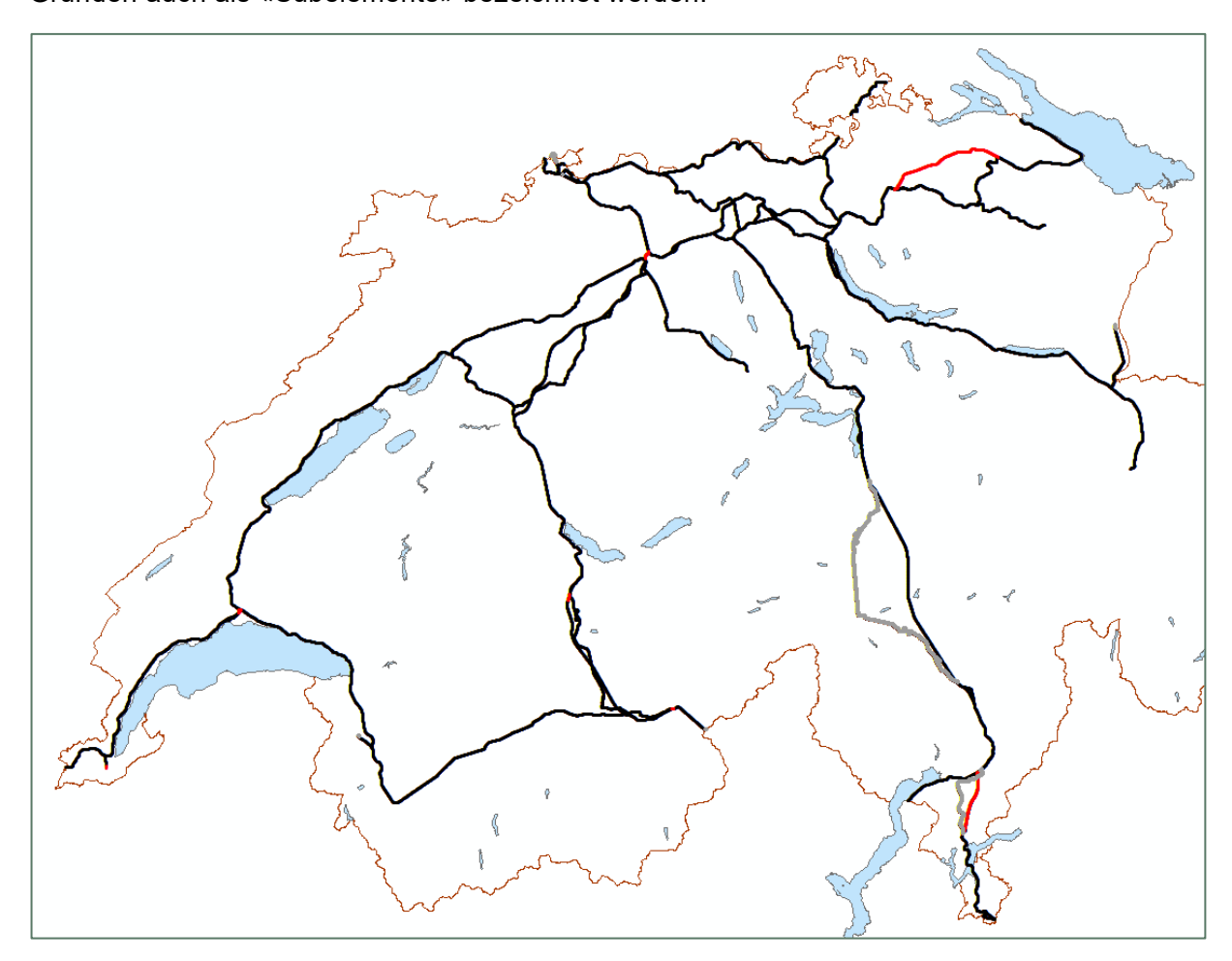


Abbildung 1: Aktuelles Screening-Netz (gegenüber dem Stand aus dem Jahr 2018 (schwarz markiert) kommen die rot markierten Streckenabschnitte neu dazu und die grau markierten fallen weg).

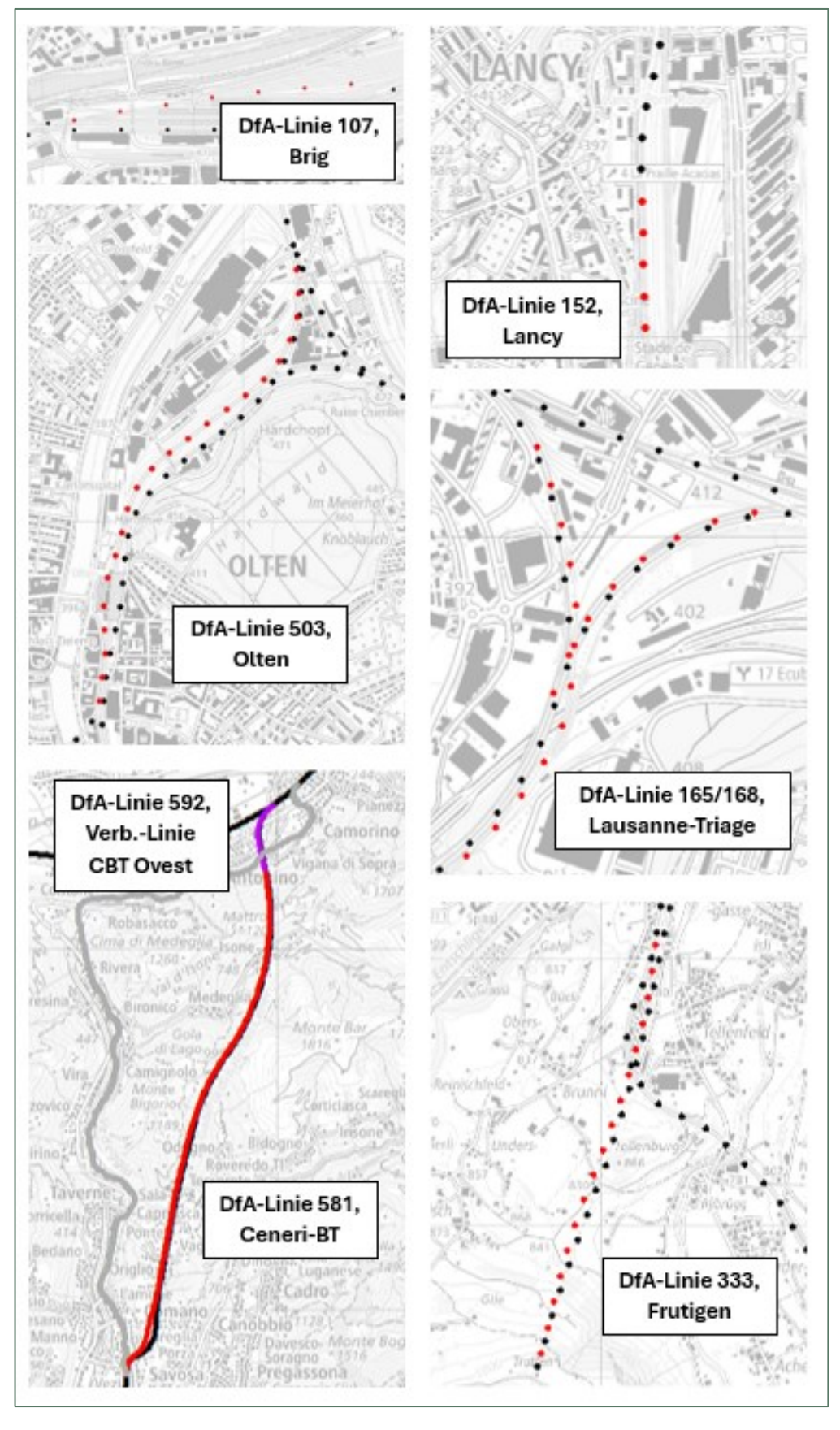


Abbildung 2: Lokale Anpassungen am Screeningnetz, die in Abbildung 1 nur schlecht erkennbar sind. Die roten Punkte bezeichnen Subelemente, die neu hinzugefügt wurden.

3. Übersicht Parameteraktualisierung und methodische Anpassungen

Die umfangreichen Daten, die jedem Subelement zugeordnet sind, bedürfen einer periodischen Aktualisierung. In der nachfolgenden Tabelle 1 sind alle Attribute (bzw. Gruppen von ähnlichen Attributen) aufgeführt, die für die Ermittlung der Störfallhäufigkeit sowie das Schadenausmass für Personen, Oberflächengewässer und genutzte Grundwasserträger erforderlich sind. Zudem ist angegeben,

- welche Attribute netzweit aktualisiert werden bzw. wo dies nur für die neu ins Screeningnetz aufgenommenen Linien gilt,
- welche Attribute dabei aus dem neuen Tool «BASE» übernommen werden.

Das Vorgehen zur Aktualisierung dieser Attribute ist in Kapitel 4 dokumentiert.

Attribut / Attributgruppe	Aktualisierung	Übernahme aus BASE
Lokalisierung und Bezeichnungen (Koordinaten, DfA- Linie und -kilometrierung, Ortsname, Kanton, Seg- mentbezeichnung für Personenrisiken) ¹	neue Strecken	teilweise ²
Länge Subelement	neue Strecken	nein
Streckentyp (Unterscheidung Tunnel, offene Strecke und Bahnhofbereich)	gesamtes Netz (nur Tunnel)	teilweise ³
Lage von Weichen, ausgedrückt als Weichendichte	neue Strecken	teilweise ⁴
Zulässige Geschwindigkeit für Güterzüge	gesamtes Netz	ja
Abdeckung mit Heissläufer- und Festbremsortungs- anlagen (HFO)	neue Strecken	nein
Gefahrgutmengen (total und pro Leitstoff), Anteil UN 1017 am Leitstoff Chlor	gesamtes Netz	ja
Exposition von Anwohnern und Personen an ihren Arbeitsplätzen	gesamtes Netz	ja
Exposition von Reisenden auf Perrons	gesamtes Netz	ja
Anzahl Reisezüge und deren mittlere Besetzung	gesamtes Netz	ja
Unterscheidung Ein- versus Mehrspurstrecken	gesamtes Netz	ja
Zugänglichkeit (aus Sicht Selbst- und Fremdrettung)	neue Strecken	nein
Mögliche Freisetzungsorte (links / Mitte / rechts relativ zum Gleis, abhängig z.B. von Stützmauern)	neue Strecken	nein
Art der Entwässerung	neue Strecken	nein

- 1 Clusterbezeichnungen werden weder für das alte Screeningnetz aktualisiert noch für die neuen Linien vergeben.
- 2 Ortsname und Segmentbezeichnung werden nur für neue Linien aktualisiert und stammen nicht aus BASE. Alle anderen Attribute wurden aus BASE übernommen.
- 3 Der Gliederung zwischen Tunnel und restlichen Streckenabschnitten wird netzweit aus BASE übernommen. Die Unterscheidung zwischen Bahnhof und offener Strecke wird nur für die neuen Linien vorgenommen; sie fehlt in BASE und hat rein informativen Charakter, also keinen Einfluss auf die Berechnung der Risiken in TgG.
- 4 Die Basisdaten (Gleis- und Weichenlage) sind die gleichen wie in BASE, nicht jedoch die Datenaufbereitung (in BASE werden statt einer Weichendichte drei andere Attribute verwendet, die von der Weichenlage abhängen).

Attribut / Attributgruppe	Aktualisierung	Übernahme aus BASE
Fördermenge relevanter Grundwasserfassung	neue Strecken	nein
Flurabstand Grundwasserträger und dessen Fliessrichtung	neue Strecken	nein
Rückhalt Gefahrgut in ungesättigter Zone	neue Strecken	nein
Lage und Charakteristik naher Oberflächengewässer (OFG)	neue Strecken	nein
Oberflächliche Eintragsmengen in OFG	neue Strecken	nein

Tabelle 1: Attribute bzw. Attributgruppen aus TgG, Ort bzw. Umfang der Aktualisierung und Angabe, ob die Werte aus dem BASE auf das TgG-Netz übertragen werden.

Analog zum Personenscreening 2018 [2] wird die Rate für relevante Freisetzungen von Gefahrgut aktualisiert. Dazu werden Daten zu Störfällen und Bahnunfällen aus den Jahren 2019 – 2023 mitberücksichtigt mit dem Ziel, die bisherige Trendanalyse fortzuschreiben und daraus die aktuellen Werte für die Freisetzungsraten pro Leitstoff und pro gefahrenem Kesselwagenkilometer zu ermittelt, vgl. Kapitel 5. In diesem Zusammenhang wurden auch einige methodische Anpassungen, die in den letzten Jahren erarbeitet wurden, vorgenommen (s. Kap. 5).

Schliesslich wurde die Berechnung des Störfallwerts für den Schadenindikator «verschmutzte unterirdische Gewässer» an die aktuell gültigen Beurteilungskriterien angepasst (vgl. Kapitel 5.6).

4. Aktualisierung ortsspezifischer Parameter

4.1 Allgemeines zur Übertragung von Daten aus BASE

Die Aktualisierung der Daten in TgG folgte der Philosophie, möglichst einen ähnlichen Datenstand wie in BASE zu erreichen. Dies betrifft sowohl Daten, die in BASE pro Linie vorliegen (Bahninfrastrukturdaten) als auch Daten, die in Form von Rastern vorliegen (Bevölkerungsdaten). Im Unterschied zu TgG sind in BASE lediglich Daten für die Ermittlung der Personenrisiken hinterlegt, da nur letztere mit BASE ermittelt werden können. Die Aktualisierung der Daten für die Umweltrisiken folgte damit der Methodik aus den früheren Aktualisierungen.

Bei Attributen, die in BASE pro Linie vorliegen, gibt es folgende wesentlichen Unterschiede in Bezug auf die Datenhaltung:

- Die r\u00e4umliche Aufl\u00f6sung des Gefahrgutnetzes betr\u00e4gt in BASE 10 m (Abstand zwischen Gleis- und Linien-Ereignispunkten auf dem jeweiligen Gleis / der jeweiligen Linie), in TgG jedoch 100 m (Abstand zwischen Datenpunkten, d.h. den Punkten zur Charakterisierung eines Subelements).
- Parallel verlaufende Linien werden in TgG in den meisten Fällen nicht unterschieden, d.h. ein TgG-Subelement repräsentiert teilweise mehrere parallele Linien. In BASE ist dies nicht der Fall, d.h. parallele Linien werden durch parallele Ketten von Linien-Ereignispunkten (Linien-EP) berücksichtigt.

Für die Übertragung von Attributen von BASE auf TgG gilt Folgendes (vgl. auch Abbildung 3 weiter unten):

- Pro TgG-Datenpunkt wird der BASE-Linien-Ereignispunkt zugeordnet, der am nächsten liegt. Repräsentiert ein TgG-Datenpunkt nur eine Linie, so gehört zu einem Linien-EP genau ein TgG-Datenpunkt. Die Übertragung von Attributen erfolgt dann 1:1. Bei zwei oder mehr parallelen Linien mit nur einem TgG-Datenpunkt werden letzterem zwei oder mehr BASE-Linien-EP zugeordnet (vgl. Beispiel oben rechts in Abbildung 3). Die Übertragung von Werten aus BASE nach TgG erfolgt in diesem Fall wie folgt:
 - Summierbare Attribute (Gefahrgutmengen, Anzahl Reisezüge) werden über die Linien-EP summiert, bevor der resultierende Werte auf den TgG-Datenpunkt übertragen wird.
 - Bei Attributen, die nicht summiert werden sollen (zulässige Geschwindigkeit für Güterzüge, Belegung Reisezüge) wird der Höchstwert über alle Gleis-EP auf den TgG-Datenpunkt übertragen. Diesem wird zudem das Merkmal «Mehrspurstrecke» zugeordnet.
- Die Gruppierung von UN-Nummern nach Leitstoffen wird in BASE anders vorgenommen als in TgG. Indem entsprechende Daten von BASE nach TgG übertragen werden, «vererben» sich diese Unterschiede auch auf TgG und die dortigen Ergebnisse (siehe Kap. 4.2.4).

Der Zusammenhang zwischen Linien-EP in BASE und TgG-Datenpunkten sowie die Zuordnung von Attributen zwischen den beiden ist in der folgenden Abbildung 3 dargestellt.

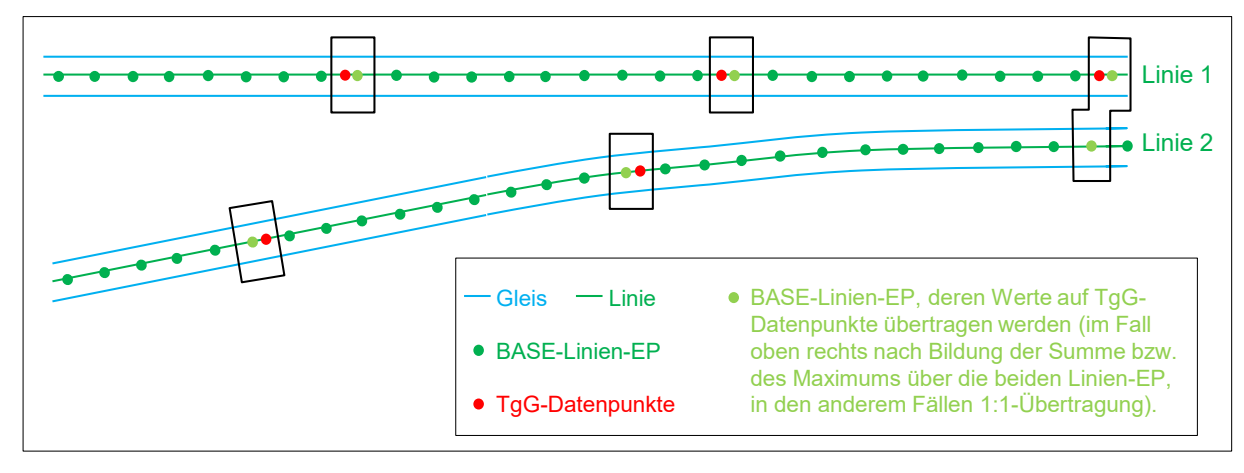


Abbildung 3: Schematische Darstellung von Linien-Ereignispunkten (EP) in BASE und TgG-Datenpunkten. Die schwarzen Polygone stellen dar, von welchen Linien-EP aus Werte auf TgG-Datenpunkte übertragen werden. Ganz links ein Beispiel, bei dem Werte (z.B. die summierte Gefahrgutmengen) von 2 Linien-EP einem einzigen TgG-Datenpunkt zugeordnet werden, da dieser dort beide Linien repräsentiert.

Im folgenden Kapitel 4.2 wird beschrieben, wie die Attribute für die Ermittlung der Personenrisiken (Häufigkeit und Schadenausmass) aktualisiert werden. In Kapitel 4.3 ist gleiches für das Schadenausmass in Bezug auf die Umweltrisiken dokumentiert.

Auf folgende Attribute sowie Datensätze wird in den beiden folgenden Kapiteln nicht eingegangen:

- Für neue Strecken wurden die TgG-Datenpunkte entlang eines aktuellen Linien-Datensatzes der SBB gesetzt, welcher alle Normalspurstrecken von schweizerischen Infrastrukturbetreiberinnen (ISB) enthält. Die zugehörige Kilometrierung wurde ebenfalls mit einem aktuellen SBB-Datensatz ermittelt.
- Tunnelstrecken sind in den Daten zu den störfallrelevanten Linien, die für BASE zur Verfügung standen, exakt abgebildet; diese Information wird deshalb netzweit nach TgG übertragen. Die Unterscheidung nach offenen Strecken bzw. Bahnhofbereichen in TgG hat weder Einfluss auf die Risikoberechnung noch deren Darstellung und wird deshalb nur für neue Linien vorgenommen.
- Die Länge der neuen Subelemente wird mittels GIS bestimmt (bei Knoten, Linienenden und an Landesgrenzen, wo diese nicht a priori 100 m beträgt).
- Die Segmenteinteilung wurde für neue Strecken vom BAV definiert.
- Identifikationsmerkmale wie Name und Kanton wurden händisch vergeben bzw. basierend auf den Kantonsgrenzen ermittelt.

4.2 Einflussgrössen auf die Personenrisiken

4.2.1 Weichendichte

Die Weichenstandorte wurden durch eine GIS-Analyse aus dem GTG-Gleisdatensatz der SBB (Stand 30.08.2022) bzw. - für DICH/BEV-Strecken - aus dem TLM-Datensatz von swisstopo als Punktedatensatz erzeugt. Dabei wurden Weichen berücksichtigt, die zwei Hauptgleise⁵ oder je ein Haupt- und Nebengleis verbinden. Weichen zwischen zwei Nebengleisen werden nicht berücksichtigt.

Die Weichendichte wurde ausschliesslich für die neuen Subelemente (vgl. Kapitel 2) ermittelt, da davon ausgegangen werden kann, dass in den letzten fünf Jahren nur wenige Weichenstandorte geändert haben. Das Vorgehen zur Ermittlung der Weichendichte ist dasselbe wie im Screening 2018 (vgl. Abbildung 4):

- Pro Subelement wird in beide möglichen Richtungen ein Liniensegment von je 150 m Länge erstellt (d.h. Gesamtlänge 300 m). Über eine Weiche hinaus wird der Strang ausgewählt, der stärker befahren wird (grössere Zahl an Güterzügen mit Gefahrgut).
- Das Liniensegmente wird beidseits mit 5 m gebuffert (Resultat: Polygon in Form eines 10 m breiten Streifens entlang des jeweiligen Gleises) und die Anzahl Weichen innerhalb des Polygons ermittelt.
- Die Zahl der Weichen wird den gleichen Klassen wie im Screening 2018 zugeordnet: 0, 1–2 und >2.

⁵ Als Hauptgleise gelten alle Gleise, auf denen zwischen 01.01.2017 und 30.08.2022 mindestens eine Zugfahrt verkehrte.

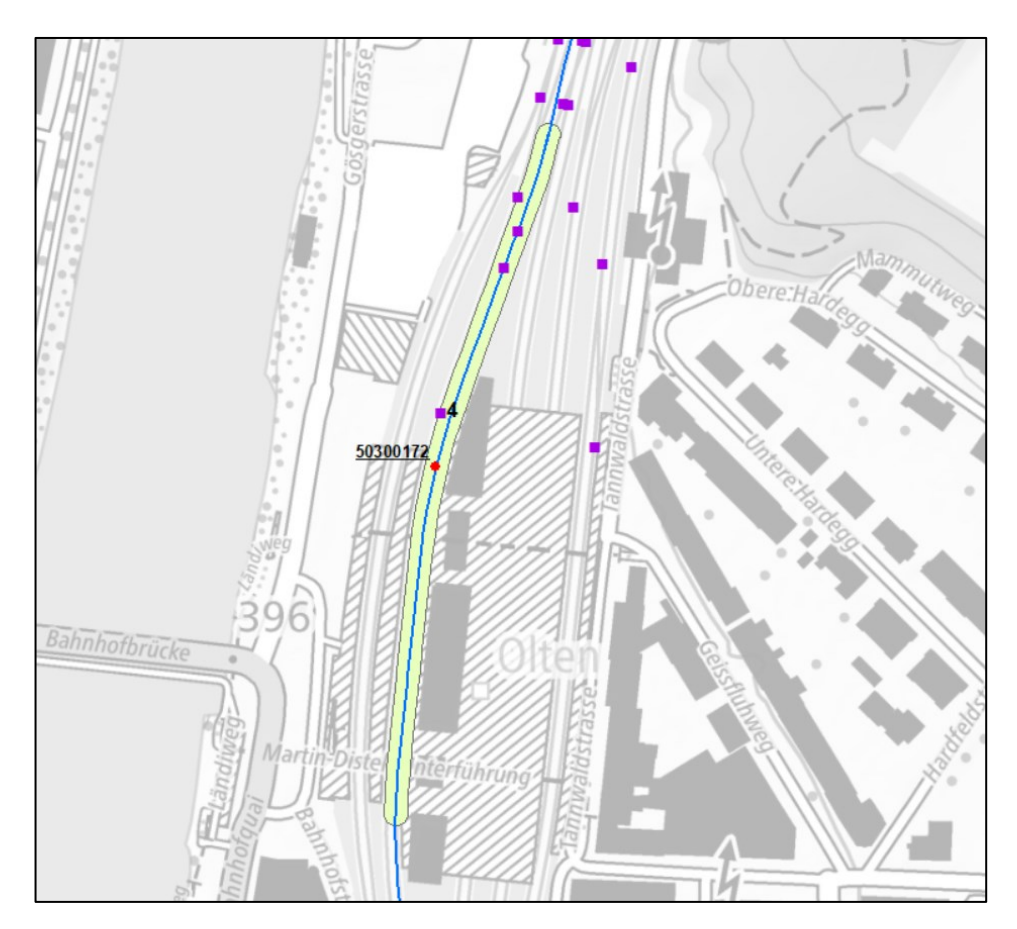


Abbildung 4: Beispiel für Ermittlung Weichendichte für Subelement mit ID 50300172 beim Bahnhof Olten. Das massgebliche Polygon von 2*5 m Breite und 2*150 m Länge ist grün dargestellt, die Weichenstandorte violett. Im Beispiel liegen 4 Weichen im Polygon, so dass dem Subelement die Weichendichte «>2» zugeordnet wird.

4.2.2 Zulässige Geschwindigkeit für Güterzüge

Für BASE wurden die örtlich zulässigen Höchstgeschwindigkeiten für Güterzügen von der SBB über den «eRADN-Service» im XML-Format zur Verfügung gestellt (eRADN-Service – Streckentabellen | SBB). In einem aufwändigen Verfahren wurden die Fahrdaten in eine leserliche Tabellenform transformiert:

- Einträge auf Zugreihe «A» mit Bremsverhältnis «95 %» filtern.
- Mittels Python-Skript die Kurvengeschwindigkeiten, die Streckengeschwindigkeiten und die Bahnhofsgeschwindigkeiten aus XML extrahieren:
 - Kurvengeschwindigkeiten: Zug-Fahrgeschwindigkeiten in der Kurve,
 - Streckengeschwindigkeiten: Zug-Fahrgeschwindigkeiten von Betriebspunkt zu Betriebspunkt (BP),
 - Bahnhofsgeschwindigkeiten: Zug-Fahrgeschwindigkeiten zwischen der ersten und letzten Weiche innerhalb eines Bahnhofs.
 - Streckenlinien auf DfA-Linie mappen.
 - Als Ergebnis lag dann pro Fahrtrichtung die Streckengeschwindigkeit zwischen definierten Kilometrierungswerten innerhalt der gleichen DfA-Linie vor (vgl. Beispiel in Tabelle 2). Tabelle 2: Auszug der Daten für DfA-Linie 310 mit Fahrgeschwindigkeiten (für aufsteigende Kilometrierung).

Diese Zwischenergebnisse wurden dann wir folgt aufbereitet:

DfA 17	kmVon	w	kmBis 💌	bpAbkuerzung 💌	geschwindigkeit_type 💌	geschwindigkeit 💌
310	0.	07	2.56	GW	streckenGeschwindigkeit	85
310	2.	56	3.19	GW	bahnhofGeschwindigkeit	85
310	3.	19	5.4		streckenGeschwindigkeit	90
310) 5	5.4	9.42		streckenGeschwindigkeit	90
310	9.	42	9.97	SP	bahnhofGeschwindigkeit	90
310	9.	97	10.33		streckenGeschwindigkeit	95

Tabelle 2: Auszug der Daten für DfA-Linie 310 mit Fahrgeschwindigkeiten (für aufsteigende Kilometrierung).

Diese Zwischenergebnisse wurden dann wir folgt aufbereitet:

- Maximalwert über beide Fahrtrichtungen ermitteln und mit Faktor 0.8 multiplizieren. Durch diese Skalierung wird grob berücksichtigt, dass Gefahrgutzüge in der Regel nicht mit der örtlich zulässigen Höchstgeschwindigkeit unterwegs sind.
- Zuordnung zu den folgenden Geschwindigkeitsklassen in TgG (Vielfache von 10 km/h): 20 km/h, 30 km/h, ..., 100 km/h. An den Klassengrenzen wird jeweils aufgerundet (z.B. 65 km/h → 70 km/h).⁶

Werden im Sinne der Abbildung 3 mehreren Linien-Ereignispunkten in BASE mit unterschiedlichen Geschwindigkeiten ein Datenpunkt in TgG zugeordnet, so wird die höhere Geschwindigkeitsklasse nach TgG übertragen.

Die für das Screening verwendete Höchstgeschwindigkeit ist in Abbildung 5 visualisiert. Diese Werte gelten nicht für Chlor (UN 1017), da dieser Stoff ausschliesslich in Sonderzügen mit einer Höchstgeschwindigkeit von 40 km/h transportiert wird. Entsprechend basiert die von der Geschwindigkeit abhängige Freisetzungshäufigkeit beim Leitstoff Chlor aus zwei additiven Beiträgen: Für den Anteil der Kesselwagen mit Chlor (UN 1017) wird von einer Geschwindigkeit von max. 40 km/h ausgegangen; für den restlichen Anteil (also Kesselwagen mit toxischen Gasen ausser Chlor) wird die vorgegebene maximale Geschwindigkeit gemäss Abbildung 5 verwendet. Diese beiden Anteile werden dann addiert.

⁶ In BASE wird eine andere Klasseneinteilung verwendet, auf die hier nicht eingegangen wird. Die Übertragung von BASE auf TgG basiert auf Werten, die entsprechend der Klassenbildung in TgG festgelegt werden.

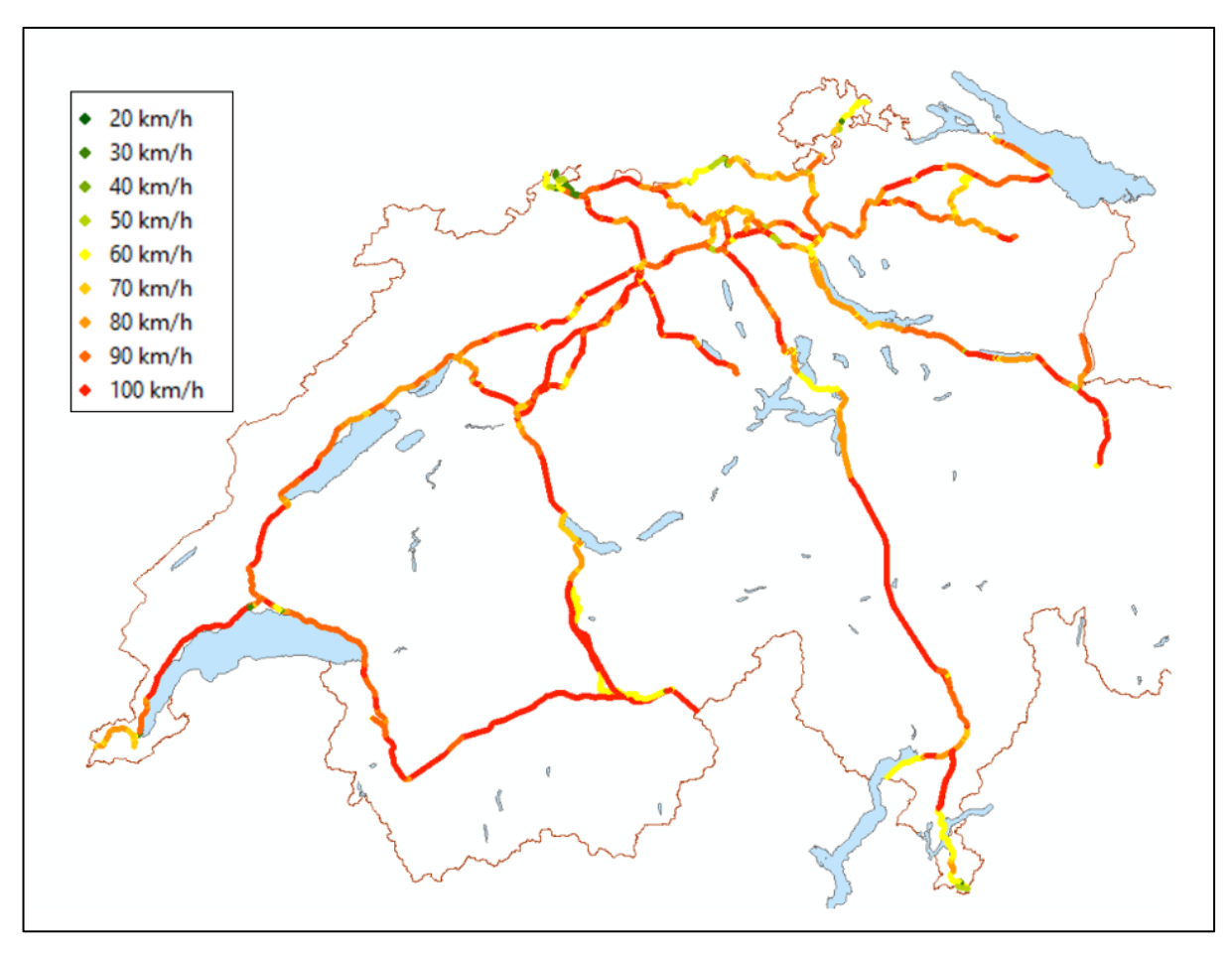


Abbildung 5: Höchstgeschwindigkeit von Güterzügen (Maximum über beide Fahrtrichtungen), welche im Screening verwendet wird.

4.2.3 Abdeckung mit Heissläufer- und Festbremsortungsanlagen

Per 1.1.2023 waren auf dem Netz der SBB bzw. der BLS an insgesamt 55 Standorten Heissläufer- und Festbremsortungsanlagen (HFO) installiert (vgl. Abbildung 6).⁷ An allen Standorten werden sämtliche Hauptgleise und damit auch alle Fahrtrichtungen abgedeckt. Die Strecken der DICH/BEV weisen keine solchen Anlagen auf.

Um die Abstände zur jeweils nächsten HFO pro Fahrtrichtung für die neuen Linien zu ermitteln, wurde wie folgt vorgegangen:

- Für die neuen Strecken Winterthur Ost Frauenfeld Weinfelden und Grenze bei Weil am Rhein Basel Badischer Bahnhof Grenze bei Grenzach sind für eine Fahrtrichtung die Abstände zu den in Abbildung 6 rot umkreisten HFO-Standorten massgeblich. Die jeweils andere Fahrtrichtung (Fahrten aus dem Raum Bodensee bzw. aus Deutschland) wird der Klasse mit der schlechtesten HFO-Abdeckung zugeordnet.
- Für alle anderen neuen Streckenabschnitte gemäss Abbildung 1 wird der Wert vom jeweils nächstliegenden TgG-Datenpunkt übernommen (dieser liegt meist in unmittelbarer Nähe auf einer parallelen Linie).

⁷ Quelle: Excel-Liste von SBB-Infrastruktur (I-SQU-UEW-ZKE), erhalten am 23.04.2024.

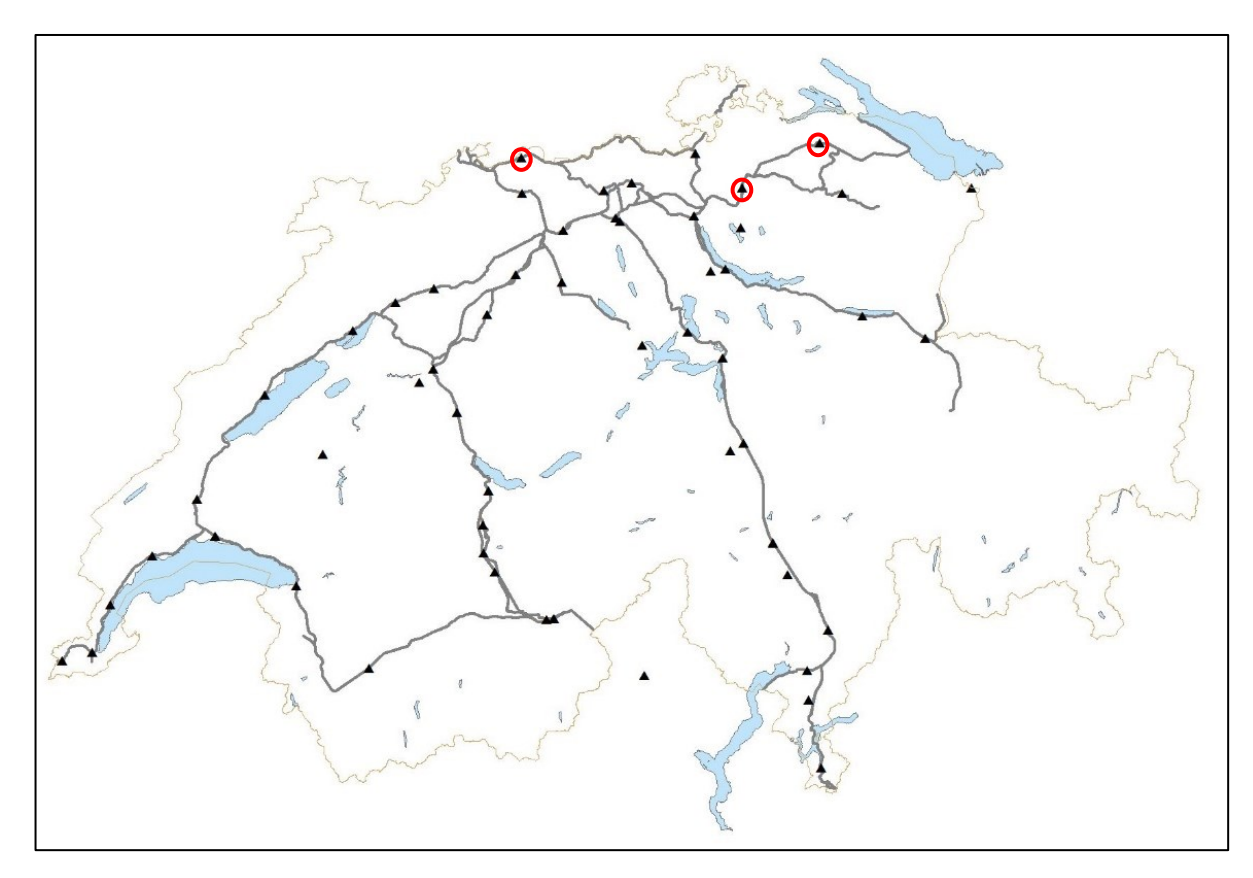


Abbildung 6: Standorte der total 55 HFO auf dem Netz der SBB bzw. der BLS (schwarze Dreiecke) und Stecken des Screeningnetzes (grau).

4.2.4 Gefahrgutmengen

Im Zusammenhang mit der Übernahme der Gefahrgutmengen für die drei Leitstoffe Benzin, Propan und Chlor von BASE auf TgG sind folgende Unterschiede im Vergleich zu den im Screening 2018 verwendeten Gefahrgutmengen wichtig:

- Beim Leitstoff Benzin wird auf eine Gewichtung der Gefahrgutmenge in Abhängigkeit des Stoffs (UN-Nr.) bzw. dessen Eigenschaften (Flammpunkt beim Leitstoff Benzin) verzichtet.⁸ Der zahlenmässig bedeutendste Unterschied betrifft Mineralölprodukte mit einem Flammpunkt zwischen 23 und 61 °C (z.B. Heizöl / Diesel, UN 1202, sowie Kerosin, UN 1223); diese werden beim Leitstoff Benzin nicht mehr berücksichtigt (statt wie bisher Berücksichtigung mit einem Gewichtungsfaktor von 0.3).
- Beim LS Chlor wird ein Gewichtungsfaktor von 0.1 für die Gefahrgutmenge aller Stoffe ausser Cl₂ (UN1017) verwendet. Andere stark toxische Gase, die bisher einen Gewichtungsfaktor von 1.0 hatten, werden im Vergleich zu Cl₂ in wesentlich geringeren Mengen transportiert, so dass sie mengenmässig nicht ins Gewicht fallen.
- Die UN-Nummern, welche den obigen drei Leitstoffen zugeordnet werden, haben im Rahmen des Projekts BASE einige Änderungen erfahren. Diese sind in Anhang A1 dokumentiert. Neu werden dem Leitstoff Chlor nur noch Stoffe zugeordnet, die bei Standardbedingungen (Temperatur 0°, Druck 1 bar) gasförmig sind. Humantoxische Flüssigkeiten, die

⁸ Bei Leitstoff Propan wurde in TgG nie eine Gewichtung verwendet.

- nicht brennbar sind, werden in TgG nicht mehr bei einem Leitstoff berücksichtigt (in BASE gibt es jedoch zwei Stoffkategorien für humantoxische Flüssigkeiten).
- Die ausgewiesenen Gefahrgutmenge basieren auf dem Mittelwert über die Kalenderjahre 2018 – 2022 (Einheit ist unverändert Nettotonnen/Jahr) und stammen nicht mehr aus dem letzten verfügbaren Kalenderjahr. Jährliche Unterschiede werden somit über die letzten fünf Jahre ausgemittelt.
- Für die Ermittlung der Gefahrgutmengen pro Leitstoff werden nur Wagen berücksichtigt, in welchen mindestens 10 t des jeweiligen Stoffs transportiert werden («volle Wagen»). Dies gilt nicht für die gesamte Gefahrgutmenge; bei dieser werden somit auch «nicht volle Wagen» berücksichtigt (dieses Attribut dient nur der Information und hat keinen Einfluss auf die Risikoabschätzungen).
- Ebenfalls geändert hat die Datenquelle: Da ANABEL 2.0 als bisherige Datenquelle keine gleisscharfe Zuordnung der Fahrwege von Gefahrgutzügen erlaubt, wurden in BASE neu folgende Datenquellen der SBB verwendet, welche alle Transporte auf allen Normalspurstecken der Schweizer ISB (d.h. SBB (inkl. Töchter), BLS, SOB und Hafenbahnen in Raum Basel) umfassen:9
 - Tabelle aller Güterzüge in einer definierten Formation, die zwischen dem 01.01.2018 und dem 31.12.2022 verkehrt sind und in mindestens einem Wagen Gefahrgüter (d.h. einen Stoff mit einer, einem Leitstoff zugeordneten UN-Nummer) befördert hat. Für jeden Zug ist pro Wagen angegeben, welcher Stoff (charakterisiert durch die UN-Nr.) in welchen Nettomengen (d.h. ohne Gewicht von Wagen und Behältnis) transportiert wurde. Güterzüge, bei denen unterwegs die Wagenreihung geändert wird, sind mehrfach mit unterschiedlicher Formations-ID erfasst. Ein Zug ist eindeutig charakterisiert durch den Betriebstag (Datum bei Abfahrt) und die Formations-ID.
 - Tabelle, in der pro Güterzug gemäss obiger Tabelle der gleisscharfe Fahrweg abgebildet ist. Dies erfolgt durch eine Abfolge von IDs, welche die Gleisstränge beschreiben, die zum Zeitpunkt der Fahrt Gültigkeit hatten und in der angegebenen Reihenfolge zwischen Ausganspunkt der Fahrt und Zielort abgefahren wurden. Die Gleisstränge stellen in der Regel (aber nicht immer) die Verbindung zwischen zwei benachbarten Weichen dar.¹⁰

Die Aufbereitung der Gefahrgutmengen in BASE wird im Rahmen von BASE dokumentiert; hier wird nicht darauf eingegangen. Werden im Sinne der Abbildung 3 mehreren Linien-Ereignispunkten in BASE mit unterschiedlichen Gefahrgutmengen einem Datenpunkt in TgG zugeordnet, so werden die Summenwerte (total und pro Leitstoff) sowie der mittlere Anteil von UN-Nr. 1017 am Leitstoff Chlor nach TgG übertragen.

Ein Spezialfall stellt die DB-Strecke zwischen der Grenze südlich von Weil am Rhein über den Badischen Bahnhof bis zur Grenze Richtung Grenzach dar (Strecke 4000). Für diesen kurzen Streckenabschnitt standen lediglich die Gefahrgutmengen der DB aus dem Jahr 2023 zur Verfügung, sodass eine Mittelung über mehrere Jahre nicht möglich war. Gemäss den Daten der

⁹ Die Daten enthalten z.B. auch Transporte von DB Cargo. Nicht erfasst sind lediglich Transporte auf Strecken der Deutschen Infrastruktur auf Schweizer Hoheitsgebiet bzw. des Bundeseisenbahnvermögens (abgekürzt DICH/BEV).

¹⁰ Gleisstränge, die am 01.08.2022 mit der angegebenen ID Teil des sog. GTG-Gleisdatensatzes war, der in BASE verwendet wurde, liegen als Linien in einem GIS-Datensatz vor. Die Lage ältere Gleisstränge liegt lediglich als Kette von Punkten mit einem Abstand von 10 m vor. Die Zuordnung dieser Punktekette auf das Netz per 01.08.2022 enthält infolge der beschränkten räumlichen Auflösung Unschärfen, welche die korrekte Zuordnung erschweren.

DB wurden im Jahr 2023 über diese Strecke 57'419 t Gefahrgut transportiert. Angaben zu den befahrenen Gleisen liegen nicht vor.

Angesichts fehlender gleisscharfer Daten wurden folgende Annahmen getroffen (die farbigen Bezeichnungen beziehen sich auf Abbildung 7:

- Von Weil am Rhein via Basel Badischer Bahnhof nach Grenzach verkehren total ca. 29'000 t Gefahrgut im Rechtsverkehr (WEIL). In umgekehrter Richtung verkehren total ca. 28'400 t Gefahrgut, ebenfalls im Rechtsverkehr (GRENZ).
- Zwischen dem Hafen Kleinhünigen und dem Badischen Bahnhof verkehren total ca. 30'000 t Gefahrgut (A) (aufgrund der geringen Mengen wurde der Streckenabschnitt ab der Verzweigung nach Weil am Rhein aus dem Screeningnetz entfernt).
- Von der Basler Wettsteinbrücke bis zum Basel Badischer Bahnhof verkehren total ca. 7'445'000 t Gefahrgut (B).
- Die Gefahrgutmengen aus B verkehren weiter bis nach Weil am Rhein im Rechtsverkehr.
 Beim Aufeinandertreffen der Abschnitte A und B wird die Differenz gebildet total ca.
 7'415'000 t Gefahrgut (DIFF).
- Für den weiteren Streckenabschnitt von **DIFF** nach Weil am Rhein werden die Gefahrgutmengen aus den Streckenabschnitten GRENZ und WEIL dazu addiert. Es verkehren dort also total ca. 7'472'400 t Gefahrgut (C).

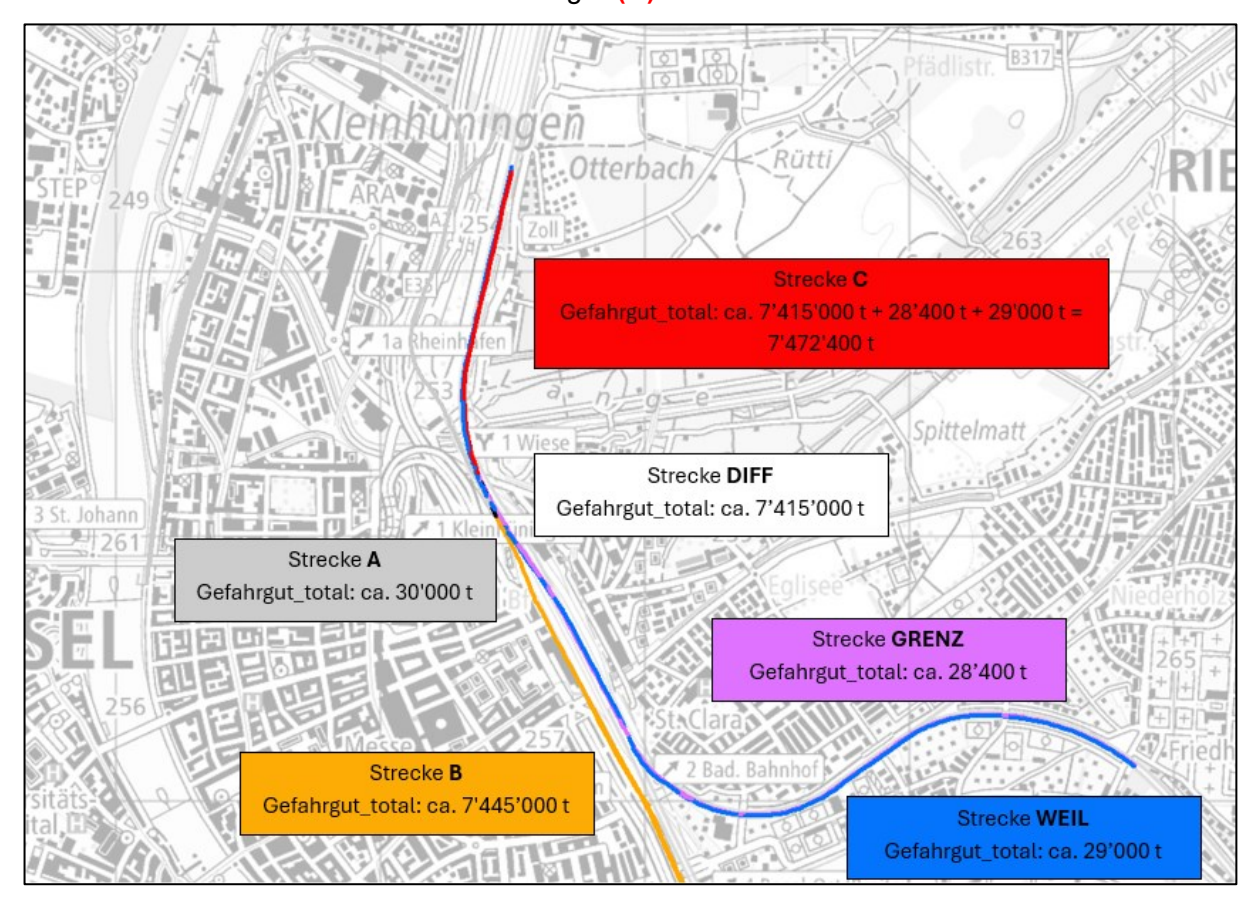


Abbildung 7: Aufteilung der Gefahrgutmengen auf die einzelnen Streckenabschnitte im Raum Basel Badischer Bahnhof.

Für die folgenden Streckenabschnitte an den Landesgrenzen wurden die Gefahrgutmengen auf benachbarte Datenpunkte extrapoliert (analog BASE): Basel St. Louis, Thayngen und Kreuzlingen (siehe Abbildung 8).

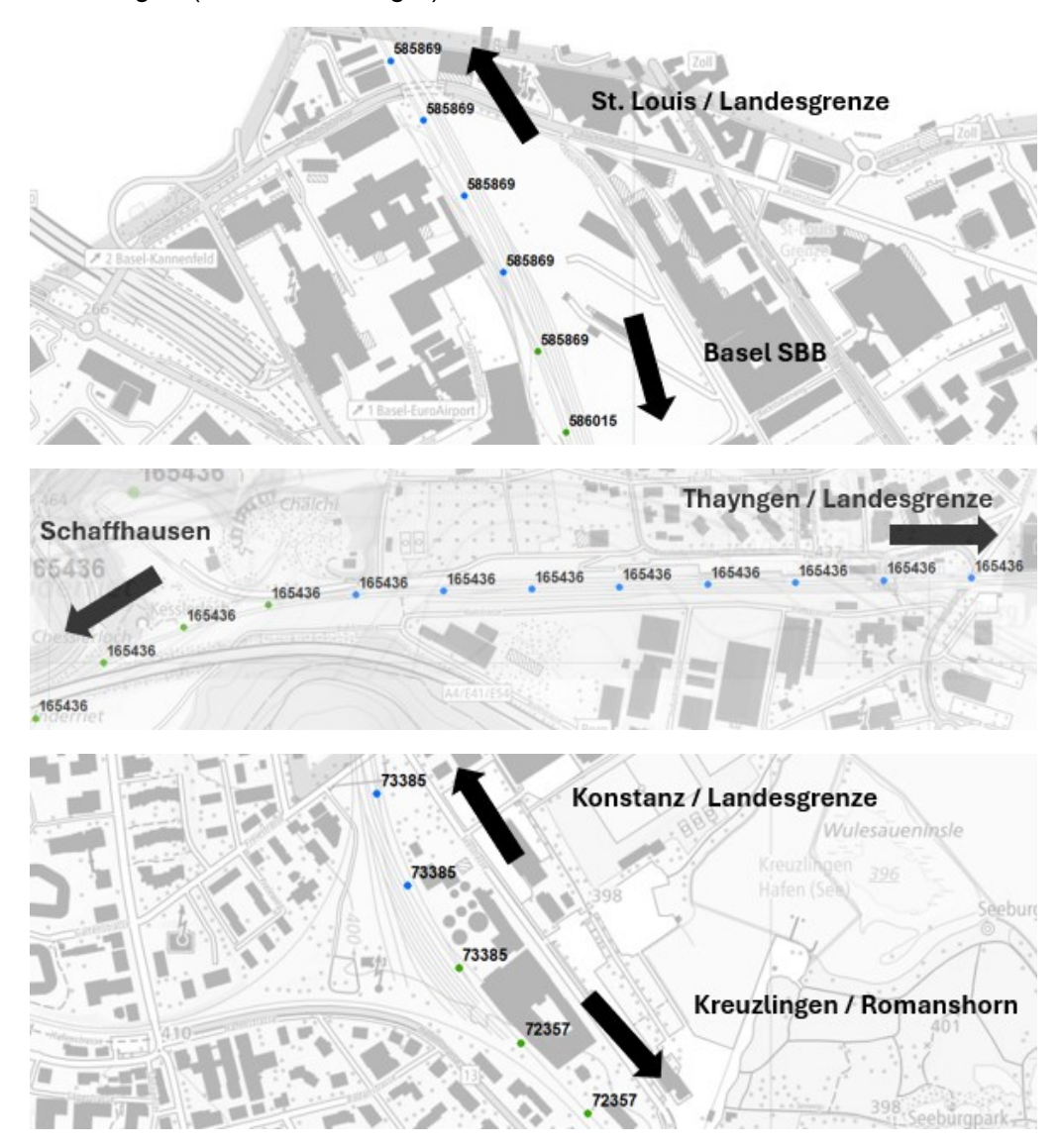


Abbildung 8: Beobachtete wahre Gefahrgutmengen = grün; extrapolierte Gefahrgutmengen = blau Gefahrgutmengen in Tonnen (gerundet)

Im Gegensatz zu BASE fliessen in TgG die Gefahrgutmengen pro Leitstoff in die Risikoberechnung ein. 11 Deshalb wurden die Gefahrgutmengen in TgG auf Plausibilität geprüft und bei offensichtlichen Fehlern, die eliminiert werden können, korrigiert. Das Vorgehen ist in Anhang A2 beschrieben.

¹¹ In BASE werden die Gefahrgutmengen nur für Informationszwecke angegeben; für die Risikoberechnung wird die Zahl der Güterzüge mit mindestens einem vollen Wagen verwendet.

4.2.5 Exposition von Anwohnern und Personen an Arbeitsplätzen

Die Daten für die Aktualisierung der Exposition von Anwohnern bzw. Personen an Arbeitsplätzen stammen aus BASE und basieren auf gebäudescharf georeferenzierten Daten, die für das «Erdbebenrisikomodell Schweiz (ERM-CH)» unter Leitung des BAFU aufgearbeitet wurden. Angaben zum Vorgehen und einige summarische Ergebnisse finden sich in Kapitel 4 von [5]. Folgenden Datenquellen wurden dabei verwendet:

- eidgenössisches Gebäude- und Wohnungsregister (GWR) des Bundesamts für Statistik.
- amtlicher Vermessungsdatensatz (AV-Datensatz) der Swisstopo.
- Anwohner: STATPOP 2020, d.h. Stand per 31.12.2020
- Arbeitsplätze: STATENT 2020, d.h. Stand gemäss Betriebsbefragung im Jahr 2018.

Im Rahmen des ERM-CH wurden die STATENT- und STATPOP-Daten über den Gebäudegrundriss aus dem AV-Datensatz effektiven Gebäuden im GWR zugeordnet. So wurden 8.47 Mio. Anwohner 1.52 Mio. Wohngebäuden und 4.02 Mio. Vollzeit-Äquivalente 389'136 Betriebsstätten zugeordnet (Quelle der Zahlen: Kapitel 4, [5]).

Die Bevölkerungsdaten aus ERM-CH wurden in BASE unter Berücksichtigung des Gebäudegrundrisses quadratischen Rasterzellen mit einer Seitenlänge von 10 m zugeordnet. ¹² Für die Ermittlung der Zahl der Anwohner bzw. Arbeitsplätze in einem definierten Abstandsbereich (z.B. 0 – 50 m) werden letztere dem Mittelpunkt der Rasterzelle zugeordnet (dessen Lage entscheidet also, welchem Abstandsbereich alle Personen einer Rasterzelle zugeordnet werden).

Mittels GIS werden für jedes Subelement die Zahl der Anwohner sowie der Arbeitsplätze (in Vollzeit-Äquivalent) in radialen Abständen von 0-50, 50-250, 250-500 und 500-2'500 m um dessen Mittelpunkt ermittelt. Die Ergebnisse werden durch die zugehörige Fläche dividiert und so eine Personendichte (in Pers./km²) ermittelt.

Zusammenfassend lässt sich Folgendes festhalten: Dank der Vorarbeiten des BAFU im Rahmen des Modells ERM-CH und der Aufbereitung in BASE unter Berücksichtigung der Gebäudegrundrisse stehen nicht nur aktuellere, sondern auch qualitativ bessere Daten zur Exposition von Anwohnern und Arbeitsplätzen in TgG zur Verfügung als im Screening 2018.

4.2.6 Exposition von Reisenden auf Perrons

Folgende Daten pro Bahnhof (solche von SBB, BLS und SOB) sowie Annahmen werden in BASE verwendet, um die Exposition von Reisenden auf Perrons abzubilden:

— Open-source-Datensatz «Ein- und Aussteigende an Bahnhöfen».¹³ Erfasst sind pro Bahnhof bzw. Haltestelle die Anzahl Personen, die im Jahr 2018 in Züge ein- oder ausstiegen oder zwischen solchen umstiegen. Als Mittelwert über alle Wochentage wird der Wert als DTV (durchschnittlicher täglicher Verkehr) bezeichnet.¹⁴

¹² Liegt ein Gebäude über mehreren Rasterzellen, so werden die Personen proportional zur Gebäudegrundfläche pro Rasterzelle verteilt. Liegt also z.B. 10% des Grundrisses eines Gebäudes mit insgesamt 40 Anwohnern in einer Rasterzelle, so werden dieser 4 Anwohner zugeordnet.

¹³ Auszug aus der «Ein-Aussteiger Datenbank», heruntergeladen im September 2022 von folgender Website: https://data.sbb.ch/explore/dataset/passagierfrequenz/. Die Werte werden aus Befragungen von Reisenden in Zügen (Start und Ziel der Reise) und aus manuellen bzw. automatischen Zählungen in Reisezügen abgeleitet.

¹⁴ Seit Frühling 2023 sind über die gleiche Webseite auch Werte für die Jahre 2019 bis 2022 veröffentlicht. Auf einen Einbezug von Daten aus neueren Jahren wurde wegen dem Einfluss von Corona verzichtet.

- Perrons in Form von meist mehreren Polygonen pro Bahnhof aus dem Datensatz «SwissTLM3D, Objektklasse "Verkehrsbaute_PLY", Objektart "Perron"», Stand 2023
- Es wird jeweils angenommen, dass die Reisenden gleichmässig über die Gesamtheit aller Perronflächen eines Bahnhofs verteilt sind.
- Für das Screening wird eine mittlere Zahl von Personen benötigt, die sich tags bzw. nachts im Mittel gleichzeitig auf den Perrons aufhalten. Dazu werden in Absprache mit dem BAV folgende Annahmen getroffen:
 - Reisende halten sich im Mittel 4 Minuten auf einem Perron auf. 15
 - 73.5% der Reisenden sind tagsüber zwischen 0700 und 1900 Uhr unterwegs, 26.5% während den restlichen Nachstunden (Quelle: Angaben BAV im Rahmen von BASE).

Daraus ergibt sich folgende Zahl n_{Reisende-Perron,i} von gleichzeitig anwesenden Reisenden auf Perrons des Bahnhofs i:

```
— tagsüber: n_{Reisende-Perron,i} = DTV*0.735*4/(12*60) = DTV*0.00408
— nachts: n_{Reisende-Perron,i} = DTV*0.265*4/(12*60) = DTV*0.00147
```

Der weitere Rechengang erfolgt in BASE für jeden Bahnhof analog wie bei den Anwohnern bzw. Arbeitsplätzen (vgl. obiges Kapitel). Anstelle der Gebäudegrundrisse werden die gemäss obiger Formel ermittelten Reisendenzahlen gleichmässig auf die Perronflächen verteilt und anschliessend den einzelnen Rasterzellen mit Kantenlänge 10 m zugeordnet. Anschliessend werden die kumulierten Reisendenzahlen pro Abstandsbereich 0 – 50, 50 – 250, 250 – 500 und 500 – 2'500 m) ermittelt und in eine Dichte umgerechnet. Die Ergebnisse werden unter den Attributnamen «Zus_Pers._tags_x_ym» bzw. «Zus_Pers._nachts_x_ym» abgespeichert (Kurzbezeichnung für «zusätzliche Personen» tags bzw. nachts im Abstandsbereit von x bis y m).

Für die drei Bahnhöfe Basel Bad, Herblingen und Thayngen standen aus den obigen Quellen keine Daten zur Zahl der Ein- bzw. Aussteiger zur Verfügung, da diese Bahnhöfe nicht durch einen schweizerischen ISB betrieben werden. Als Schätzwerte werden Zahlen zu haltenden Reisezügen in Bahnhöfen herangezogen, die zu vergleichbar grossen Ortschaften in der gleichen Region gehören. Für Basel Badischer Bahnhof wird Muttenz herangezogen, für Herblingen und Thayngen Diessenhofen. Der DTV wird dann proportional zur Zahl der haltenden RZ umgerechnet. So ergeben sich folgende Schätzwerte für den DTV:

— Basel-Bad: 7'293,— Herblingen: 1'429,— Thayngen: 1'685.

Für alle Bahnhöfe wird angenommen, dass wie bisher 10% der Personen vor Störfallwirkungen so gut geschützt sind, wie wenn sie sich in einem Gebäude aufhalten würden (d.h. für den Parameter «Anteil Zusatzpersonen in Gebäuden» wird für alle Perronbereiche 10% eingesetzt).

¹⁵ Beim Screening 2011 [3] wurden folgende Annahmen getroffen für die mittlere Aufenthaltsdauer in Bahnhöfen: Einsteiger: 5 Min., Aussteiger: 2 Min., Umsteiger: 10 Min. Die 4 Minuten entsprechen einem gewichteten Mittelwert.

4.2.7 Anzahl Reisezüge

Die Daten für die netzweite Aktualisierung der Anzahl Reisezüge stammen aus dem entsprechenden Open-source-Datensatz. ¹⁶ Dieser Datensatz deckt – analog zu den Gefahrgutmengen - die fünf Jahre 2018 bis 2022 ab. Erfasst sind alle Reisezugfahrten auf dem Normalstreckennetz der Infrastrukturbetreiberinnen SBB, BLS, Thurbo und SOB. Die Fahrten sind den Kanten eines topologischen Netz zwischen benachbarten Bahnbetriebspunkten zugeordnet. Der Mittelwert über die fünf Jahreswerte wird durch Division durch 365 in mittlere Tageswerte umgewandelt.

Für folgende Linien standen keine elektronischen Daten aus obiger Quelle zur Verfügung, so dass die Daten zur Zahl der Reisezüge dem Fahrplan auf der Webseite der SBB entnommen wurden (Mittel aus Anzahl Fahrten an Dienstagen und Samstagen):

- Basel Badischer Bahnhof Riehen (DfA-Linie 517),
- Basel Badischer Bahnhof Grenzach (DfA-Linie 763),
- Basel Badischer Bahnhof Weil am Rhein (DfA-Linie 518),
- Schaffhausen-Güterbahnhof Thayngen (DfA-Linie 764).

Auf folgenden Strecken des Screeningnetzes verkehren keine Reisezüge:

- Rangiergleise in den Rangierbahnhöfen Chiasso, Genf, Lausanne-Triage, Limmattal, 17
- Basel SBB RB Basel Auhafen (DfA-Linie 525),
- Laufenburg Leibstadt Klingnau (DfA-Linie 701).

Die untenstehende Abbildung 4 zeigt die mittlere tägliche Zahl der Reisezüge (Summe über beide Fahrtrichtungen) auf dem Screeningnetze im Zeitraum von 2018 bis 2022.

¹⁶ Heruntergeladen am 10.11.2023 von der Website https://data.sbb.ch/explore/dataset/zugzahlen/.

¹⁷ Wo für Gleise durch Rangierbahnhöfe Werte verfügbar waren (z.B. RB Biel), wurden diese übernommen. Die Zahl der RZ-Fahrten ist in diesen Fällen jedoch durchwegs äusserst klein.

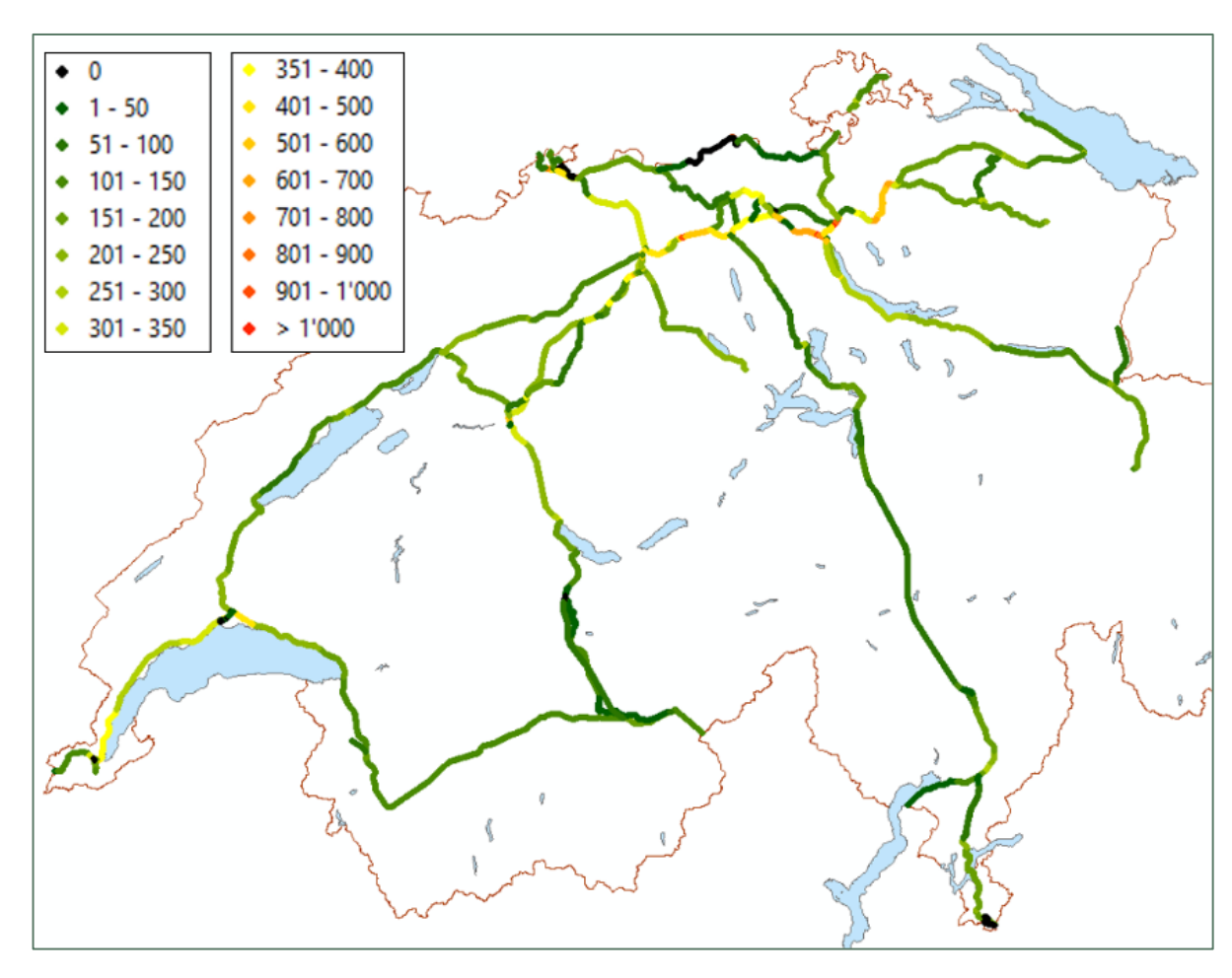


Abbildung 9: Anzahl Reisezugfahrten auf dem Screening-Netz zwischen 2018 und 2022 (Tagesmittel bzw. mittlere Anzahl Fahrten pro Kalenderjahr / 365)

4.2.8 Besetzung Reisezüge

Mangels einfach verwendbarer ortsspezifischer Daten wurde in TgG bisher angenommen, dass sich netzweit überall die gleiche mittlere Zahl von 120 Reisenden in einem Reisezug aufhalten. Im Rahmen von BASE wurde erstmals ein GIS-Datensatz der SBB hinsichtlich der örtlichen Unterschiede in der mittleren Zahl von Reisenden in Zügen ausgewertet. Der zugrunde liegende Datensatz «Zuglaufdaten» der SBB enthält für ca. 67'000 Gleiselemente die über alle Reisezüge gemittelte Zahl von Reisenden, die im Jahr 2019 über dieses Gleiselement gefahren sind. Beim angegebenen Wert handelt es sich somit um einen Mittelwert über alle Tageszeiten und Wochentage.

Für die Verwendung in BASE und TgG ist eine Besetzung pro Linie, und nicht pro Gleis, erforderlich. Dazu wird das gewichtete Mittel der Besetzungen über alle Gleise gebildet (Gewichtung entsprechend der Anzahl Reisezüge). Für die wenigen Datenpunkte, über welche nicht regelmässig Reisezüge der SBB verkehren (Strecken DICH/BEV), wird weiterhin ein Wert von 120 Reisenden pro Reisezug angenommen.

In TgG wird also weiterhin ein zeitlicher Mittelwert zur Besetzung von Reisezügen verwendet, der neu jedoch ortsabhängig ist.

4.2.9 Unterscheidung Einspur- und Mehrspurstrecken

Die Unterscheidung zwischen Einspur- und Mehrspurstrecken erfolgt aus Sicht der Wahrscheinlichkeit, dass unmittelbar nach einem Störfall ein Nothalt eines Reisezugs eingeleitet wird und dieser auf einem nahe liegenden Gleis zum Halt kommt, wo Reisende im Zug Gefahrgutwirkungen ausgesetzt sein können. Verläuft «weit und breit» nur ein Gleis, so ist durch die Zugsicherung gewährleistet, dass ein Reisezug mindestens in Blockabstand zu einem Gefahrgutzug anhält, so dass die Wahrscheinlichkeit einer Gefährdung sehr viel kleiner ist als bei einer Strecke mit mehreren parallelen Gleisen, die gleichzeitig befahren werden können.

In BASE werden Gleis-Ereignispunkte (vgl. Abbildung 3) als Einspurstrecken klassifiziert, wenn gleichzeitig die beiden folgenden Kriterien zutreffen:

- Die zugehörige Linie weist nur ein Gleis auf (d.h. Gleis- und Linien-EP fallen zusammen) und
- die n\u00e4chste Weiche ist mindestens 500 m entfernt.

Die Übertragung des Merkmals «Ein- bzw. Mehrspurstrecke» von BASE nach TgG erfolgt dann wie folgt:

- Ist einem TgG-Datenpunkt genau ein Linien-Ereignispunkte von BASE zugeordnet, so wird die Ausprägung Ein- bzw. Mehrspurstrecke unverändert übertragen.
- Sind einem TgG-Datenpunkt mehrere Linien-Ereignispunkte von BASE zugeordnet, so wird dem TgG-Datenpunkt die Ausprägung «Mehrspurstrecke» zugeordnet (da mindestens zwei nahe gelegene Linien vorhanden sind).

In der folgenden Abbildung 10 ist die Unterscheidung zwischen Ein- und Mehrspurstrecken dargestellt.

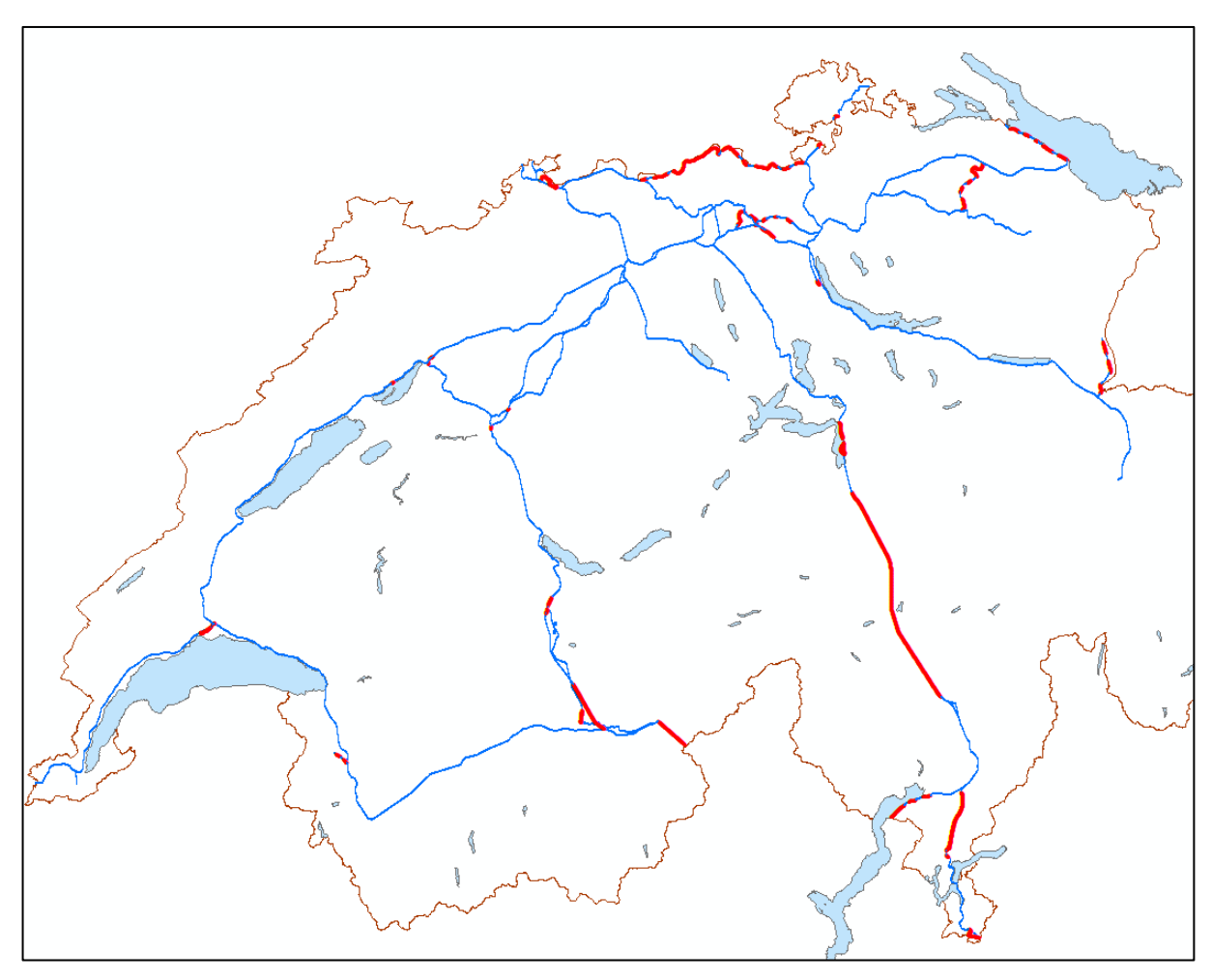


Abbildung 10: Unterscheidung zwischen Datenpunkten, die als Einspurstrecken klassifiziert sind (rot dargestellt) und solchen, die als Mehrspurstrecke behandelt werden (blau dargestellt). Gleise, auf denen keine RZ verkehren (z.B. innerhalb von Rangierbahnhöfen, Hafenbahnen Basel) sind ebenfalls rot dargestellt. Hinweis: Parallele Linien (z.B. Linie durch Rangierbahnhof und entlang von diesem) lassen sich nicht unterscheiden (rote Farbe dominiert, z.B. in den Rangierbahnhöfen Lausanne und Limmattal).

4.2.10 Zugänglichkeit

Die Zugänglichkeit der Strecke und damit die Fluchtmöglichkeit weg vom Gleis wurde für jeden neu erfassten Datenpunkt (d.h. nur für neue Strecken) visuell anhand von Satellitenbildern bestimmt (Quelle: map.geo.admin.ch). Fallweise wurde auch digitales Höhenmodell (DHM 25) sowie Höhenlinien des digitalen Terrainmodells von 2021/2022 aus dem kantonalen GIS-Browser verwendet (Zugriff: 17. Mai 2024). Im Perronbereich von Bahnhöfen wurde generell die Klasse «sehr gut» verwendet.

¹⁸ Links Datenquellen: <u>Geoportal Kanton Zürich (zh.ch)</u>; <u>ThurGIS - Kartenportal Thurgau (tg.ch)</u>; <u>MapBS</u>; <u>Web GIS Client Kanton Solothurn</u>

4.3 Umweltrisiken

Im Folgenden wird auf die ortsspezifischen Attribute eingegangen, die für die Ermittlung der Umweltrisiken massgeblich sind. Eine detaillierte Definition der einzelnen Attribute, die verwendeten Klasseneinteilungen sowie Erläuterungen dazu können dem Methodikbericht [4] entnommen werden.

4.3.1 Freisetzungsorte und Art der Entwässerung

Freisetzungsorte

Mögliche Freisetzungsorte wurden für die Strecken mit Hilfe von hochaufgelösten Satellitenbildern visuell bestimmt. Des Weiteren wurden ein digitales Höhenmodell (DHM 25) sowie Höhenlinien des digitalen Terrainmodells (DTM) von 2021/2022 aus den jeweiligen kantonalen GIS-Browsern (s.o.) verwendet. Ist eine Freisetzung ausserhalb der Trasse aufgrund der Topografie (z.B. steiler Einschnitt) oder in einem Tunnel nicht möglich, so wurde die Ausprägung «nur Mitte» verwendet.

Art der Entwässerung

Da gesamtschweizerisch Daten fehlen bzw. nicht mit vertretbarem Aufwand aufbereitet werden können, wird für die Fahrbahnentwässerung überall die Ausprägung «keine» eingesetzt.

4.3.2 Parameter zu den Risiken für das Grundwasser

Nachfolgend sind die Attribute beschrieben, die für die Ermittlung der Risiken für unterirdische Gewässer bzw. Trinkwasserfassungen auf den neu erfassten Linien erforderlich sind. Diese betreffen zwei Lokalitäten entlang der Linie Winterthur Ost – Frauenfeld – Weinfelden.

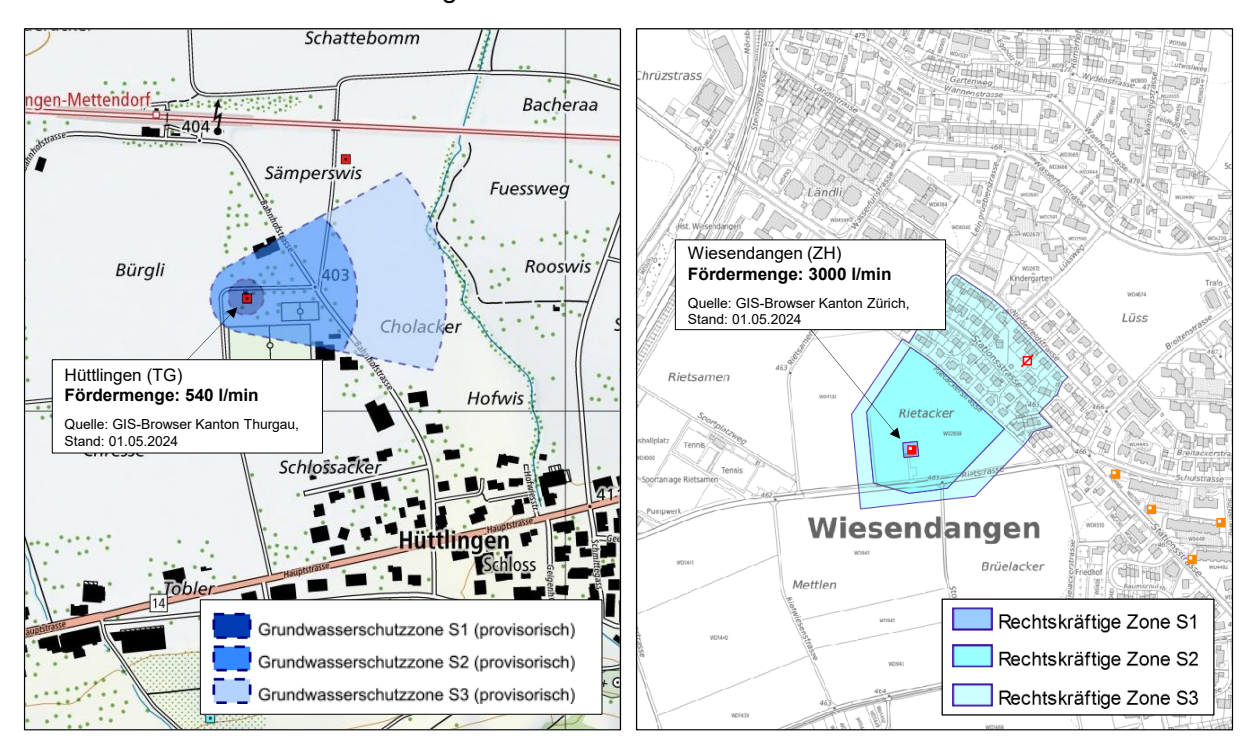


Abbildung 11: Lage und konzessionierte Fördermenge der beiden neu hinzugekommenen Grundwasserfassungen für die neue Linie Winterthur Ost – Frauenfeld – Weinfelden. Entlang der anderen neuen Linien gibt es keine als relevant einzustufenden Fassungen oder Quellen.

Kriterien relevante Grundwasserfassungen und Fördermenge

Es sind nur Grundwasserfassungen oder Quellen relevant, die alle folgenden Kriterien erfüllen:

- Sie sind in Betrieb oder konkret geplant.
- Sie weisen eine Fördermenge von mindestens 500 l/min auf und dienen der öffentlichen Trinkwasserversorgung.
- Sie liegen innerhalb einer rechtsgültig Grundwasserschutzzone S1, S2 oder S3
- Sie liegen in einem Abstandsbereich bis 500 m zum jeweiligen TgG-Datenpunkt und nicht mehr als 30 m über diesem (oder einem anderen Datenpunkt innerhalb von 500 m).

Zur Bestimmung der relevanten Trinkwasserfassungen und der entsprechenden Fördermenge wurde die folgenden Karten bzw. Layer konsultiert (Zugriff jeweils am 16. Mai 2024):

- Grundwasserkarte (Mittelwasserstand) von 2004 Kantons Zürich
- Karte «Grundwasser- und Gewässerschutz» des Kanton Thurgau von 2021
- Layer-Gruppe «Grundwasserschutz» des Kanton Solothurn von 2023
- Karten «Grundwassernutzung» und «Gewässerschutzkarte» des Kanton Basel-Stadt von 2024.

Flurabstand

Der Flurabstand wurde als Differenz aus der Höhe eines Datenpunktes relativ zur Isohypse der Grundwasseroberfläche bei Mittelwasserstand berechnet. Die Information zur Isohypse wurde der «Hydrogeologischen Karte 100» von swisstopo (Quelle: map.geo.admin.ch; Datenstand 2014) entnommen (Zugriff am 13. Mai 2024). Bei Datenpunkten ohne relevante Fassung innerhalb von 500 m wurde der Standardwert 3 m eingesetzt.

Fliessrichtung

Die Fliessrichtung des Grundwassers wurde der swisstopo-Karte «Grundwasservorkommen 500» entnommen (Quelle: map.geo.admin.ch, Datenstand 2014, Zugriff am 13. Mai 2024).

Wirkdistanz

Die Wirkdistanz ergibt sich aus der Fliessrichtung und dem Bodentyp; es gilt gemäss [4] der Zusammenhang in Tabelle 3.

Wirkdistanz [m] bei Fliessrichtung					
Bodentyp	zur Fassung	parallel zur Bahntrasse	zur Bahntrasse		
Karst	500	500	500		
alle anderen	500	100	40		

Tabelle 3: Bestimmung der Wirkdistanz in Abhängigkeit von Bodentyp und Fliessrichtung.

Schutzzone

Das Attribut Schutzzonen dient nur der Information. Damit wird bestätigt, dass die zugehörige Fördermenge aus einer relevanten Fassung oder Quelle stammt, die eine rechtsgültige Schutzzone aufweist. Bei Datenpunkten ohne relevante Fassung wird als Standard der Wert «Unbekannt / Andere» eingesetzt.

Rückhalt Gefahrgut in ungesättigter Zone

Pro Leitstoff und pro Freisetzungsszenario, zudem unterschieden nach trockenen bzw. mit Wasser gesättigten Böden, wird erfasst, wie gross die Gefahrgutmenge ist, die pro Laufmeter ungesättigter Zone im Boden zurückgehalten werden kann (Einheit: kg/m). Die entsprechenden Attribute werden mit «Rückhalt ungesättigte Zone» bezeichnet; von diesen gibt es insgesamt 54. Durch Multiplikation mit dem Flurabstand ergibt sich die in der ungesättigten Zone zurückgehaltene Menge. Durch Differenzbildung mit der Versickerungsmenge im Boden lässt sich daraus die Gefahrgutmenge ermitteln, welche in die gesättigte Zone eindringt. Die Attribute «Rückhalt ungesättigte Zone» hängen auch von der Lachenfläche und vom oberflächlichen Abflusspfad ab, der anlässlich des ersten Umweltscreening mittels einer Abflussmodellierung ermittelt wurde (vgl. [4]). Sie nehmen proportional zur Länge des Abflusspfads (d.h. bis zum Ort des Eintrags in ein OFG oder, falls es keinen solchen gibt, bis zum Ort, an dem der letzte Rest Gefahrgut versickert) sowie zur Breite der Lache – und damit zur überstrichenen Fläche – zu.

Um den Rückhalt in der ungesättigten Zone für die neuen Strecken zu ermitteln, wurde wie folgt vorgegangen:

- Für die Linien Winterthur Ost Frauenfeld Weinfelden und Grenze bei Weil am Rhein Basel Badischer Bahnhof Grenze bei Grenzach, die durchwegs durch flaches Gelände führen, wird der Wert übernommen, der gleich auch für alle anderen flachen Abschnitte mit einer vollständigen Versickerung am Ort der Freisetzung gilt. Dieser hängt neben Modellparametern wie Lachenfläche und Wassersättigung des Bodens lediglich vom Bodentyp ab. Letzterer wird der geologischen Karte der Schweiz entnommen.
- Für alle anderen neuen Streckenabschnitte gemäss Abbildung 1 wird der Wert vom jeweils nächstliegenden TgG-Datenpunkt übernommen, der meist in unmittelbarer Nähe liegt und deshalb die gleichen Gelände- und Bodenmerkmale aufweist.

4.3.3 Parameter zu den Risiken für Oberflächengewässer

Es wurden grundsätzlich alle Oberflächengewässer (Bäche, Flüsse und Seen, ohne unterirdisch verlaufende Gewässer) berücksichtigt, welche im Vektor 25-Datensatz "Gewässernetz" von swisstopo erfasst sind.

Die «Charakteristik» der Oberflächengewässer wurde gemäss den Angaben in [4] erfasst: Länge und Fläche pro Grössenklasse (Bäche, kleine Flüsse, grosse Flüsse, Seen (hier nur die Fläche)).

Zudem wurden basierend auf den Vorgaben in [4] die Eintragsmengen bei oberflächlichem Abfluss einer Gefahrgutlache in das nächstgelegene Oberflächengewässer anhand der folgenden Kriterien ermittelt:

- a) Strecke Winterthur Ost Frauenfeld Weinfelden und Basel Badischer Bahnhof in Richtung Weil am Rhein sowie Grenzach:
 - Eintragsmenge = 0, wenn sich im Umkreis bis 30 m vom TgG-Datenpunkt weder ein Fluss, ein See noch ein über mehrere 100 m parallel zur Bahnlinie verlaufender Bach befindet und das Gelände flach ist (d.h. Steigung <2°).</p>
 - Wenn ein Bach die Bahntrasse quert, wird für die benachbarten Datenpunkte ebenfalls Eintragsmenge = 0 gesetzt, unabhängig von der vorhandenen Steigung.

— Eintragsmenge = Freisetzungsmenge in Abhängigkeit des jeweiligen Freisetzungsszenarios, wenn ein Fluss oder See sich in einem Abstand bis 30 m vom Ort der Freisetzung befindet, unabhängig von der Steilheit des Geländes.

Für die beiden Strecken ergeben sich aufgrund dieser Kriterien lediglich bei zwei Flussquerungen Eintragsmengen > 0 (Thur-Querung bei Linie 840, km 51.3 (nördlich von Eschikofen) und Wiese-Querung nördlich des Badischen Bahnhofs).

b) Alle anderen neuen Streckenabschnitte gemäss Abbildung 1: Übernahme der Eintragsmengen vom jeweils nächstliegenden TgG-Datenpunkt (im Allgemeinen parallelen Linien aus dem aktuellen oder früheren Screeningnetz).

5. Aktualisierung methodische Parameter

5.1 Einleitung

Im Zusammenhang mit der Aktualisierung der ortspezifischen Parameter (Kap. 4) wurden auch Anpassungen an der Berechnungsmethodik [3] vorgenommen, d.h. bei den Rechenregeln, wie aus den obigen Attributen sowie einzelnen ortsunabhängigen Parametern die Häufigkeits-Ausmass-Wertepaare für die betrachteten Störfallszenarien ermittelt werden. Dies betrifft die folgenden methodischen, d.h. ortsunabhängigen Parameter:

- Fortschreibung der Trends bei der Häufigkeit von grösseren Gefahrgutfreisetzungen sowie bei den Bahnunfällen, welche erfahrungsgemäss die Hauptursachen von Störfällen darstellen (Entgleisungen und Zusammenstösse). Daraus können Änderungen an der Häufigkeit von Gefahrgutfreisetzungen auf dem gesamten Screeningnetz abgeleitet werden, was wiederum die Abschätzung der ortsspezifischen Risiken beeinflusst (vgl. Kapitel 5.2).
- Ableitung von Freisetzungsraten (Anzahl relevante Freisetzungen pro Kesselwagen-Kilometer) in Abhängigkeit der Weichendichte, die den obigen Trends Rechnung tragen.
- Umrechnung von Gefahrgutmengen [t/Jahr] pro Leitstoff in eine korrespondierende Zahl voller Kesselwagen pro Jahr, basierend auf umfangreichen Daten aus BASE (vgl. auch Kapitel 4.2.1).
- Berechnung des Störfallwerts für den Schadenindikator «verschmutzte unterirdische Gewässer» basierend auf den aktuell gültigen Beurteilungskriterien; diese ist in Kapitel 5.6 beschrieben.

Alle anderen Elemente der Rechenmethodik (z.B. Störfallszenarien, Letalitätsmodelle, etc.), die hier keine Erwähnung finden, bleiben im Rahmen der vorliegenden Aktualisierung des Screenings unverändert.

5.2 Trends Bahnunfälle und mittlere Freisetzungsrate

Beim Screening 2018 wurden für die Ermittlung der Häufigkeit von Störfällen Gefahrgutfreisetzungen zwischen 1976 und 2018 berücksichtigt (vgl. [2]); gleiches gilt auch für Entgleisungen und Zusammenstösse von Zügen. Im Rahmen der vorliegenden Aktualisierung werden zusätzlich Bahnunfälle zwischen Anfang 2019 und Ende 2023 einbezogen. Die verwendete Methodik ist unverändert, was wichtig ist, um vorhandene langjährige Trends nicht durch methodische Änderungen zu verfälschen.

Die Methodik kann wie folgt zusammengefasst werden:

- Der Basiswert für die Häufigkeit eines Störfalls (hier definiert als Freisetzung von mindestens 1'000 I Gefahrgut) beim Transport auf einer Normalspurstrecke (ohne Rangieren) in der Schweiz wird über die beobachtete mittlere Häufigkeit solcher Ereignisse seit 1976 ermittelt. Zwischen 1976 und 2018 ereigneten sich insgesamt sieben solche Ereignisse, in den Jahren seit 2019 kamen keine mehr dazu.¹⁹
- Die Statistik legt zwar den Schluss nahe, dass die Zahl der Störfälle in der Schweiz stark rückläufig ist, infolge der kleinen Zahl von Störfällen lässt sich das statistisch jedoch nicht ohne Weiteres mit der gewünschten Signifikanz quantitativ belegen.
- Seit 1976 ist die jährliche Zahl der Bahnunfälle, welche grundsätzlich einen Störfall nach sich ziehen könnte, gemessen an der Fahrleistung (d.h. Anzahl Unfälle pro Zugkilometer) deutlich zurückgegangen. Es wird angenommen, dass der Trend bei den Störfällen in guter Näherung gleich verläuft wie bei Entgleisungen und Zusammenstössen. Der Trend bei der Zahl der Unfälle pro Zugkilometer wird somit bei Letzteren ermittelt und auf die Gefahrgutereignisse übertragen.
- Als massgebliche Bahnereignisse für die Trendanalyse werden wie schon in früheren Screenings folgende Unfälle auf Normalspurstrecken berücksichtigt:
 - Entgleisungen von Güter- oder Reisezügen auf der Fahrt (ohne Rangieren, d.h. der betroffene Zug ist mit einer Zugnummer auf einem Hauptgleis unterwegs), Aufprall von solchen auf ein ortsfestes Hindernis sowie Zusammenstoss mit einer anderen Fahrt (Zugfahrt oder Rangierfahrt).
 - Früher beschränkte sich die Analyse auf Unfälle bei der SBB (inkl. Töchter) sowie bei der BLS; damit waren schätzungsweise über 95% der Unfälle bzw. der Fahrleistung auf Schweizer Normalspurstrecken abgedeckt. Neu wurden auch Unfälle bei allen anderen Normalspurbahnen (z.B. SOB) berücksichtigt.
 - Wie bereits anlässlich der früheren Analysen werden nur Unfälle berücksichtigt, die einen Schaden von mindestens CHF 15'000.- verursacht haben.

In Tabelle 3 sind die jährlichen statistischen Kenngrössen der betrachteten Unfälle sowie die zugehörigen Fahrleistungen tabelliert. Die resultierende jährliche Rate an Entgleisungen bzw. Zusammenstössen pro Zug-km ist in Abbildung 12 dargestellt. Bis ca. 2005 zeigt sich ein klar sinkender Trend; seither sind die jährlichen Fluktuationen deutlich grösser als ein allfälliger Trend (auch bei Mittelung über mehrere Jahre). Ebenfalls dargestellt ist eine exponentielle Trendkurve, wie sie analog auch bei der letzten Analyse im Jahr 2019 verwendet wurde.

¹⁹ Die sieben Störfälle ereigneten sich am 04.06.84 in Sargans, am 19.09.88 in Au, am 04.01.91 in Stein-Säckingen, am 08.03.94 in Zürich-Affoltern, am 30.6.94 in Lausanne, am 21.10.94 in Amsteg und am 25.04.15 in Daillens.

	Anzahl Unfälle		Laufleistung RZ+GZ	Unfallrate (Unfälle pro Zug-		-km)
Jahr	Entgleisung	Zusammenstoss	[Mio. Zug-km]	Entgleisung	Zusammenstoss	beide
1976	10	10	92.3	1.1 E-7	1.1 E-7	2.2 E-7
1977	17	12	93.7	1.8 E-7	1.3 E-7	3.1 E-7
1978	13	4	94.2	1.4 E-7	4.2 E-8	1.8 E-7
1979	9	8	95.0	9.5 E-8	8.4 E-8	1.8 E-7
1980	4	9	96.3	4.2 E-8	9.3 E-8	1.3 E-7
1981	12	4	96.1	1.2 E-7	4.2 E-8	1.7 E-7
1982	7	5	102.4	6.8 E-8	4.9 E-8	1.2 E-7
1983	8	8	106.6	7.5 E-8	7.5 E-8	1.5 E-7
1984	13	5	107.0	1.2 E-7	4.7 E-8	1.7 E-7
1985	15	6	106.6	1.4 E-7	5.6 E-8	2.0 E-7
1986	13	6	106.6	1.2 E-7	5.6 E-8	1.8 E-7
1987	14	7	107.4	1.3 E-7	6.5 E-8	2.0 E-7
1988	9	9	118.3	7.6 E-8	7.6 E-8	1.5 E-7
1989	13	7	119.0	1.1 E-7	5.9 E-8	1.7 E-7
1990	16	8	132.7	1.2 E-7	6.0 E-8	1.8 E-7
1991	9	6	132.8	6.8 E-8	4.5 E-8	1.1 E-7
1992	4	6	130.9	3.1 E-8	4.6 E-8	7.6 E-8
1993	5	4	129.3	3.9 E-8	3.1 E-8	7.0 E-8
1994	6	11	126.8	4.7 E-8	8.7 E-8	1.3 E-7
1995	3	4	124.2	2.4 E-8	3.2 E-8	5.6 E-8
1996	3	3	123.3	2.4 E-8	2.4 E-8	4.9 E-8
1997	7	5	124.4	5.6 E-8	4.0 E-8	9.6 E-8
1998	2	3	125.4	1.6 E-8	2.4 E-8	4.0 E-8
1999	6	2	128.6	4.7 E-8	1.6 E-8	6.2 E-8
2000	6	4	133.8	4.5 E-8	3.0 E-8	7.5 E-8
2001	2	4	138.0	1.4 E-8	2.9 E-8	4.3 E-8
2002	2	2	140.4	1.4 E-8	1.4 E-8	2.8 E-8
2003	6	3	144.9	4.1 E-8	2.1 E-8	6.2 E-8
2004	4	3	146.5	2.7 E-8	2.0 E-8	4.8 E-8
2005	3	5	163.1	1.8 E-8	3.1 E-8	4.9 E-8
2006	9	4	164.9	5.5 E-8	2.4 E-8	7.9 E-8
2007	3	2	166.7	1.8 E-8	1.2 E-8	3.0 E-8
2008	3	2	171.9	1.7 E-8	1.2 E-8	2.9 E-8
2009	2	1	175.1	1.1 E-8	5.7 E-9	1.7 E-8
2010	3	5	177.2	1.7 E-8	2.8 E-8	4.5 E-8
2011	2	10	179.8	1.1 E-8	5.6 E-8	6.7 E-8
2012	1	9	180.2	5.5 E - 9	5.0 E-8	5.5 E-8
2013	2	15	184.5	1.1 E-8	8.1 E-8	9.2 E-8
2014	0	3	187.8	0.0 E+0	1.6 E-8	1.6 E-8
2015	3	7	189.4	1.6 E-8	3.7 E-8	5.3 E-8
2016	1	1	193.2	5.2 E-9	5.2 E-9	1.0 E-8
2017	4	6	192.1	2.1 E-8	3.1 E-8	5.2 E-8
2018	2	5	191.9	1.0 E-8	2.6 E-8	3.6 E-8
2019	1	1	189.8	5.3 E-9	5.3 E-9	1.1 E-8
2020	1	1	183.4	5.5 E - 9	5.5 E-9	1.1 E-8
2021	0	3	192.7	0.0 E+0	1.6 E-8	1.6 E-8
2022	1	1	195.3	5.1 E-9	5.1 E-9	1.0 E-8
2023	1	1	199.9	5.0 E - 9	5.0 E-9	1.0 E-8
Summe / Mittel	280	250	6'902.3	4.1 E-8	3.6 E-8	7.7 E-8

Tabelle 4: Jährliche Anzahl Entgleisungen bzw. Zusammenstösse, zugehörige Laufleistung (in Zugkilometern) und daraus abgeleitete Unfallraten. Die Werte zwischen 1976 – 1989 basieren auf Zahlen der SBB, ab 1990 kam die BLS dazu, ab 2002 Thurbo (als SBB-Tochter) und ab 2019 die SOB (d.h. neu sind alle ISB mit Normalspurstrecken erfasst).

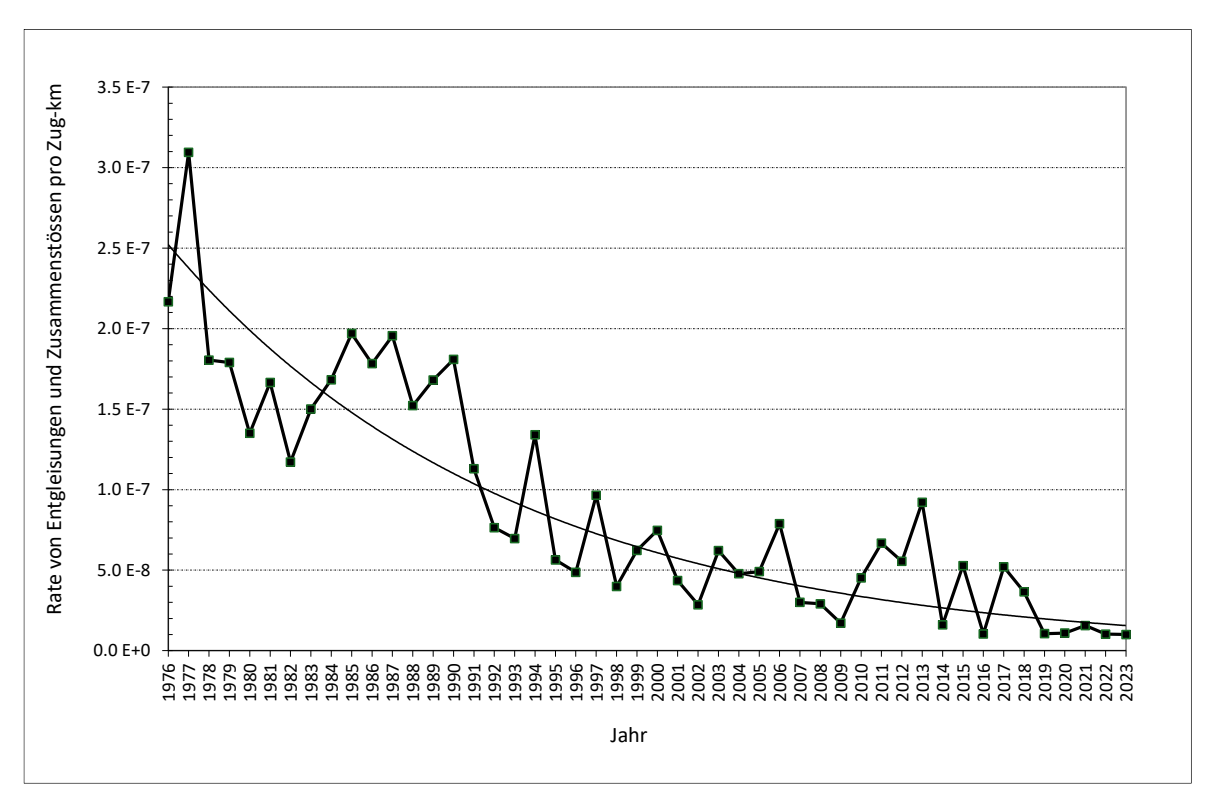


Abbildung 12: Zeitlicher Verlauf des Quotienten aus der jährlichen Zahl von Entgleisungen und Zusammenstössen sowie der zugehörigen Fahrleistung in Zug-km (gemäss Tabelle 4, Spalte ganz rechts)

Anhand der obigen Daten (Häufigkeit von Störfällen, Tabelle 4, Trendkurve in Abbildung 12) sowie den entsprechenden Werten aus der analogen Analyse im Rahmen des Screenings 2018 (Trendwert per Ende 2018) ergeben sich folgende Resultate im Vergleich zum letzten Screening:

 mittlere jährliche Häufigkeit von Störfällen im Sinne der obigen Definition zwischen 1976 – 2023:
 7/48 /J = 0.146 /J

• Unfallrate für 1976 – 2023:

Mittelwert für Periode 1976 – 2023 (vgl. Tabelle 4) 7.7*10⁻⁸ /Zug-km Trendwert für 2023 (vgl. Abbildung 12) 1.56*10⁻⁸ /Zug-km Quotient zwischen Trendwert und Mittelwert: 0.172

 Aus den obigen Werten ergibt sich folgender Trendwert für die jährliche Häufigkeit von Störfällen im Jahr 2023:
 0.146 /J * 0.172 = 0.0251/J

(1.0 Ereignis pro 40 Jahre)²⁰

Aus dem entsprechenden Trendwert für 2018 lässt sich folgender Minderungsfaktor ableiten:

Trendwert f
ür 2018 gemäss Abbildung 11 in [2]: 2.75*10-8 /Zug-km

Quotient Trendwert 2023 / 2018:
 1.56/2.75 = 0.567

²⁰ Die Trendanalyse basiert auf der vereinfachenden Annahme, dass Trends beim Unfallgeschehen mittel und langfristigwesentlich ausgeprägter sind als Trends bei den insgesamt transportierten Gefahrgutmengen.

Die für das Jahr 2023 gültigen, im aktuellen Screening hinterlegten mittleren Freisetzungsraten ergeben sich somit aus den entsprechenden Werten für das Screening 2018 durch Multiplikation mit dem Faktor 0.567.

Da Störfälle mit relevanter Freisetzung von Gefahrgut primär flüssige Gefahrgüter betreffen, kann angenommen werden, dass die mittlere Freisetzungsrate gleich ist wie die Freisetzungsrate für Flüssigkeiten (Leitstoff Benzin bei den Personenrisiken sowie alle drei Leistoffe zur Beschreibung der Umweltrisiken). Die bisher und neue gültigen Werte sind in Tabelle 5 dokumentiert.

	Freisetzungsrate R _{LS} pro (vollem) Kesselwagen und 100					
flüssige Leitstoffe ²¹	Weichendichte > 2	Weichendichte 1 - 2	keine Weichen			
Screening 2018	5.7 · 10 ⁻¹⁰	2.9 · 10 ⁻¹⁰	2.9 · 10 ⁻¹¹			
Screening 2023	3.2 · 10 ⁻¹⁰	1.6 · 10 ⁻¹⁰	1.6 · 10 ⁻¹¹			

Tabelle 5: Vergleich der Freisetzungsraten pro Kesselwagen und 100 m (für v = 80 km/h) gemäss Screening 2018 (vgl. [2]) bzw. 2023 (gültig für Kesselwagen zum Transport von Flüssigkeiten).

Im folgenden Abschnitt wird aufgezeigt, wie mittels Korrekturfaktoren aus den obigen Werten diejenigen für Gaskesselwagen (Leitstoffe Propan und Chlor) ermittelt werden.

5.3 Abhängigkeit der Freisetzungsrate vom Kesselwagen

Neben der Weichendichte hängt die Freisetzungsrate auch von den Eigenschaften der verwendeten Kesselwagen ab. Wie schon in früheren Screenings werden drei Arten von Kesselwagen unterschieden, vgl. die nachfolgende Tabelle 6. Darin sind die im Screening 2023 bzw. im letzten Screening 2018 verwendeten Korrekturfaktoren tabelliert, welche den Einfluss der Kesselwagen-Merkmale auf die Freisetzungsrate abbilden. Die Werte in einer Zeile entsprechen dem Korrekturfaktor gegenüber der jeweils nächst oberen Zeile.

Ablesebeispiel: Im Screening 2023 ist eine Freisetzung aus einem Propan- oder Ammoniak-Kesselwagen um einen Faktor 4 geringer als aus einem Benzin-Kesselwagen; für einen UN 1017-KW ist die Freisetzung um einen Faktor 7.79 kleiner gegenüber einem Propan- oder Ammoniak-Kesselwagen.

Die Korrekturfaktoren für das Screening 2023 stammen aus dem Bericht zur Quantifizierung der risikosenkenden Wirkung gemäss Gemeinsamer Erklärung II [8]. Dort wurden die Korrekturfaktoren für dickwandige Kesselwagen und für sicherheitstechnisch verbesserte Kesselwagen neu evaluiert. Es hat sich gezeigt, dass der bisherige Korrekturfaktor für dickwandige Kesselwagen von 10 (0.1) auf einen Faktor 4 (0.25) reduziert werden muss; der bisherige zusätzliche Korrekturfaktor für sicherheitstechnisch verbesserte KW für den Chlortransport wurde von einem Faktor 5 auf einen Faktor 4.1 korrigiert. Zusätzlich wurde ein weiterer Korrekturfaktor von 1.9 für KW für den Chlortransport eingeführt. Dies aufgrund weiterer Sicherheitsmassnahmen gemäss der Gemeinsamen Erklärung II, die über das RID hinausgehen. Da in der Schweiz nur diese unterwegs sind, resultiert ein Korrekturfaktor von 4*4.1*1.9 = 31.16 für sicherheitstechnisch beste Chlor-Kesselwagen für das Screening 2023 (d.h. die Wahrscheinlichkeit einer grösseren Freisetzung, in der Regel infolge einer Entgleisung oder eines Zusammenstosses,

²¹ Kesselwagen für Flüssigkeiten (Leitstoff Benzin und alle Leitstoffe zu den Umweltrisiken) sind hinsichtlich Aspekten wie Wandstärke und Stahlqualität in etwa vergleichbar, so dass die gleichen Freisetzungsraten verwendet werden.

ist bei einem Chlor-Kesselwagen (d.h. für UN 1017) um einen Faktor von gut 30 geringer als bei einem Standard-Kesselwagen für den Transport von Flüssigkeiten).

Die nachfolgend tabellierten Werte beziehen sich auf eine Höchstgeschwindigkeit von 80 km/h. Die Änderung der Freisetzungsrate für höhere sowie tiefere Geschwindigkeiten ist in Kapitel 5.4 dokumentiert. Die Referenzgeschwindigkeit 80 km/h gilt auch für Chlor (UN 1017), obwohl dieser Stoff nur in Sonderzügen bei maximal 40 km/h transportiert werden dürfen (d.h. die tabellierten Korrekturfaktoren für UN 1017 gelten lediglich für den fiktiven Fall von 80 km/h).

Für die Berücksichtigung der sicherheitstechnisch verbesserter KW für Cl₂ (UN 1017) wird das ortspezifische Attribut «Anteil Cl₂ am LS Chlor» als Gewichtungsfaktor verwendet (d.h. de facto wird mit einem gewichteten Korrekturfaktor gerechnet).

Nr.	Art Kesselwagen	Zugehörige Leit- bzw. Einzelstoffe (UN-Nr.)	Korrekturfaktor Screening 2018	Korrekturfaktor Screening 2023	Quotient 2018/2023
1	Flüssigkeits- kesselwagen	LS Benzin, Umwelt-LS	1 (definition	onsgemäss, da Refer	enz)
2	Gaskesselwagen	LS Propan und LS Chlor, (ohne Cl ₂ / UN 1017)	10 22	4	2.5
3	Sicherheitstechnisch verbesserter KW für Cl ₂ / UN 1017	Cl ₂ / UN 1017	5 ²³	4.1*1.9	0.64

Tabelle 6: Korrekturfaktoren für die Berücksichtigung unterschiedlicher Kesselwagentypen. Die Korrekturfaktoren beschreiben, um welchen Faktor eine Freisetzung aus dem entsprechenden KW im Vergleich zu einem KW für den Transport von Flüssigkeiten seltener ist. Der Quotient in der Spalte ganz rechts beschreibt das Verhältnis der Korrekturfaktoren aus dem Screening 2018 und 2023. Die Freisetzungsrate für einen Gaskesselwagen ist im Screening 2023 um einen Faktor 2.5 grösser als im Screening 2018; für einen Chlorkesselwagen ist sie um einen Faktor 0.64 kleiner.

5.4 Abhängigkeit der Freisetzungsrate von der zulässigen Höchstgeschwindigkeit

Die Abhängigkeit der Freisetzungsrate von der Höchstgeschwindigkeit v_{max} wird über Korrekturfaktoren sichergestellt. Diese sind für 80 km/h (Referenzgeschwindigkeit) definitionsgemäss 1. Für davon abweichende Geschwindigkeiten werden in [8] angepasste Korrekturfaktoren vorgeschlagen, die für Flüssigkeits- (LS Benzin) und für Gaskesselwagen (LS Propan und Chlor) unterschiedlich sind. Die bisher und neu verwendeten Korrekturfaktoren sind in Tabelle 7 aufgelistet, zusammen mit dem Quotienten zwischen den beiden.

Für Cl₂ / UN 1017 gilt für Streckenhöchstgeschwindigkeiten ab 40 km/h derselbe Wert wie für 40 km/h, da im Betrieb nur mit maximal 40 km/h gefahren werden darf; für tiefe Geschwindigkeiten gelten die gleichen Korrekturfaktoren wie für den LS Propan und die anderen Stoffe des LS Chlor.

²² Im Screening 2019 wurde der Korrekturfaktor nur für LS Propan angewendet. Im Screening 2023 wird der Korrekturfaktor sowohl für LS Propan als auch für LS Chlor, ausser sicherheitstechnisch verbesserte KW für Cl₂ (UN1017), angewendet.

²³ Im Screening 2019 wurde der Korrekturfaktor für alle Stoffe des LS Chlor angewendet, es wurde also keine Unterscheidung gemacht zwischen dem LS Chlor und UN 1017. Im Screening 2023 wird der Korrekturfaktor nur für sicherheitstechnisch verbesserte KW für Cl₂ (UN1017) angewendet. KW für andere Stoffe im LS Chlor (z.B. Ammoniak) werden wie normale Gaskesselwagen behandelt, d.h. Korrekturfaktor 0.25.

	(LS Ben	ilüssigkeite zin / Mineral drin / Perchl	ölprod./	I (onne UN 1017) I			Cl ₂ / UN 1017		
v _{max} [km/h]	Screening 2019	Screening 2024	Quotieng Screening 2024/2019	Screening 2019	Screening 2024	Quotieng Screening 2024/2019	Screening 2019	Screening 2024	Quotieng Screening 2024/2019
10 km/h	0.23	0.13	0.57	0.02	0.01	0.50	0.02	0.01	0.50
20 km/h	0.38	0.25	0.66	0.04	0.03	0.75	0.04	0.03	0.75
30 km/h	0.50	0.38	0.76	0.07	0.04	0.57	0.07	0.04	0.57
40 km/h	0.62	0.50	0.81	0.10	0.10	1.00	0.10	0.10	1
50 km/h	0.72	0.63	0.88	0.21	0.31	1.48	0.10	0.10	1
60 km/h	0.82	0.75	0.91	0.43	0.58	1.35	0.10	0.10	1
70 km/h	0.91	0.88	0.97	0.65	0.80	1.23	0.10	0.10	1
80 km/h	1.00	1.00	1.00	1.00	1.00	1.00	0.10	0.10	1
90 km/h	1.09	1.13	1.04	1.21	1.13	0.93	0.10	0.10	1
100 km/h	1.17	1.25	1.07	1.30	1.25	0.96	0.10	0.10	1

Tabelle 7: Korrekturfaktoren für die Berücksichtigung der Streckenhöchstgeschwindigkeit im Screening 2023. Zum Vergleich sind auch die Werte aus dem Screening 2018 eingetragen, mitsamt dem Faktor für die relative Änderung.

Im Screening 2018 wurden die obigen Korrekturfaktoren für alle Stoffe des LS Chlor angewendet. Neu ist dies nur noch für UN 1017 der Fall.

5.5 Umrechnung von Gefahrgutmengen in volle Kesselwagen

In der folgenden Tabelle 8 ist die verwendete Umrechnung von Nettotonnen Gefahrgut in volle Kesselwagen dokumentiert und den bisher verwendeten Werten gegenübergestellt. Die neuen Werte beruhen auf umfangreichen Daten zum Inhalt von Kesselwagen aus dem Projekt BASE.

l aitata#	Nettotonnen pro vollem Kesselwagen				
Leitstoff	gemäss Screening 2018	für Screening 2023			
Benzin	60	62.1			
Propan	42	49.9			
Chlor	53	55.3			
Mineralölprodukte	60	62.1			
Epichlorhydin	40	58.1			
Perchlorethylen	50	47.5			

Tabelle 8: Vergleich der Umrechnung zwischen Nettotonnen und Anzahl vollen Kesselwagen.

5.6 Berechnung Störfallwerte für den Schadenindikator «verschmutzte unterirdische Gewässer»

Zum Zeitpunkt der Fertigstellung der für das Screening 2018 verwendeten Excel-Berechnungsdatei waren die aktuell gültigen Beurteilungskriterien [6] noch nicht veröffentlicht. Deshalb wurden im Screening 2018 die Beurteilungskriterien hinterlegt, die im Jahr 2010 in die Vernehmlassung (vgl. [7]) gegeben wurden. Die beiden Ansätze unterscheiden sich in der Art und Weise, wie aus der verschmutzen bzw. nicht mehr nutzbaren Grundwassermenge der Störfallwert ermittelt wird.

Im vorliegenden Screening 2023 wurde die Berechnung des Störfallwerts an die aktuell gültigen Beurteilungskriterien [6] angepasst. Im Einzelnen bedeutet dies Folgendes:

— Für Fassungen bzw. Fassungsbereiche (sowie Quellen / Quellbereiche) mit (kumulierter) Förderleistung ≥ 2'500 l/Min. wird der Störfallwert über den Ausfall der Trinkwasserförderung in Personenmonaten ermittelt (vgl. Anhang 3 in [6]):

$$St\ddot{o}rfallwert = 0.3(1 + \log(\frac{A}{10000}))$$

wobei A den Ausfall der Förderung sauberen Trinkwassers in Personenmonaten beschreibt.

A lässt sich wie folgt berechnen:

$$A = Verschmutzungsdauer [Mt.] * verschmutzte Förderleistung \left[\frac{l}{Min}\right] * 60 * 24 [Min./Tag] / 360 \left[\frac{l}{Tag * Pers.}\right]$$

Dabei wird gemäss [6] ein Verbrauch von 360 I Trinkwasser pro Person und Tag zugrunde gelegt. Die Verschmutzungsdauer wird gemäss der in [9] beschriebenen Methodik ermittelt, welche wiederum weitgehend auf [10] basiert (vgl. Anhang A3). Die verschmutzte Förderleistung entspricht dabei der kumulierten Förderleistung aller, von einer Freisetzung betroffenen Fassungen unter Berücksichtigung der Fliessrichtung des Grundwasserstroms [4].

— Gemäss Fussnote 13 in den aktuellen Beurteilungskriterien [6] behält das Ausschlusskriterium, wonach die Verschmutzung von Fassungs- bzw. Quellbereichen mit einer Förderleistung < 2'500 l/Min. keine schwere Schädigung darstellt, weiterhin Gültigkeit. Deshalb wird der Störfallwert auf 0 gesetzt, wenn die (kumulierte) Förderleistung < 2'500 l/Min. beträgt.</p>

6. Quellen

- [1] Bundesamt für Verkehr, Bundesamt für Umwelt, SBB AG, BLS AG, «Screening-Tool TgG3.0», Zugriff über https://www.screeningtggbahn.ch/TgG/login.
- [2] Bundesamt für Verkehr Aktualisierung Screening Personen- und Umweltrisiken 2018, Dokumentation Parameteraktualisierung, EBP Schweiz AG, 13. März 2020.
- [3] Bundesamt für Verkehr,
 Dokumentation Grundlagen Screening Personenrisiken Bahn 2011, Ernst Basler +
 Partner AG (heute: EBP Schweiz AG), Februar 2013.
- [4] Bundesamt für Verkehr Risiken beim Transport gefährlicher Güter mit der Bahn, Methodik zum netzweiten Screening der Umweltrisiken 2014, Ernst Basler + Partner AG (heute: EBP Schweiz AG), Mai 2015.
- [5] Wiemer S., Papadopoulos A., Roth P., Danciu L., Bergamo P., Fäh D., Duvernay B., Khodaverdian A., Lestuzzi P., Odabaşi Ö., Fagà E., Bazzuro P., Cauzzi C., Hammer C., Panzera F., Perron V., Marti M., Valenzuela N., Dallo I., Zaugg S., Fulda D., Kästli P., Schmid N., Haslinger F. (2023)

- Earthquake Risk Model of Switzerland (ERM-CH23), Swiss Seismological Service, ETH Zurich, Doi: https://doi.org/10.12686/a20, Version 4.1 (March 2023)
- [6] BAFU (Hrsg.) 2018: Beurteilungskriterien zur Störfallverordnung (StFV). Ein Modul des Handbuchs zur Störfallverordnung (StFV). Bundesamt für Umwelt, Bern. Umwelt-Vollzug Nr. 1807.
- [7] Bundesamt für Umwelt, Beurteilungskriterien zur Störfallverordnung, Vollzugshilfe für Betriebe, Verkehrswege und Rohrleitungsanlage, Konsultationsentwurf 02.07.2010.
- [8] BAFU, BAV, SBB, scienceindustries, VAP
 Quantifizierung der risikosenkenden Wirkung der Massnahmen gemäss Gemeinsamer
 Erklärung II, Emch + Berger AG, Version 1.3, 20. August 2020.
- [9] Bundesamt für Umwelt BAFU Quantifizierung des Nutzens von kostenintensiven Umweltmassnahmen für Bahnanlagen, Emch + Berger AG, Version 1.2, 15. April 2016.
- [10] Bundesamt für Verkehr Screening der Umweltrisiken, Bericht zur Methodik und Ergebnisse, Referenz/Aktenzeichen: 513.1/2007-05-21/3, Ernst Basler + Partner AG (heute: EBP Schweiz AG), 21. Mai 2008.

Al Zuordnung UN-Nummer zu den drei Leitstoffen (Personenrisiken)

Basierend auf den Stoffkategorien in BASE gehören neu die nachfolgend aufgelisteten Stoffe zu den drei Leitstoffen Benzin, Propan und Chlor. Nachfolgend die wichtigsten Änderungen:

- Zum Leitstoff Chlor gehören neu nur noch Stoffe, die unter Normalbedingungen (Temperatur 0°, Druck 1 bar) gasförmig sind (bisher wurden auch toxische Flüssigkeiten beim LS Chlor berücksichtigt).
- Stoffe mit Flammpunkt > 24°C wie Diesel, Heizöl oder Flugpetrol werden nicht mehr beim LS Benzin berücksichtigt (bisher war dies der Fall, wenn auch mit Gewichtungsfaktor <1).
 Folglich entfällt beim LS Benzin eine vom Stoff abhängige Gewichtung.
- Beim LS Chlor werden neu alle Stoffe mit Ausnahme von Chlor (UN 1017) mit einem Gewichtungsfaktor 0.1 versehen. Der Gewichtungsfaktor ist unverändert; er wurde bisher aber auch bei Stoffen wie SO₂ angewendet.²⁴

Bei den drei Leitstoffen zu den Umweltrisiken ergibt sich weder bei der Stoffzuordnung noch bei der Anwendung der Gewichtungsfaktoren (abhängig von der Wassergefährdungsklasse) eine Änderung, so dass auf diese nicht eingegangen wird.

Leitstoff Benzin (brennbare Flüssigkeiten)

UN-Nummer	Stoffname gemäss RID
1088	ACÉTAL
1089	ACÉTALDÉHYDE
1090	ACÉTONE
1091	HUILES D'ACÉTONE
1105	PENTANOLS
1106	AMYLAMINES
1107	CHLORURES D'AMYLE
1108	PENTÈNE-1 (n-AMYLENE)
1111	MERCAPTAN AMYLIQUE
1113	NITRITES D'AMYLE
1114	BENZÈNE
1120	BUTANOLS
1123	ACÉTATES DE BUTYLE
1125	n-BUTYLAMINE
1126	1-BROMOBUTANE
1127	CHLOROBUTANES
1128	FORMIATE DE n-BUTYLE
1129	BUTYRALDÉHYDE
1133	ADHÉSIFS contenant un liquide inflammable (pression de vapeur à 50 °C inférieure ou égale à 110 kPa)
1136	DISTILLATS DE GOUDRON DE HOUILLE, INFLAMMABLES
1139	SOLUTION D'ENROBAGE
1144	CROTONYLÈNE

²⁴ Die entsprechenden Stoffe werden im Vergleich zu Chlor (UN 1017) in deutlich kleineren Mengen transportiert, so dass dieser Unterschied zahlenmässig nicht ins Gewicht fällt.

UN-Nummer	Stoffname gemäss RID				
1145	CYCLOHEXANE				
1146	CYCLOPENTANE				
1148	DIACÉTONE-ALCOOL				
1150	DICHLORO-1,2 ÉTHYLÈNE				
1153	ÉTHER DIÉTHYLIQUE DE L'ÉTHYLÈNEGLYCOL				
1154	DIÉTHYLAMINE				
1155	ÉTHER DIÉTHYLIQUE (ÉTHER ÉTHYLIQUE)				
1156	DIÉTHYLCÉTONE				
1158	DIISOPROPYLAMINE				
1159	ÉTHER ISOPROPYLIQUE				
1160	DIMÉTHYLAMINE EN SOLUTION AQUEUSE				
1161	CARBONATE DE MÉTHYLE				
1162	DIMÉTHYLDICHLOROSILANE				
1164	SULFURE DE MÉTHYLE				
1165	DIOXANNE				
1166	DIOXOLANNE				
1167	ÉTHER VINYLIQUE STABILISÉ				
1170	ÉTHANOL (ALCOOL ÉTHYLIQUE) ou ÉTHANOL EN SOLUTION (ALCOOL ÉTHYLIQUE EN SOLUTION)				
1173	ACÉTATE D'ÉTHYLE				
1175	ÉTHYLBENZÈNE				
1176	BORATE D'ÉTHYLE				
1178	ALDÉHYDE ÉTHYL-2 BUTYRIQUE				
1179	ÉTHER ÉTHYLBUTYLIQUE				
1184	ETHYLENDICHLORID				
1190	FORMIATE D'ÉTHYLE				
1193	ÉTHYLMÉTHYLCÉTONE (MÉTHYLÉTHYLCÉTONE)				
1195	PROPIONATE D'ÉTHYLE				
1196	ÉTHYLTRICHLOROSILANE				
1197	EXTRAITS, LIQUIDES, pour aromatiser (pression de vapeur à 50 °C inférieure ou égale à 110 kPa)				
1201	HUILE DE FUSEL				
1203	ESSENCE				
1204	NITROGLYCÉRINE EN SOLUTION ALCOOLIQUE avec au plus 1% de nitroglycérine				
1206	HEPTANES				
1208	HEXANES				
1210	ENCRES D'IMPRIMERIE, inflammables ou MATIÈRES APPARENTÉES AUX ENCRES D'IMPRIMERIE				
1213	ACÉTATE D'ISOBUTYLE				
1214	ISOBUTYLAMINE				
1216	ISOOCTÈNES				
1218	ISOPRÈNE STABILISÉ				
1219	ISOPROPANOL (ALCOOL ISOPROPYLIQUE)				
1220	ACÉTATE D'ISOPROPYLE				
1221	ISOPROPYLAMINE				
1222	NITRATE D'ISOPROPYLE				
1224	CÉTONES LIQUIDES, N.S.A. (pression de vapeur à 50 °C inférieure ou égale à 110 kPa)				
1228	MERCAPTANS LIQUIDES INFLAMMABLES, TOXIQUES, N.S.A. ou MERCAPTANS EN MÉLANGE LI- QUIDE INFLAMMABLE, TOXIQUE, N.S.A.				
1230	METHANOL				
1231	ACÉTATE DE MÉTHYLE				
1234	MÉTHYLAL				
1235	MÉTHYLAMINE EN SOLUTION AQUEUSE				
1237	BUTYRATE DE MÉTHYLE				

UN-Nummer	Stoffname gemäss RID					
1243	FORMIATE DE MÉTHYLE					
1245	MÉTHYLISOBUTYLCÉTONE					
1246	MÉTHYLISOPROPENYLCÉTONE STABILISÉE					
1247	MÉTHACRYLATE DE MÉTHYLE MONOMÈRE STABILISÉ					
1248	PROPIONATE DE MÉTHYLE MONOMIÈRE STABILISE					
1249	MÉTHYLPROPYLCÉTONE					
1250	MÉTHYLTRICHLOROSILANE					
1261	NITROMÉTHANE					
1262	OCTANES					
1263	PEINTURES ou MATIÈRES APPARENTÉES AUX PEINTURES					
1265	PENTANES, liquides					
1266	PRODUITS POUR PARFUMERIE contenant des solvants inflammables (pression de vapeur à 50 °C inférieure ou égale à 110 kPa)					
1267	PÉTROLE BRUT (pression de vapeur à 50 °C inférieure ou égale à 110 kPa)					
1268	DISTILLATS DE PÉTROLE, N.S.A. ou PRODUITS PÉTROLIERS, N.S.A. (pression de vapeur à 50 °C inférieure ou égale à 110 kPa)					
1274	n-PROPANOL (ALCOOL PROPYLIQUE NORMAL)					
1275	ALDÉHYDE PROPIONIQUE					
1276	ACÉTATE DE n-PROPYLE					
1277	PROPYLAMINE					
1278	CHLORO-1 PROPANE					
1279	DICHLORO-1,2 PROPANE					
1280	OXYDE DE PROPYLÈNE					
1281	FORMIATES DE PROPYLE					
1282	PYRIDINE					
1286	HARZÖL (Dampfdruck bei 50 °C größer als					
1287	DISSOLUTION DE CAOUTCHOUC (pression de vapeur à 50 °C inférieure ou égale à 110 kPa)					
1288	HUILE DE SCHISTE					
1289	MÉTHYLATE DE SODIUM EN SOLUTION dans l'alcool					
1293	TEINTURES MÉDICINALES					
1294	TOLUÈNE					
1296	TRIÉTHYLAMINE					
1297	TRIMÉTHYLAMINE EN SOLUTION AQUEUSE contenant au plus 50% (masse) de triméthylamine					
1298	TRIMÉTHYLCHLOROSILANE					
1300	SUCCÉDANÉ D'ESSENCE DE TÉRÉBENTHINE					
1301	ACÉTATE DE VINYLE STABILISÉ					
1302	ÉTHER ÉTHYLVINYLIQUE STABILISÉ					
1303	CHLORURE DE VINYLIDÈNE STABILISÉ					
1304	ÉTHER ISOBUTYLVINYLIQUE STABILISÉ					
1305	VINYLTRICHLOROŞILANE					
1306	PRODUITS DE PRÉSERVATION DES BOIS, LIQUIDES (pression de vapeur à 50 °C inférieure ou égale à 110 kPa)					
1307	XYLÈNES					
1308	ZIRCONIUM EN SUSPENSION DANS UN LIQUIDE INFLAMMABLE (pression de vapeur à 50 °C inférieure ou égale à 110 kPa)					
1648	ACÉTONITRILE					
1717	CHLORURE D'ACÉTYLE					
1723	IODURE D'ALLYLE					
1815	CHLORURE DE PROPIONYLE					
1862	CROTONATE D'ÉTHYLE					
1865	NITRATE DE n-PROPYLE					
1866	RÉSINE EN SOLUTION, inflammable (pression de vapeur à 50 °C inférieure ou égale à 110 kPa)					
1891	ETHYLBROMID					

UN-Nummer	Stoffname gemäss RID					
1917	ACRYLATE D'ÉTHYLE STABILISÉ					
1919	ACRYLATE DE MÉTHYLE STABILISÉ					
1922	PYRROLIDINE					
1987	ALCOOLS, N.S.A. (pression de vapeur à 50 °C inférieure ou égale à 110 kPa)					
1989	ALDÉHYDES, N.S.A. (pression de vapeur à 50 °C inférieure ou égale à 110 kPa)					
1993	LIQUIDE INFLAMMABLE, N.S.A. (pression de vapeur à 50 °C inférieure ou égale à 110 kPa)					
1999	GOUDRONS LIQUIDES, y compris les liants routiers et les cut backs bitumineux (pression de vapeur à 50 °C inférieure ou égale à 110 kPa)					
2045	ISOBUTYRALDÉHYDE (ALDÉHYDE ISOBUTYRIQUE)					
2047	DICHLOROPROPÈNES					
2050	COMPOSÉS ISOMERIQUES DU DIISOBUTYLÈNE					
2056	TÉTRAHYDROFURANNE					
2057	TRIPROPYLÈNE					
2058	VALÉRALDÉHYDE					
2059	NITROCELLULOSE EN SOLUTION INFLAMMABLE					
2241	CYCLOHEPTANE					
2242	CYCLOHEPTÈNE					
2246	CYCLOPENTÈNE					
2251	BICYCLO [2.2.1] HEPTADIÈNE-2,5 STABILISÉ (NORBORNADIÈNE-2,5 STABILISÉ)					
2252	DIMÉTHOXY-1,2 ÉTHANE					
2256	CYCLOHEXÈNE					
2263	DIMÉTHYLCYCLOHEXANES					
2266	N,N-DIMÉTHYLPROPYLAMINE					
2270	ÉTHYLAMINE EN SOLUTION AQUEUSE contenant au moins 50% mais au maximum 70% (masse) d'éthylamine					
2277	MÉTHACRYLATE D'ÉTHYLE STABILISÉ					
2278	n-HEPTÈNE					
2284	ISOBUTYRONITRILE					
2287	ISOHEPTÈNES					
2288	ISOHEXÈNES					
2296	MÉTHYLCYCLOHEXANE					
2298	MÉTHYLCYCLOPENTANE					
2301	MÉTHYL-2 FURANNE					
2309	OCTADIÈNES					
2333	ALLYLACETAT					
2335	ÉTHER ALLYLÉTHYLIQUE					
2338	FLUORURE DE BENZYLIDYNE					
2339	BROMO-2 BUTANE					
2340	ÉTHER BROMO-2 ÉTHYLÉTHYLIQUE					
2342	BROMOMÉTHYLPROPANES					
2343	BROMO-2 PENTANE					
2344	BROMOPROPANES					
2345	BROMO-3 PROPYNE					
2346	BUTANEDIONE					
2347	MERCAPTAN BUTYLIQUE					
2350	ÉTHER BUTYLMÉTHYLIQUE					
2351	NITRITES DE BUTYLE					
2352	ÉTHER BUTYLVINYLIQUE STABILISÉ					
2353	CHLORURE DE BUTYRYLE					
2354	ÉTHER CHLORO-MÉTHYLÉTHYLIQUE					
2356	CHLORO-2 PROPANE					
2358	CYCLOOCTATÉTRAÈNE					

2359 DIALLYLAMINE 2360 ETHER DIALLYLIQUE 2362 DICHUROC, 1,1 ETHANE 2363 MERCAPTAN ÉTHYLIQUE 2370 MERCAPTAN ÉTHYLIQUE 2371 MEXÈNE-1 2371 SIOPENTÈNES 2372 BIS (DIMÉTHYL-VALÉRALDÉHYDE 2373 DIETHOXY-MÉTHANE 2374 DIETHOXY-3,3 PROPÈNE 2375 DIETHOXY-3,3 PROPÈNE 2376 DIHYDRO-2,3 PYRANNE 2377 DIMÉTHYLAMINO-1,1 ETHANE 2378 DIMÉTHYL-1,3 BUTYLAMINE 2379 DIMÉTHYL-1,3 BUTYLAMINE 2380 DIMÉTHYL-1,5 BUTYLAMINE 2381 DIMÉTHYL-1,5 BUTYLAMINE 2381 DIMÉTHYL-1,5 BUTYLAMINE 2383 DIPROPYLAMINE 2384 ÉTHER DIPROPYLIQUE 2385 ISOBUTYRATE DÉTHYLE 2386 ÉTHYL-1 PIPÉRIDINE 2387 FULOROBENZÈNE 2388 FLUOROBENZÈNE 2388 FLUOROBENZÈNE 2389 FURANNE 2389 FURANNE 2390 IODO-2 BUTANE 2391 IODO-2 BUTANE 2392 FORMATE DISOBUTYRYLE 2393 FORMATE DISOBUTYRYLE 2394 MÉTHYL-1 PIPÉRIDINE 2395 TORNAITE DISOBUTYRYLE 2396 MÉTHYL-1 PIPÉRIDINE 2391 IODO-2 BUTANE 2391 IODO-2 BUTANE 2392 FURANNE 2393 FORMATE DISOBUTYRYLE 2404 PROPANETHILIS BUTHALBISÉE 2409 MÉTHYL-1 PIPÉRIDINE 2410 ISOBUTYRATE DISOPROPÈNYLE 2400 ISOSUALERATE DE MÉTHYLE 2402 PROPANETHILIS 2404 PROPONITAIL 2405 ISOBUTYRATE DISOPROPÈNYLE 2406 ISOBUTYRATE DISOPROPÈNYLE 2411 BUTYRONITEIL 2412 TÉTRAHYPORDITEIL 2414 THIOPHÈNIE 2415 BUTYRONITEIL 2415 METHYL-2,3 BUTYRIDINE 2416 BORATE DE TRIMÉTHYLE 2416 BORATE DE TRIMÉTHYLE 2416 BORATE DE TRIMÉTHYLE 2417 DIMÉTHYL-2,3 BUTANDE 2418 METHYL-2,3 BUTANDE 2419 METHYL-2,3 BUTANDE 2419 METHYL-2,3 BUTANDE 2410 METHYL-2,3 BUTANDE 2411 BUTYRONITEIL 2411 BUTYRONITEIL 2412 TÉTRAHYPORTHIOPHÈNE 2414 THIOPHÈNE 2415 ACIDET HIOACÉTIQUE 2415 METHYL-2,3 BUTANDE 2426 METHYL-2,3 BUTANDE 2436 METHYL-2,3 BUTANDE 2437 METHYL-2,3 BUTANDE 2438 METHYL-2,3 BUTANDE 2440 METHYL-2,3 BUTANDE 2440 METHYL-2,3 BUTANDE 2450 METHYL-2,3 BUTANDE 2451 METHYL-2,3 BUTANDE 2452 METHYL-2,3 BUTANDE 2453 METHYL-2,3 BUTANDE 2454 METHYL-2,3 BUTANDE 2455 METHYL-2,3 BUTANDE 2456 METHYL-2,3 BUTANDE 2457 METHYL-2,3 BUTANDE 2458 METHYL-2,3 BUTANDE 2459 METHYL-2,3 BUTANDE 2450 METHYL-2,3 BUTANDE 2451 METHYL-2,3 BUTANDE 2452 METHYL-3 BUTENDE 2453 METHYL-3 BUTENDE 24540 METHYL-2,3 BUTANDE 24540 METHYL-2,3 BUTANDE 2454	UN-Nummer	Stoffname gemäss RID
2360 ÉTHER DIALLYLIQUE 2362 DICHLORO-1.1 ÉTHANE 2363 MERCAPTAN ÉTHYLIQUE 2367 alpha-MÉTHYL-VALÉRALDÉHYDE 2370 HEXÉNE-1 2371 ISOPENTÈNES 2372 BIS (DIMÉTHYL-MINO)-1,2 ÉTHANE 2373 DIÉTHOXYMÉTHANE 2374 DIÉTHOXYMÉTHANE 2375 SULFURE D'ÉTHYLE 2376 DIMÉTHYL-MINOACETODITRILE 2377 DIMÉTHOXY-1.1 ÉTHANE 2378 DIMÉTHYL-MINOACETODITRILE 2379 DIMÉTHYL-IS BUTYLAMINE 2379 DIMÉTHYL-IS BUTYLAMINE 2370 DIMÉTHYL-IS BUTYLAMINE 2371 DIMÉTHYL-IS BUTYLAMINE 2372 DIMÉTHYL-IS BUTYLAMINE 2373 DIMÉTHYL-IS BUTYLAMINE 2374 DIMÉTHYL-IS BUTYLAMINE 2375 DIMÉTHYL-IS BUTYLAMINE 2376 DIMÉTHYL-IS BUTYLAMINE 2377 DIMÉTHYL-IS BUTYLAMINE 2378 DIMÉTHYL-IS BUTYLAMINE 2379 DIMÉTHYL-IS BUTYLAMINE 2380 DIMÉTHYL-IS BUTYLAMINE 2381 DIMÉTHYL-IS BUTYLAMINE 2382 ÉTHER DI-P-PROPYL[QUE 2383 SOBUTYRATE D'ÉTHYLE 2384 ÉTHER DI-P-PROPYLIQUE 2385 FLUOROBENZÈNE 2386 FLUOROBENZÈNE 2387 FLUOROBENZÈNE 2388 FLUOROBENZÈNE 2389 FORMIATE D'ISOBUTYRYLE 2391 DIOMÉTHYL-IS DIOMETHYLE 2392 HOLORURE D'ISOBUTYRYLE 2393 HÉTHER MÉTHYL-IS-BUTYNUE 2394 MÉTHYL-IS BUTANONE-2 2395 MÉTHYL-IS BUTANONE-2 2396 MÉTHYL-IS BUTANONE-2 2403 ACETATE D'ISOBUTYRUE 2404 PROPIONITRIL 2404 PROPIONITRIL 2411 BUTYRONITRIL 2411 SIGUTYNATE D'ISOPROPYLE 2409 PROPONATE DISOPROPYLE 2410 TÉTRAHYDRO-1,2,3,5 PYRIDINE 2411 BUTYRONITRIL 2411 TÉTRAHYDRO-1,2,3,5 PYRIDINE 2411 BUTYRONITRIL 2412 TÉTRAHYDRO-1,2,3,5 PYRIDINE 24141 THIOPHÈNE 2414 THIOPHÈNE 2415 BUTYRO-1-1,2,3 BUTANE 2426 CHLORO-2 PROPÈNE 2436 MÉTHYL-2 BUTANE-1 2437 MÉTHYL-2 BUTANE-1 2438 MÉTHYL-2 BUTANE-1 2440 MÉTHYL-2 BUTANE-1 2450 MÉTHYL-2 BUTANE-1 2460 MÉTHYL-2 BUTANE-1 2460 MÉTHYL-2 BUTÉNE-1 2460 MÉTHYL-2 BUTÉNE-1	2359	
2362 DICHLORO-1,1 ÉTHANE		
2363 MERCAPTAN ÉTHYLIQUE 2370 alpha-MÉTHYL-VALÉRALDÉHYDE 2371 ISOPENTÉNES 2372 BIS (DIMÉTHYL-MALÉRALDÉHYDE 2373 ISOPENTÉNES 2373 BIS (DIMÉTHYLAMINO)-1,2 ÉTHANE 2374 DIÉTHOXYMÉTHANE 2375 DIÉTHOXYMÉTHANE 2376 DIÉTHOXYMÉTHANE 2377 DIMÉTHYLAMINOA-CETONITRILE 2378 DIMÉTHYL-I SUPTANNE 2379 DIMÉTHYL-I SUPTANNE 2379 DIMÉTHYL-I SUPTANNE 2379 DIMÉTHYL-I SUPTANNE 2370 DIMÉTHYL-I SUPTANNE 2370 DIMÉTHYL-I SUPTANNE 2371 DIMÉTHYL-I SUPTANNE 2371 DIMÉTHYL-I SUPTANNE 2372 DIMÉTHYL-I SUPTANNE 2373 DIMÉTHYL-I SUPTANNE 2374 DIMÉTHYL-I SUPTANNE 2375 DIMÉTHYL-I SUPTANNE 2376 DIMÉTHYL-I SUPTANNE 2377 DIMÉTHYL-I SUPTANNE 2378 DIMÉTHYL-I SUPTANNE 2379 DIMÉTHYL-I SUPTANNE 2381 ÉTHER DI-N-PROPYLIQUE 2383 ETHYL-I PIPÉRIDINE 2384 ÉTHER DI-N-PROPYLIQUE 2385 ISOBUTYRATE D'ÉTHYLE 2386 FLUOROBENZÉNE 2387 FLUOROBENZÉNE 2388 FLUOROTOLUÈNES 2389 FLUOROTOLUÈNES 2389 FLUOROTOLUÈNES 2389 FLUOROTOLUÈNES 2389 IODO-2 BUTANE 2391 IODO-2 BUTANE 2392 IODO-2 BUTANE 2393 IODO-2 BUTANE 2393 IODO-2 BUTANE 2394 MÉTHYL-AGROLEINE STABILISÉE 2395 CHLORURE DISOBUTYRYLE 2396 MÉTHYL-AGROLEINE STABILISÉE 2397 MÉTHYL-1 PIPÉRIDINE 2400 ISOSUALÉRATE DISOPROPÈNUE 2400 PROPIONATE DISOPROPPUE 2401 TÉTRAHYPORO-1-2, 3,6 PYRIDINE 2410 ISOBUTYRATE DISOPROPPUE 2411 BUTYRONITRIL 2412 TÉTRAHYPORO-1-2, 3,6 PYRIDINE 2414 BUTYRONITRIL 2414 TÉTRAHYPORO-1-2, 3,6 PYRIDINE 2415 BORATE DE TRIMÉTHYLE 2416 BORATE DE TRIMÉTHYLE 2416 BORATE DE TRIMÉTHYLE 2417 DIMÉTHYL-2,3 BUTANE 2428 HEXADIENES 2439 MÉTHYL-2,3 BUTENE-1 2440 MÉTHYL-2 BUTÉNE-1 2450 MÉTHYL-2 BUTÉNE-2		
2370 HEXENE-1 2371 IESOPENTENES 2372 BIS (DIMÉTHYLAMINO)-1,2 ÉTHANE 2373 DIÉTHOXY-3,3 PROPÈNE 2374 DIÉTHOXY-3,3 PROPÈNE 2375 SULFURE DÉTHYLE 2376 DIHYDRO-2,3 PYRANNE 2377 DIMÉTHOXY-1,1 ÉTHANE 2378 DIMÉTHYL-1,3 BUTYLAMINE 2379 DIMÉTHYL-1,3 BUTYLAMINE 2379 DIMÉTHYL-1,3 BUTYLAMINE 2380 DIMÉTHYL-1,3 BUTYLAMINE 2381 DIMÉTHYL-1,3 BUTYLAMINE 2383 DIPROPYLAMINE 2384 ÉTHER DIH-PROPYLIQUE 2385 ISOBUTYRATE DÉTHYLE 2386 ÉTHYL-1 PIPÉRIDINE 2387 FLUOROBENZÈNE 2388 FURANNE 2389 FURANNE 2389 FURANNE 2389 FURANNE 2389 FORMATE DISOBUTYRE 2391 DOMÉTHYLORED SUTYNE 2393 FORMATE DISOBUTYRYLE 2395 CHLORUE DISOBUTYRYLE 2396 MÉTHYL-1,3 BUTANONE-2 2397 MÉTHYL-1 SUTANDISÉE 2397 MÉTHYL-1 SUTANDISÉE 2398 ÉTHER MÉTHYL INFRUINE 2399 MÉTHYL-1,4 PIPÉRIDINE 2399 MÉTHYL-1,4 PIPÉRIDINE 2390 MÉTHYL-1,4 PIPÉRIDINE 2400 ISOVALÉRATE DE MÉTHYLE 2401 PROPARETHOLS 2402 PROPARETHOLS 2403 ACÉTATE DISOPROPYLE 2404 PROPOINTIRIL 2404 PROPOINTIRIL 2405 PROPARETHOLS 2406 ISOBUTYRATE DISOPROPYLE 2407 PROPARETHOLS 2408 PROPOINTIRIL 2410 TÉTRAHYDRO-1,2,3,6 PYRIDINE 2411 BUTYRONITRIL 2411 BUTYRONITRIL 2412 TÉTRAHYDRO-1,2,3,6 PYRIDINE 2413 BUTYRONITRIL 2414 TÉTRAHYDROTHIOPHÈNE 2415 DIMÉTHYL-2,3 BUTANE 2459 MÉTHYL-2,3 BUTANE 2460 MÉTHYL-2,3 BUTÈNE-2		·
2370 HEXÈNE-1 2371 ISOPENTÈNES 2372 BIS (DIMÉTHYLAMINO)-1,2 ÉTHANE 2373 DIÉTHOXY-3,3 PROPÈNE 2374 DIÉTHOXY-3,3 PROPÈNE 2375 DIÉTHOXY-3,3 PROPÈNE 2376 DIHYDRO-2,3 PYRANNE 2377 DIMÉTHOXY-1,1 ÉTHANE 2378 DIMÉTHYLAMINOAGÉTONITRILE 2379 DIMÉTHYL-1,3 BUTYLAMINE 2380 DIMÉTHYL-1,3 BUTYLAMINE 2380 DIMÉTHYL-1,3 BUTYLAMINE 2381 DIMÉTHYLDIÉTHOXY-SILANE 2383 DIPROPYLAMINE 2384 ÉTHER DI-A-PROPYLIQUE 2385 ISOBUTYRATE DÉTHYLE 2386 ÉTHYL-1 PIPÉRIDINE 2387 FLUOROBENZÈNE 2388 FLUOROBENZÈNE 2389 FURANNE 2399 IODO-2 BUTANE 2399 IODO-2 BUTANE 2391 IODOMÉTHYL-PROPANES 2393 FORMATE DISOBUTYRE 2395 CHLORUE DISOBUTYRE 2396 MÉTHYL-1 PIPÉRIDINE 2397 MÉTHYL-1 PIPÉRIDINE 2398 ÉTHER MÉTHYL IER-BUTYLIQUE 2399 MÉTHYL-1 PIPÉRIDINE 2399 MÉTHYL-1 PIPÉRIDINE 2400 ISOVALÉRATE DE MÉTHYLE 2402 PROPANETHILE 2404 PROPIONITRIL 2405 ISOBUTYRATE DE MÉTHYLE 2410 ISOBUTYRATE DE MÉTHYLE 2411 BUTYRONITRIL 2412 TÉTRAHYDRO-1,2,3,6 PYRIDINE 2411 BUTYRONITRIL 2414 TÉTRAHYDRO-1,2,3,6 PYRIDINE 2415 BORATE DI SOPROPYLE 2416 BORATE DE TRIMÉTHYLE 2416 BORATE DE TRIMÉTHYLE 2417 TÉTRAHYDRO-1,2,3,6 PYRIDINE 2418 BORATE DE TRIMÉTHYLE 2419 TÉTRAHYDRO-1,2,3,6 PYRIDINE 2410 MÉTHYL-2,3 BUTANE 2450 MÉTHYL-2 BUTÈNE-2 2460 MÉTHYL-2 BUTÈNE-2		· · · · · · · · · · · · · · · · · · ·
2371 ISOPENTÈNES 2372 BIS (DIMÉTHYLAMINO)-1,2 ÉTHANE 2373 DIÉTHOXYMÉTHANE 2374 DIÉTHOXYMÉTHANE 2375 SULFURE D'ÉTHYLE 2376 DIHYDRO-2,3 PYRANNE 2377 DIMÉTHOXY-1,1 ÉTHANE 2378 DIMÉTHYLAMINOACÉTONITRILE 2379 DIMÉTHYL-1,3 BUTYLAMINE 2379 DIMÉTHYL-1,3 BUTYLAMINE 2380 DIMÉTHYL-1,13 BUTYLAMINE 2381 DIMÉTHYL-1,13 BUTYLAMINE 2383 DIPROPYLAMINE 2384 ÉTHER DI-A-PROPYLIQUE 2385 ISOBUTYRATE D'ÉTHYLE 2386 ÉTHYL-1 PIPÉRIDINE 2387 FLUOROBENZÈNE 2388 FLUOROTOLUÈNES 2389 FURANNE 2399 IODO-2 BUTANE 2390 IODO-2 BUTANE 2391 IODO-2 BUTANE 2391 IODO-2 BUTANE 2392 CHLORUE DISOBUTYLE 2395 CHLORUE DISOBUTYLE 2396 ÉTHYL-1 SUTANONE-2 2397 MÉTHYL-3 BUTANONE-2 2398 ÉTHER DI-A-PROPYLIQUE 2400 ISOVALÉRATE D'ÉSOBUTYLE 2400 ISOVALÉRATE DE MÉTHYLE 2401 ISOVALÉRATE DE MÉTHYLE 2402 PROPANETHIOLS 2403 ACÉTATE DISOPROPPULE 2404 PROPIONITRIL 2405 PROPIONITRIL 2406 ISOBUTYRATE D'ISOPROPPULE 2407 PROPIONITRIL 2416 BUTYRONITRIL 2417 TÉTRAHYDROTHIOPHÈNE 2418 BUTYRONITRIL 2419 BORATE DE SIGNEPOPPULE 2410 TÉTRAHYDROTHIOPHÈNE 2411 BUTYRONITRIL 2412 TÉTRAHYDROTHIOPHÈNE 2414 THIOPHÈNE 2415 BORATE DE TRIMÉTHYLE 2416 BORATE DE TRIMÉTHYLE 2416 BORATE DE TRIMÉTHYLE 2417 DIMÉTHYL-2,3 BUTANE 2418 MÉTHYL-2,3 BUTANE 2419 MÉTHYL-2,3 BUTANE 2419 MÉTHYL-2,3 BUTANE 2419 MÉTHYL-2 BUTÈNE-2		'
2372 BIS (DIMÉTHYLAMINO)-1,2 ÉTHANE 2373 DIÉTHOXYMÉTHANE 2374 DIÉTHOXY-3,3 PROPÈNE 2375 SULFURE DÉTHYLE 2376 DIMÉTHOXY-1,1 ÉTHANE 2377 DIMÉTHOXY-1,1 ÉTHANE 2378 DIMÉTHYL-1,3 BUTYLAMINE 2379 DIMÉTHYL-1,3 BUTYLAMINE 2379 DIMÉTHYL-1,3 BUTYLAMINE 2380 DIMÉTHYLDIÉTHOXYSILANE 2381 DIMÉTHYLDISULFID 2383 DIPROPYLAMINE 2384 ÉTHER DI-N-PROPYLIQUE 2385 ISOBUTYRATE DÉTHYLE 2386 ÉTHYL-1 PIPÉRIDINE 2387 FLUOROTOLUÈNES 2388 ÉTHYL-1 PIPÉRIDINE 2389 FURANNE 2389 FURANNE 2390 IODO-2 BUTANE 2391 IODOMÉTHYLEROPANES 2393 FORMATE DISOBUTYRYLE 2394 MÉTHYL-3 BUTANONE-2 2395 CHLORUE DISOBUTYRYLE 2396 MÉTHYL-1 PIPÉRIDINE 2397 MÉTHYL-1 BUTANONE-2 2398 ÉTHER MÉTHYL IER-BUTYLIQUE 2399 MÉTHYL-1 PIPÉRIDINE 2400 ISOVALERATE DE MÉTHYLE 2402 PROPANETHOLS 2404 ACÉTATE DISOPROPYLE 2404 PROPIONITRIL 2405 PROPIONATE DISOPROPPULE 2406 ISOBUTYRATE DISOPROPPULE 2407 PROPIONATE DISOPROPPULE 2408 ISOBUTYRATE DISOPROPPULE 2410 TÉTRAHYDROT-1,2,3,6 PYRIDINE 2411 BUTYRONITRIL 2412 TÉTRAHYDROT-1,2,3,6 PYRIDINE 2415 BORATE DE TRIMÉTHYLE 2416 BORATE DE TRIMÉTHYLE 2416 BORATE DE TRIMÉTHYLE 2417 TÉTRAHYDROTHIOPHÈNE 2418 METHYL-2,3 BUTANE 2459 MÉTHYL-2 BUTÈNE-2 2460 MÉTHYL-2 BUTÈNE-2		
2373 DIÉTHOXYMÉTHANE 2374 DIÉTHOXY-3,3 PROPÈNE 2375 SULFURE D'ÉTHYLE 2376 DIHYDRO-2,3 PYRANNE 2377 DIMÉTHOXY-1,1 ÉTHANE 2378 DIMÉTHYLAMINOACÉTONITRILE 2379 DIMÉTHYL-1,3 BUTYLAMINE 2380 DIMÉTHYLDIÉTHOXYSILANE 2381 DIMETHYLDIÉTHOXYSILANE 2383 DIPROPYLAMINE 2384 ÉTHER DI-1-PROPYLIQUE 2385 ISOBUTYRATE D'ÉTHYLE 2386 ÉTHYL-1 PIPERIDINE 2387 FLUOROBENZÈNE 2388 FLUOROTOLUÈNES 2389 FURANNE 2390 IODO-2 BUTANE 2391 IODO-2 BUTANE 2391 IODO-2 BUTANE 2392 FORMATE D'ÉSOBUTYR-LE 2396 MÉTHYL-3 BUTANOME-2 2397 MÉTHYL-3 BUTANOME-2 2398 ÉTHER MÉTHYL INT-BUTYLIQUE 2399 MÉTHYL-1 PIPÉRIDINE 2399 ÉTHER MÉTHYL INT-BUTYLIQUE 2399 MÉTHYL-1 PIPÉRIDINE 2400 ISOVALÉRATE DE MÉTHYLE 2401 ISOVALÉRATE DE MÉTHYLE 2402 PROPANETHOLS 2403 ACÉTATE DISOPROPÈNUE 2404 PROPIONITRIL 2405 ISOBUTYRATE D'SOPROPYLE 2406 ISOBUTYRATE D'SOPROPYLE 2407 PROPANETHOLS 2410 TÉTRAHYDRO-1,2,3,6 PYRIDINE 2411 BUTYRONITRIL 2411 ETTRAHYDRO-1,2,3,6 PYRIDINE 2412 TÉTRAHYDRO-1,2,3,6 PYRIDINE 2413 BORATE DE RÉTHYLE 2414 THIOPHÈNE 2415 BORATE DE TRIMÉTHYLE 2416 BORATE DE TRIMÉTHYLE 2417 THIOPHÈNE 2418 BORATE DE TRIMÉTHYLE 2428 HEXADIÈNES 2459 MÉTHYL-2 BUTÈNE-2 2459 MÉTHYL-2 BUTÈNE-2		
2375 SULFURE D'ÉTHYLE 2376		· · · · · · · · · · · · · · · · · · ·
2375 SULFURE D'ÉTHYLE 2376		
2376 DIHYDRO-2,3 PYRANNE 2377 DIMÉTHOXY-1,1 ÉTHANE 2378 DIMÉTHYLAMINOACÉTONITRILE 2379 DIMÉTHYL-1,3 BUTYLAMINE 2380 DIMÉTHYL-1,3 BUTYLAMINE 2381 DIMÉTHYLDIÉTHOXYSILANE 2383 DIPROPYLAMINE 2384 ÉTHER DI-P-PROPYLIQUE 2385 ISOBUTYRATE DÉTHYLE 2386 ÉTHYL-1 PIPÉRIDINE 2387 FLUOROBENZÈNE 2388 FLUOROTOLUÈNES 2389 FURANNE 2390 IODO-2 BUTANE 2391 IODOMÉTHYLPROPANES 2393 FORMIATE DISOBUTYRUE 2395 CHLORURE DISOBUTYRUE 2396 MÉTHYLACROLÉINE STABILISÉE 2397 MÉTHYL-3 BUTANONE-2 2398 ÉTHER MÉTHYL LEIT-BUTYLIQUE 2399 MÉTHYL-1 PIPÉRIDINE 2400 ROVALEARTE DE MÉTHYLE 2402 PROPANETHIOLS 2403 ACÉTATE DISOPROPÈNUE 2404 PROPIONITRIL 2405 PROPIONATE DISOPROPYLE 2410 TÉTRAHYORO-1,2,3,6 PYRIDINE 2411 BUTYRONITRIL 2412 TÉTRAHYORO-1,2,3,6 PYRIDINE 2416 BORATE DE TRIMÉTHYLE 2417 TÉTRAHYOROTHIOPHÈNE 2418 HICHOROLE 2456 CHLORO-2 PROPÈNE 2457 DIMÉTHYL-2 BUTÈNE-2 2458 MÉTHYL-2 BUTÈNE-2 2460 MÉTHYL-2 BUTÈNE-2	_	
2377 DIMÉTHOXY-1,1 ÉTHANE 2378 DIMÉTHYLAMINOACÉTONITRILE 2379 DIMÉTHYL-I,3 BUTYLAMINE 2380 DIMÉTHYL-DIÉTHOXYSILANE 2381 DIMETHYLDIÉTHOXYSILANE 2381 DIMETHYLDISULFID 2383 DIPROPYLAMINE 2384 ÉTHER DI-n-PROPYLIQUE 2385 ISOBUTYRATE D'ÉTHYLE 2386 ÉTHYL-1 PIPÉRIDINE 2387 FLUOROBENZÈNE 2388 FLUOROBENZÈNE 2389 FURANNE 2390 IODO-2 BUTANE 2390 IODO-2 BUTANE 2391 IODOMÉTHYLEROPANES 2393 FORMIATE D'ISOBUTYLE 2395 CHLORURE DISOBUTYRVE 2396 MÉTHYL-3 BUTANONE-2 2397 MÉTHYL-3 BUTANONE-2 2398 ÉTHER MÉTHYL Iert-BUTYLIQUE 2399 MÉTHYL-1 PIPÉRIDINE 2400 ISOVALÉRATE DE MÉTHYLE 2402 PROPANETHIOLS 2403 ACÉTATE D'ISOPROPÝLE 2404 PROPIONITRIL 2406 ISOBUTYRATE D'ISOPROPÝLE 2410 TÉTRAHYDROT-1,2,3,6 PYRIDINE 2411 BUTYRONITRIL 2412 TÉTRAHYDROT-1,0 JA,6 PYRIDINE 2416 BORATE DE RIMÉTHYLE 2417 TÉTRAHYDROT-1,2,3,6 PYRIDINE 2418 ACIDE THIOACÉTIQUE 2456 CHLORO-2 PROPÈNE 2457 DIMÉTHYL-2 BUTÈNE-2 2460 MÉTHYL-2 BUTÈNE-2		
2378 DIMÉTHYLAMINOACÉTONITRILE		
2379 DIMÉTHYL-1,3 BUTYLAMINE		·
2380 DIMÉTHYLDIÉTHOXYSILANE		
2381 DIMETHYLDISULFID		·
2383 DIPROPYLAMINE		
2384 ÉTHER DI-II-PROPYLIQUE 2385 ISOBUTYRATE DÉTHYLE 2386 ÉTHYL-I PIPÉRIDINE 2387 FLUOROBENZÉNE 2388 FLUOROTOLUÈNES 2389 FURANNE 2390 IODO-2 BUTANE 2391 IODOMÉTHYLPROPANES 2393 FORMIATE DISOBUTYLE 2393 FORMIATE DISOBUTYRUE 2396 MÉTHYL-GROLÉINE STABILISÉE 2397 MÉTHYL-3 BUTANONE-2 2398 ÉTHER MÉTHYL LeIT-BUTYLIQUE 2399 MÉTHYL-1 PIPÉRIDINE 2400 ISOVALÉRATE DE MÉTHYLE 2401 ISOVALÉRATE DISOPROPÉNYLE 2402 PROPANETHIOLS 2403 ACÉTATE DISOPROPÉNYLE 2404 PROPIONITRIL 2406 ISOBUTYRATE DISOPROPYLE 2407 PROPIONATE DISOPROPYLE 2410 TÉTRAHYDRO-1,2,3,6 PYRIDINE 2411 BUTYRONITRIL 2412 TÉTRAHYDRO-1,2,3,6 PYRIDINE 2413 ACIDE THIOACÉTIQUE 2416 BORATE DE TRIMÉTHYLE		-
2385 ISOBUTYRATE D'ÉTHYLE 2386		ÉTHER DI-n-PROPYLIQUE
2386 ÉTHYL-1 PIPÉRIDINE 2387 FLUOROBENZÈNE 2388 FLUOROTOLUÈNES 2389 FURANNE 2390 IODO-2 BUTANE 2391 IODO-2 BUTANE 2391 IODOMÉTHYLPROPANES 2392 FORMATE DISOBUTYLE 2395 CHLORURE D'ISOBUTYLE 2396 MÉTHYL-3 BUTANONE-2 2397 MÉTHYL-3 BUTANONE-2 2398 ÉTHER MÉTHYL tert-BUTYLIQUE 2399 MÉTHYL-1 PIPÉRIDINE 2400 ISOVALÉRATE DE MÉTHYLE 2402 PROPANETHIOLS 2403 ACÉTATE D'ISOPROPÉNYLE 2404 PROPIONITRIL 2406 ISOBUTYRATE D'ISOPROPYLE 2409 PROPIONATE D'ISOPROPYLE 2410 TÉTRAHYDRO-1,2,3,6 PYRIDINE 2411 BUTYRONITRIL 2412 TÉTRAHYDROTHIOPHÈNE 2414 THIOPHÈNE 2414 THIOPHÈNE 2416 BORATE DE TRIMÉTHYLE 2436 ACIDE THIOACÉTIQUE 2456 CHLORO-2 PROPÈNE 2457 DIMÉTHYL-2 BUTÀNE 2459 MÉTHYL-2 BUTÈNE-2 2459 MÉTHYL-2 BUTÈNE-1 2460 MÉTHYL-2 BUTÈNE-2		ISOBUTYRATE D'ÉTHYLE
2388 FLUOROTOLUÈNES 2389 FURANNE 2390 IODO-2 BUTANE 2391 IODOMÉTHYLPROPANES 2393 FORMIATE D'ISOBUTYLE 2395 CHLORURE D'ISOBUTYLE 2396 MÉTHYL-3 BUTANONE-2 2398 ÉTHER MÉTHYL-3 BUTANONE-2 2398 ÉTHER MÉTHYL-1 PIPÉRIDINE 2400 ISOVALÉRATE DE MÉTHYLE 2402 PROPANETHIOLS 2403 ACÉTATE D'ISOPROPÈNYLE 2404 PROPIONITRIL 2406 ISOBUTYRATE D'ISOPROPYLE 2409 PROPIONATE D'ISOPROPYLE 2410 TÉTRAHYDRO-1,2,3,6 PYRIDINE 2411 BUTYRONITRIL 2412 TÉTRAHYDRO-THOPHÈNE 2414 THIOPHÈNE 2414 THIOPHÈNE 2416 BORATE DE TRIMÉTHYLE 2426 C'HLORO-2 PROPÈNE 2436 ACIDE THIOACÉTIQUE 2456 CHLORO-2 PROPÈNE 2457 DIMÉTHYL-2 BUTÈNE-1 2458 HEXADIÈNES 2459 MÉTHYL-2 BUTÈNE-1	-	ÉTHYL-1 PIPÉRIDINE
2388 FLUOROTOLUÈNES 2389 FURANNE 2390 IODO-2 BUTANE 2391 IODOMÉTHYLPROPANES 2393 FORMIATE D'ISOBUTYLE 2395 CHLORURE D'ISOBUTYLE 2396 MÉTHYL-3 BUTANONE-2 2398 ÉTHER MÉTHYL-3 BUTANONE-2 2398 ÉTHER MÉTHYL-1 PIPÉRIDINE 2400 ISOVALÉRATE DE MÉTHYLE 2402 PROPANETHIOLS 2403 ACÉTATE D'ISOPROPÈNYLE 2404 PROPIONITRIL 2406 ISOBUTYRATE D'ISOPROPYLE 2409 PROPIONATE D'ISOPROPYLE 2410 TÉTRAHYDRO-1,2,3,6 PYRIDINE 2411 BUTYRONITRIL 2412 TÉTRAHYDRO-THOPHÈNE 2414 THIOPHÈNE 2414 THIOPHÈNE 2416 BORATE DE TRIMÉTHYLE 2426 C'HLORO-2 PROPÈNE 2436 ACIDE THIOACÉTIQUE 2456 CHLORO-2 PROPÈNE 2457 DIMÉTHYL-2 BUTÈNE-1 2458 HEXADIÈNES 2459 MÉTHYL-2 BUTÈNE-1	2387	FLUOROBENZÈNE
2390 IODO-2 BUTANE		
2390 IODO-2 BUTANE	2389	FURANNE
2391 IODOMÉTHYLPROPANES 2393 FORMIATE D'ISOBUTYLE 2395 CHLORURE D'ISOBUTYRYLE 2396 MÉTHYLACROLÉINE STABILISÉE 2397 MÉTHYL-3 BUTANONE-2 2398 ÉTHER MÉTHYL tert-BUTYLIQUE 2399 MÉTHYL-1 PIPÉRIDINE 2400 ISOVALÉRATE DE MÉTHYLE 2401 PROPANETHIOLS 2402 PROPANETHIOLS 2403 ACÉTATE D'ISOPROPÝNE 2404 PROPIONITRIL 2405 ISOBUTYRATE D'ISOPROPYLE 2409 PROPIONATE D'ISOPROPYLE 2410 TÉTRAHYDRO-1,2,3,6 PYRIDINE 2411 BUTYRONITRIL 2412 TÉTRAHYDROTHIOPHÈNE 2414 THIOPHÈNE 2414 THIOPHÈNE 2416 BORATE DE TRIMÉTHYLE 2436 ACIDE THIOACÉTIQUE 2457 DIMÉTHYL-2,3 BUTANE 2458 HEXADIÈNES 2459 MÉTHYL-2 BUTÈNE-1 MÉTHYL-2 BUTÈNE-2		IODO-2 BUTANE
2393 FORMIATE D'ISOBUTYLE 2395 CHLORURE D'ISOBUTYRYLE 2396 MÉTHYLACROLÉINE STABILISÉE 2397 MÉTHYL-3 BUTANONE-2 2398 ÉTHER MÉTHYL tert-BUTYLIQUE 2399 MÉTHYL-1 PIPÉRIDINE 2400 ISOVALÉRATE DE MÉTHYLE 2402 PROPANETHIOLS 2403 ACÉTATE D'ISOPROPÉNYLE 2404 PROPIONITRIL 2406 ISOBUTYRATE D'ISOPROPYLE 2409 PROPIONATE D'ISOPROPYLE 2410 TÉTRAHYDRO-1,2,3,6 PYRIDINE 2411 BUTYRONITRIL 2412 TÉTRAHYDRO-1,2,3,6 PYRIDINE 2411 BUTYRONITRIL 2412 TÉTRAHYDRO-HIOPHÈNE 2414 THIOPHÈNE 2414 THIOPHÈNE 2416 BORATE DE TRIMÉTHYLE 2436 ACIDE THIOACÉTIQUE 2457 DIMÉTHYL-2,3 BUTANE 2458 HEXADIÈNES 2459 MÉTHYL-2 BUTÈNE-1 2460 MÉTHYL-2 BUTÈNE-2		IODOMÉTHYLPROPANES
2395 CHLORURE D'ISOBUTYRYLE 2396 MÉTHYLACROLÉINE STABILISÉE 2397 MÉTHYL-3 BUTANONE-2 2398 ÉTHER MÉTHYL tert-BUTYLIQUE 2399 MÉTHYL-1 PIPÉRIDINE 2400 ISOVALÉRATE DE MÉTHYLE 2402 PROPANETHIOLS 2403 ACÉTATE D'ISOPROPÉNYLE 2404 PROPIONITRIL 2405 ISOBUTYRATE D'ISOPROPYLE 2409 PROPIONATE D'ISOPROPYLE 2410 TÉTRAHYDRO-1,2,3,6 PYRIDINE 2411 BUTYRONITRIL 2412 TÉTRAHYDROTHIOPHÈNE 2414 THIOPHÈNE 2414 THIOPHÈNE 2416 BORATE DE TRIMÉTHYLE 2436 ACIDE THIOACÉTIQUE 2456 CHLORO-2 PROPÈNE 2457 DIMÉTHYL-2,3 BUTANE 2458 HEXADIÈNES 2459 MÉTHYL-2 BUTÈNE-1 2460 MÉTHYL-2 BUTÈNE-2	2393	FORMIATE D'ISOBUTYLE
2397 MÉTHYL-3 BUTANONE-2 2398 ÉTHER MÉTHYL tert-BUTYLIQUE 2399 MÉTHYL-1 PIPÉRIDINE 2400 ISOVALÉRATE DE MÉTHYLE 2402 PROPANETHIOLS 2403 ACÉTATE D'ISOPROPÉNYLE 2404 PROPIONITRIL 2406 ISOBUTYRATE D'ISOPROPYLE 2409 PROPIONATE D'ISOPROPYLE 2410 TÉTRAHYDRO-1,2,3,6 PYRIDINE 2411 BUTYRONITRIL 2412 TÉTRAHYDROTHIOPHÈNE 2414 THIOPHÈNE 2414 THIOPHÈNE 2416 BORATE DE TRIMÉTHYLE 2436 ACIDE THIOACÉTIQUE 2456 CHLORO-2 PROPÈNE 2457 DIMÉTHYL-2,3 BUTANE 2458 HEXADIÈNES 2459 MÉTHYL-2 BUTÈNE-1 2460 MÉTHYL-2 BUTÈNE-2		CHLORURE D'ISOBUTYRYLE
2398 ÉTHER MÉTHYL tert-BUTYLIQUE 2399 MÉTHYL-1 PIPÉRIDINE 2400 ISOVALÉRATE DE MÉTHYLE 2402 PROPANETHIOLS 2403 ACÉTATE D'ISOPROPÉNYLE 2404 PROPIONITRIL 2406 ISOBUTYRATE D'ISOPROPYLE 2409 PROPIONATE D'ISOPROPYLE 2410 TÉTRAHYDRO-1,2,3,6 PYRIDINE 2411 BUTYRONITRIL 2412 TÉTRAHYDROTHIOPHÈNE 2414 THIOPHÈNE 2416 BORATE DE TRIMÉTHYLE 2436 ACIDE THIOACÉTIQUE 2456 CHLORO-2 PROPÈNE 2457 DIMÉTHYL-2,3 BUTANE 2458 HEXADIÈNES 2459 MÉTHYL-2 BUTÈNE-1 2460 MÉTHYL-2 BUTÈNE-2	2396	MÉTHYLACROLÉINE STABILISÉE
2399 MÉTHYL-1 PIPÉRIDINE 2400 ISOVALÉRATE DE MÉTHYLE 2402 PROPANETHIOLS 2403 ACÉTATE D'ISOPROPÉNYLE 2404 PROPIONITRIL 2406 ISOBUTYRATE D'ISOPROPYLE 2409 PROPIONATE D'ISOPROPYLE 2410 TÉTRAHYDRO-1,2,3,6 PYRIDINE 2411 BUTYRONITRIL 2412 TÉTRAHYDROTHIOPHÈNE 2414 THIOPHÈNE 2414 THIOPHÈNE 2416 BORATE DE TRIMÉTHYLE 2436 ACIDE THIOACÉTIQUE 2456 CHLORO-2 PROPÈNE 2457 DIMÉTHYL-2,3 BUTANE 2458 HEXADIÈNES 2459 MÉTHYL-2 BUTÈNE-1 2460 MÉTHYL-2 BUTÈNE-2	2397	MÉTHYL-3 BUTANONE-2
2400 ISOVALÉRATE DE MÉTHYLE 2402 PROPANETHIOLS 2403 ACÉTATE D'ISOPROPÉNYLE 2404 PROPIONITRIL 2406 ISOBUTYRATE D'ISOPROPYLE 2409 PROPIONATE D'ISOPROPYLE 2410 TÉTRAHYDRO-1,2,3,6 PYRIDINE 2411 BUTYRONITRIL 2412 TÉTRAHYDROTHIOPHÈNE 2414 THIOPHÈNE 2414 THIOPHÈNE 2416 BORATE DE TRIMÉTHYLE 2436 ACIDE THIOACÉTIQUE 2456 CHLORO-2 PROPÈNE 2457 DIMÉTHYL-2,3 BUTANE 2458 HEXADIÈNES 2459 MÉTHYL-2 BUTÈNE-1 2460 MÉTHYL-2 BUTÈNE-2	2398	ÉTHER MÉTHYL tert-BUTYLIQUE
2402 PROPANETHIOLS 2403 ACÉTATE D'ISOPROPÉNYLE 2404 PROPIONITRIL 2406 ISOBUTYRATE D'ISOPROPYLE 2409 PROPIONATE D'ISOPROPYLE 2410 TÉTRAHYDRO-1,2,3,6 PYRIDINE 2411 BUTYRONITRIL 2412 TÉTRAHYDROTHIOPHÈNE 2414 THIOPHÈNE 2416 BORATE DE TRIMÉTHYLE 2436 ACIDE THIOACÉTIQUE 2456 CHLORO-2 PROPÈNE 2457 DIMÉTHYL-2,3 BUTANE 2458 HEXADIÈNES 2459 MÉTHYL-2 BUTÈNE-1 2460 MÉTHYL-2 BUTÈNE-2	2399	MÉTHYL-1 PIPÉRIDINE
2402 PROPANETHIOLS 2403 ACÉTATE D'ISOPROPÉNYLE 2404 PROPIONITRIL 2406 ISOBUTYRATE D'ISOPROPYLE 2409 PROPIONATE D'ISOPROPYLE 2410 TÉTRAHYDRO-1,2,3,6 PYRIDINE 2411 BUTYRONITRIL 2412 TÉTRAHYDROTHIOPHÈNE 2414 THIOPHÈNE 2416 BORATE DE TRIMÉTHYLE 2436 ACIDE THIOACÉTIQUE 2456 CHLORO-2 PROPÈNE 2457 DIMÉTHYL-2,3 BUTANE 2458 HEXADIÈNES 2459 MÉTHYL-2 BUTÈNE-1 2460 MÉTHYL-2 BUTÈNE-2	2400	ISOVALÉRATE DE MÉTHYLE
2404 PROPIONITRIL 2406 ISOBUTYRATE D'ISOPROPYLE 2409 PROPIONATE D'ISOPROPYLE 2410 TÉTRAHYDRO-1,2,3,6 PYRIDINE 2411 BUTYRONITRIL 2412 TÉTRAHYDROTHIOPHÈNE 2414 THIOPHÈNE 2416 BORATE DE TRIMÉTHYLE 2436 ACIDE THIOACÉTIQUE 2456 CHLORO-2 PROPÈNE 2457 DIMÉTHYL-2,3 BUTANE 2458 HEXADIÈNES 2459 MÉTHYL-2 BUTÈNE-1 2460 MÉTHYL-2 BUTÈNE-2	2402	PROPANETHIOLS
2406 ISOBUTYRATE D'ISOPROPYLE 2409 PROPIONATE D'ISOPROPYLE 2410 TÉTRAHYDRO-1,2,3,6 PYRIDINE 2411 BUTYRONITRIL 2412 TÉTRAHYDROTHIOPHÈNE 2414 THIOPHÈNE 2416 BORATE DE TRIMÉTHYLE 2436 ACIDE THIOACÉTIQUE 2456 CHLORO-2 PROPÈNE 2457 DIMÉTHYL-2,3 BUTANE 2458 HEXADIÈNES 2459 MÉTHYL-2 BUTÈNE-1 2460 MÉTHYL-2 BUTÈNE-2	2403	ACÉTATE D'ISOPROPÉNYLE
2409 PROPIONATE D'ISOPROPYLE 2410 TÉTRAHYDRO-1,2,3,6 PYRIDINE 2411 BUTYRONITRIL 2412 TÉTRAHYDROTHIOPHÈNE 2414 THIOPHÈNE 2416 BORATE DE TRIMÉTHYLE 2436 ACIDE THIOACÉTIQUE 2456 CHLORO-2 PROPÈNE 2457 DIMÉTHYL-2,3 BUTANE 2458 HEXADIÈNES 2459 MÉTHYL-2 BUTÈNE-1 2460 MÉTHYL-2 BUTÈNE-2	2404	PROPIONITRIL
2410 TÉTRAHYDRO-1,2,3,6 PYRIDINE 2411 BUTYRONITRIL 2412 TÉTRAHYDROTHIOPHÈNE 2414 THIOPHÈNE 2416 BORATE DE TRIMÉTHYLE 2436 ACIDE THIOACÉTIQUE 2456 CHLORO-2 PROPÈNE 2457 DIMÉTHYL-2,3 BUTANE 2458 HEXADIÈNES 2459 MÉTHYL-2 BUTÈNE-1 2460 MÉTHYL-2 BUTÈNE-2	2406	ISOBUTYRATE D'ISOPROPYLE
2411 BUTYRONITRIL 2412 TÉTRAHYDROTHIOPHÈNE 2414 THIOPHÈNE 2416 BORATE DE TRIMÉTHYLE 2436 ACIDE THIOACÉTIQUE 2456 CHLORO-2 PROPÈNE 2457 DIMÉTHYL-2,3 BUTANE 2458 HEXADIÈNES 2459 MÉTHYL-2 BUTÈNE-1 2460 MÉTHYL-2 BUTÈNE-2	2409	PROPIONATE D'ISOPROPYLE
2412 TÉTRAHYDROTHIOPHÈNE 2414 THIOPHÈNE 2416 BORATE DE TRIMÉTHYLE 2436 ACIDE THIOACÉTIQUE 2456 CHLORO-2 PROPÈNE 2457 DIMÉTHYL-2,3 BUTANE 2458 HEXADIÈNES 2459 MÉTHYL-2 BUTÈNE-1 2460 MÉTHYL-2 BUTÈNE-2	2410	TÉTRAHYDRO-1,2,3,6 PYRIDINE
2414 THIOPHÈNE 2416 BORATE DE TRIMÉTHYLE 2436 ACIDE THIOACÉTIQUE 2456 CHLORO-2 PROPÈNE 2457 DIMÉTHYL-2,3 BUTANE 2458 HEXADIÈNES 2459 MÉTHYL-2 BUTÈNE-1 2460 MÉTHYL-2 BUTÈNE-2	2411	BUTYRONITRIL
2416 BORATE DE TRIMÉTHYLE 2436 ACIDE THIOACÉTIQUE 2456 CHLORO-2 PROPÈNE 2457 DIMÉTHYL-2,3 BUTANE 2458 HEXADIÈNES 2459 MÉTHYL-2 BUTÈNE-1 2460 MÉTHYL-2 BUTÈNE-2	2412	TÉTRAHYDROTHIOPHÈNE
2436 ACIDE THIOACÉTIQUE 2456 CHLORO-2 PROPÈNE 2457 DIMÉTHYL-2,3 BUTANE 2458 HEXADIÈNES 2459 MÉTHYL-2 BUTÈNE-1 2460 MÉTHYL-2 BUTÈNE-2	2414	THIOPHÈNE
2456 CHLORO-2 PROPÈNE 2457 DIMÉTHYL-2,3 BUTANE 2458 HEXADIÈNES 2459 MÉTHYL-2 BUTÈNE-1 2460 MÉTHYL-2 BUTÈNE-2	2416	BORATE DE TRIMÉTHYLE
2457 DIMÉTHYL-2,3 BUTANE 2458 HEXADIÈNES 2459 MÉTHYL-2 BUTÈNE-1 2460 MÉTHYL-2 BUTÈNE-2	2436	ACIDE THIOACÉTIQUE
2458 HEXADIÈNES 2459 MÉTHYL-2 BUTÈNE-1 2460 MÉTHYL-2 BUTÈNE-2	2456	CHLORO-2 PROPÈNE
2459 MÉTHYL-2 BUTÈNE-1 2460 MÉTHYL-2 BUTÈNE-2	2457	DIMÉTHYL-2,3 BUTANE
2460 MÉTHYL-2 BUTÈNE-2	2458	HEXADIÈNES
	2459	MÉTHYL-2 BUTÈNE-1
2461 MÉTHYLPENTADIÈNES	2460	MÉTHYL-2 BUTÈNE-2
<u> </u>	2461	MÉTHYLPENTADIÈNES

UN-Nummer	Stoffname gemäss RID				
2478	ISOCYANATES INFLAMMABLES, TOXIQUES, N.S.A. ou ISOCYANATE EN SOLUTION, INFLAMMABLE, TOXIQUE, N.S.A.				
2493	HEXAMÉTHYLÈNEIMINE				
2535	4-MÉTHYLMORPHOLINE (N-MÉTHYL-MORPHOLINE)				
2536	MÉTHYLTÉTRAHYDROFURANNE				
2554	CHLORURE DE MÉTHYLALLYLE				
2561	MÉTHYL-3 BUTÈNE-1				
2603	CYCLOHEPTATRIÈNE				
2612	ÉTHER MÉTHYLPROPYLIQUE				
2615	ÉTHER ÉTHYLPROPYLIQUE				
2616	BORATE DE TRIISOPROPYLE				
2622	GLYCIDALDÉHYDE				
2707	DIMÉTHYLDIOXANNES				
2733	AMINES INFLAMMABLES, CORROSIVES, N.S.A. ou POLYAMINES INFLAMMABLES, CORROSIVES, N.S.A.				
2749	TÉTRAMÉTHYLSILANE				
2838	BUTYRATE DE VINYLE STABILISÉ				
2924	LIQUIDE INFLAMMABLE, CORROSIF, N.S.A.				
2945	N-MÉTHYLBUTYLAMINE				
2985	CHLOROSILANES INFLAMMABLES, CORROSIFS, N.S.A.				
3022	OXYDE DE BUTYLÈNE-1,2 STABILISÉ				
3064	NITROGLYCÉRINE EN SOLUTION ALCOOLIQUE avec plus de 1% mais pas plus de 5% de nitroglycérine				
3065	BOISSONS ALCOOLISÉES contenant plus de 70% d'alcool en volume				
3248	MEDIKAMENT, FLÜSSIG, ENTZÜNDBAR, GIFTIG,				
3269	TROUSSES DE RÉSINE POLYESTER, constituant de base liquide				
3271	ÉTHERS, N.S.A.				
3272	ESTERS, N.S.A.				
3274	ALCOOLATES EN SOLUTION dans l'alcool, N.S.A.				
3295	HYDROCARBURES LIQUIDES, N.S.A. (pression de vapeur à 50 °C inférieure ou égale à 110 kPa)				
3336	MERCAPTANS LIQUIDES INFLAMMABLES, N.S.A. ou MERCAPTANS EN MÉLANGE LIQUIDE INFLAM-MABLE, N.S.A. (pression de vapeur à 50 °C inférieure ou égale à 110 kPa)				
3343	NITROGLYCERIN, GEMISCH, DESENSIBILISIERT				
3357	NITROGLYCÉRINE EN MÉLANGE, DÉSENSIBILISÉE, LIQUIDE, N.S.A., avec au plus 30% (masse) de nitroglycérine				
3371	2-MÉTHYLBUTANAL				
3379	LIQUIDE EXPLOSIBLE DÉSENSIBILISÉ, N.S.A.				
3469	PEINTURES, INFLAMMABLES, CORROSIVES				
3475	MÉLANGE D'ÉTHANOL ET D'ESSENCE contenant plus de 10% d'éthanol				

Leitstoff Propan (brennbare Gase)

Stoffname gemäss RID					
ACÉTYLÈNE DISSOUS					
BUTADIÈNES STABILISÉS ou BUTADIÈNES ET HYDROCAR-BURES EN MÉLANGE STABILISÉ, contenant plus de 40 % de butadiènes					
BUTANE					
BUTYLÈNE					
MONOXYDE DE CARBONE COMPRIMÉ					
GAZ DE HOUILLE COMPRIMÉ					
CYANOGÈNE					
CYCLOPROPANE					
DIFLUORO-1,1 ÉTHANE (GAZ RÉFRIGÉRANT R 152a)					
DIMÉTHYLAMINE ANHYDRE					
ÉTHER MÉTHYLIQUE					
ÉTHANE					
ÉTHYLAMINE					
CHLORURE D'ÉTHYLE					
ÉTHYLÈNE LIQUIDE RÉFRIGÉRÉ					
ÉTHER MÉTHYLÉTHYLIQUE					
OXYDE D'ÉTHYLÈNE					
OXYDE D'ÉTHYLÈNE ET DIOXYDE DE CARBONE EN MÉLANGE contenant plus de 9% mais pas plus de 87% d'oxyde d'éthylène					
HYDROGÈNE COMPRIMÉ					
SULFURE D'HYDROGÈNE					
ISOBUTYLÈNE					
BRIQUETS ou RECHARGES POUR BRIQUETS contenant un gaz inflammable					
MÉTHYLACÉTYLÈNE ET PROPADIÈNE EN MÉLANGE STABILISÉ comme le mélange P1, le mélange P2					
MÉTHYLAMINE ANHYDRE					
CHLORURE DE MÉTHYLE (GAZ RÉFRIGÉRANT R 40)					
MERCAPTAN MÉTHYLIQUE					
GAZ DE PÉTROLE COMPRIMÉ					
GAZ DE PÉTROLE LIQUÉFIÉS					
PROPYLÈNE					
TÉTRAFLUORÉTHYLÈNE STABILISÉ					
TRIFLUOROCHLORÉTHYLÈNE STABILISÉ (GAZ RÉFRIGÉRANT R 1113)					
TRIMÉTHYLAMINE ANHYDRE					
BROMURE DE VINYLE STABILISÉ					
CHLORURE DE VINYLE STABILISÉ					
ÉTHER MÉTHYLVINYLIQUE STABILISÉ					
FLUORURE DE VINYLE STABILISÉ					
DIBORANE					
CHLORURE DE MÉTHYLE ET CHLORURE DE MÉTHYLÈNE EN MÉLANGE					
AÉROSOLS inflammables					
GAZ COMPRIMÉ TOXIQUE, INFLAMMABLE, N.S.A.					
GAZ COMPRIMÉ INFLAMMABLE, N.S.A.					
DEUTÉRIUM COMPRIMÉ					
DIFLUORO-1,1 ÉTHYLÈNE (GAZ RÉFRIGÉRANT R 1132a)					
ÉTHANE LIQUIDE RÉFRIGÉRÉ					
ÉTHYLÈNE					
HYDROCARBURES GAZEUX EN MÉLANGE COMPRIMÉ, N.S.A.					
HYDROCARBURES GAZEUX EN MÉLANGE LIQUÉFIÉ, N.S.A. comme mélange A, A01, A02, A0, A1, B1, B2, B ou C					

UN-Nummer	Stoffname gemäss RID					
1966	HYDROGÈNE LIQUIDE RÉFRIGÉRÉ					
1969	ISOBUTANE					
1971	MÉTHANE COMPRIMÉ ou GAZ NATUREL (à haute teneur en méthane) COMPRIMÉ					
1972	MÉTHANE LIQUIDE RÉFRIGÉRÉ ou GAZ NATUREL (à haute teneur en méthane) LIQUIDE RÉFRIGÉRÉ					
1978	PROPANE					
2034	HYDROGÈNE ET MÉTHANE EN MÉLANGE COMPRIMÉ					
2035	TRIFLUORO-1,1,1 ÉTHANE (GAZ RÉFRIGÉRANT R 143a)					
2037	RÉCIPIENTS DE FAIBLE CAPACITÉ CONTENANT DU GAZ (CARTOUCHES À GAZ) sans dispositif de détente, non rechargeables					
2044	DIMÉTHYL-2,2 PROPANE					
2188	ARSINE					
2189	DICHLOROSILANE					
2192	GERMANE					
2199	PHOSPHINE					
2200	PROPADIÈNE STABILISÉ					
2202	SÉLÉNIURE D'HYDROGÈNE ANHYDRE					
2203	SILANE					
2204	SULFURE DE CARBONYLE					
2419	BROMOTRIFLUORÉTHYLÈNE					
2452	ÉTHYLACÉTYLÈNE STABILISÉ					
2453	FLUORURE D'ÉTHYLE (GAZ RÉFRIGÉRANT R 161)					
2454	FLUORURE DE MÉTHYLE (GAZ RÉFRIGÉRANT R 41)					
2517	CHLORO-1 DIFLUORO-1,1 ÉTHANE (GAZ RÉFRIGÉRANT R 142b)					
2534	MÉTHYLCHLOROSILANE					
2601	CYCLOBUTANE					
2676	STIBINE					
3138	ÉTHYLÈNE, ACÉTYLÈNE ET PROPYLÈNE EN MÉLANGE LIQUIDE RÉFRIGÉRÉ, contenant 71,5% au moins d'éthylène, 22,5% au plus d'acétylène et 6% au plus de propylène					
3150	PETITS APPAREILS À HYDROCARBURES GAZEUX ou RECHARGES D'HYDROCARBURES GAZEUX POUR PETITS APPAREILS avec dispositif de décharge					
3153	ÉTHER PERFLUORO (MÉTHYLVINYLIQUE)					
3154	ÉTHER PERFLUORO (ÉTHYLVINYLIQUE)					
3160	GAZ LIQUÉFIÉ TOXIQUE, INFLAMMABLE, N.S.A.					
3161	GAZ LIQUÉFIÉ INFLAMMABLE, N.S.A.					
3167	ÉCHANTILLON DE GAZ, NON COMPRIMÉ, INFLAMMABLE, N.S.A., sous une forme autre qu'un liquide réfrigéré					
3168	ÉCHANTILLON DE GAZ, NON COMPRIMÉ, TOXIQUE, INFLAMMABLE, N.S.A., sous une forme autre qu'un liquide réfrigéré					
3252	DIFLUOROMÉTHANE (GAZ RÉFRIGÉRANT R 32)					
3300	OXYDE D'ÉTHYLÈNE ET DIOXYDE DE CARBONE EN MÉLANGE contenant plus de 87% d'oxyde d'éthy- lène					
3305	GAZ COMPRIMÉ TOXIQUE, INFLAMMABLE, CORROSIF, N.S.A.					
3309	GAZ LIQUÉFIÉ TOXIQUE, INFLAMMABLE, CORROSIF, N.S.A.					
3312	GAZ LIQUIDE RÉFRIGÉRÉ, INFLAMMABLE, N.S.A.					
3354	GAZ INSECTICIDE INFLAMMABLE, N.S.A.					
3355	GAZ INSECTICIDE TOXIQUE INFLAMMABLE, N.S.A.					
3358	MACHINES FRIGORIFIQUES contenant un gaz liquéfié inflammable et non toxique					
3374	ACÉTYLÈNE SANS SOLVANT					
3468	HYDROGÈNE DANS UN DISPOSITIF DE STOCKAGE À HYDRURE MÉTALLIQUE ou HYDROGÈNE DANS UN DISPOSITIF DE STOCKAGE À HYDRURE MÉTALLIQUE CONTENU DANS UN ÉQUIPEMENT ou HYDROGÈNE DANS UN DISPOSITIF DE STOCKAGE À HYDRURE MÉTALLIQUE EMBALLÉ AVEC UN ÉQUIPEMENT					
3478	CARTOUCHES POUR PILE À COMBUSTIBLE ou CARTOUCHES POUR PILE À COMBUSTIBLE CONTE- NUES DANS UN ÉQUIPEMENT ou CARTOUCHES POUR PILE À COMBUSTIBLE EMBALLÉES AVEC UN ÉQUIPEMENT, contenant un gaz liquéfié inflammable					

UN-Nummer	Stoffname gemäss RID				
3479	CARTOUCHES POUR PILE À COMBUSTIBLE ou CARTOUCHES POUR PILE À COMBUSTIBLE CONTE- NUES DANS UN ÉQUIPEMENT ou CARTOUCHES POUR PILE À COMBUSTIBLE EMBALLÉES AVEC UN ÉQUIPEMENT, contenant de l'hydrogène dans un hydrure métallique				
3501	PRODUIT CHIMIQUE SOUS PRESSION, INFLAMMABLE, N.S.A.				
3504	PRODUIT CHIMIQUE SOUS PRESSION, INFLAMMABLE, TOXIQUE, N.S.A.				
3505	PRODUIT CHIMIQUE SOUS PRESSION, INFLAMMABLE, CORROSIF, N.S.A.				
3510	GAZ ADSORBÉ INFLAMMABLE, N.S.A.				
3514	GAZ ADSORBÉ TOXIQUE, INFLAMMABLE, N.S.A.				
3517	GAZ ADSORBÉ TOXIQUE, INFLAMMABLE, CORROSIF, N.S.A.				
3522	ARSINE ADSORBÉ				
3523	GERMANE ADSORBÉ				
3525	PHOSPHINE ADSORBÉE				
3526	SÉLÉNIURE D'HYDROGÈNE ADSORBÉ				
3529	MOTEUR À COMBUSTION INTERNE FONCTIONNANT AU GAZ INFLAMMABLE ou MOTEUR PILE À COMBUSTIBLE CONTENANT DU GAZ INFLAMMABLE ou MACHINE À COMBUSTION INTERNE FONCTIONNANT AU GAZ INFLAMMABLE ou MACHINE PILE À COMBUSTIBLE CONTENANT DU GAZ INFLAMMABLE				

Leitstoff Chlor (humantoxische Gase)

UN-Nummer	Stoffname gemäss RID				
1005	AMMONIAC ANHYDRE				
1008	TRIFLUORURE DE BORE				
1017	CHLORE				
1045	FLUOR COMPRIMÉ				
1048	BROMURE D'HYDROGÈNE ANHYDRE				
1050	CHLORURE D'HYDROGÈNE ANHYDRE				
1062	BROMURE DE MÉTHYLE contenant au plus 2% de chloropicrine				
1067	TÉTROXYDE DE DIAZOTE (DIOXYDE D'AZOTE)				
1069	CHLORURE DE NITROSYLE				
1076	PHOSGÈNE				
1079	DIOXYDE DE SOUFRE				
1581	BROMURE DE MÉTHYLE ET CHLOROPICRINE EN MÉLANGE contenant plus de 2% de chloropicrine				
1582	CHLORURE DE MÉTHYLE ET CHLOROPICRINE EN MÉLANGE				
1589	CHLORURE DE CYANOGÈNE STABILISÉ				
1612	TÉTRAPHOSPHATE D'HEXAÉTHYLE ET GAZ COMPRIMÉ EN MÉLANGE				
1660	MONOXYDE D'AZOTE (OXYDE NITRIQUE) COMPRIMÉ				
1741	TRICHLORURE DE BORE				
1749	TRIFLUORURE DE CHLORE				
1859					
1955	TÉTRAFLUORURE DE SILICIUM				
1955	GAZ COMPRIMÉ TOXIQUE, N.S.A.				
	GAZ INSECTICIDE TOXIQUE, N.S.A. MONOXYDE D'AZOTE ET TÉTROXYDE DE DIAZOTE EN MÉLANGE (MONOXYDE D'AZOTE ET				
1975	DIOXYDE D'AZOTE EN MÉLANGE)				
2190	DIFLUORURE D'OXYGÈNE COMPRIMÉ				
2191	FLUORURE DE SULFURYLE				
2194	HEXAFLUORURE DE SÉLÉNIUM				
2195	HEXAFLUORURE DE TELLURE				
2196	HEXAFLUORURE DE TUNGSTÈNE				
2197	IODURE D'HYDROGÈNE ANHYDRE				
2198	PENTAFLUORURE DE PHOSPHORE				
2417	FLUORURE DE CARBONYLE				
2418	TÉTRAFLUORURE DE SOUFRE				
2420	HEXAFLUORACÉTONE				
2548	PENTAFLUORURE DE CHLORE				
2901	CHLORURE DE BROME				
3057	CHLORURE DE TRIFLUORACÉTYLE				
3083	FLUORURE DE PERCHLORYLE				
3162	GAZ LIQUÉFIÉ TOXIQUE, N.S.A.				
3169	ÉCHANTILLON DE GAZ, NON COMPRIMÉ, TOXIQUE, N.S.A., sous une forme autre qu'un liquide réfrigéré				
3303	GAZ COMPRIMÉ TOXIQUE, COMBURANT, N.S.A.				
3304	GAZ COMPRIMÉ TOXIQUE, CORROSIF, N.S.A.				
3306	GAZ COMPRIMÉ TOXIQUE, COMBURANT, CORROSIF, N.S.A.				
3307	GAZ LIQUÉFIÉ TOXIQUE, COMBURANT, N.S.A.				
3308	GAZ LIQUÉFIÉ TOXIQUE, CORROSIF, N.S.A.				
3310	GAZ LIQUÉFIÉ TOXIQUE, CORROSIF, N.S.A. GAZ LIQUÉFIÉ TOXIQUE, COMBURANT, CORROSIF, N.S.A.				
	AMMONIAC EN SOLUTION AQUEUSE de densité relative inférieure à 0,880 à 15 °C contenant plus de				
3318	50% d'ammoniac				
3512	GAZ ADSORBÉ TOXIQUE, N.S.A.				
3515	GAZ ADSORBÉ TOXIQUE, COMBURANT, N.S.A.				
3516	GAZ ADSORBÉ TOXIQUE, CORROSIF, N.S.A.				

UN-Nummer	Stoffname gemäss RID			
3518	GAZ ADSORBÉ TOXIQUE, COMBURANT, CORROSIF, N.S.A.			
3519	TRIFLUORURE DE BORE ADSORBÉ			
3520	CHLORE ADSORBÉ			
3521	TÉTRAFLUORURE DE SILICIUM ADSORBÉ			
3524	PENTAFLUORURE DE PHOSPHORE ADSORBÉ			

A2 Plausibilitätskontrolle Gefahrgutmengen

Die neu berechneten TgG-Gefahrgutmengen werden aufsteigend nach der ID «idSubElement» sortiert. Ein Python-Skript ermittelt das Vorgängerelement jeder ID und berechnet als Vergleichsgrösse einen Quotienten basierend auf dem Attribut «Gefahrgutmenge_total». Ist der Quotient kleiner als 1, erfolgt eine Invertierung von Zähler und Nenner. Die berechneten Quotienten werden pro Punkt grafisch mit Ampelfarben visualisiert und entlang des gesamten Netzes manuell überprüft. Quotienten ≥ 1,1 werden als Sprünge betrachtet.

Folgende manuelle Anpassungen werden vorgenommen (Abbildung 13):

- Offensichtlich unlogische und signifikante Sprünge in der Gesamtenge aller Gefahrgüter («Gefahrgutmenge_total»), die auf offener Strecke oder in Tunneln, insbesondere bei zusammenführenden oder divergierenden Linien auftreten, werden korrigiert (Abbildungen 15 & 16). Insgesamt werden für ca. 400 Punkte alle 8 Gefahrgutparameter (alle Stoffkategorien) angepasst.
- Anpassungen für die Streckenabschnitte Eppenbergtunnel, Ceneri-Basistunnel und neuem Bözbergtunnel. Bei diesen Streckenabschnitten lagen weniger als fünf Jahre Gefahrgutdaten vor. Die Gefahrgutmengen wurden entsprechend der tatsächlich vorhandenen Jahre korrigiert.
- Anpassungen im Raum Basel Badischer Bahnhof gemäss Kapitel 4.2.4.

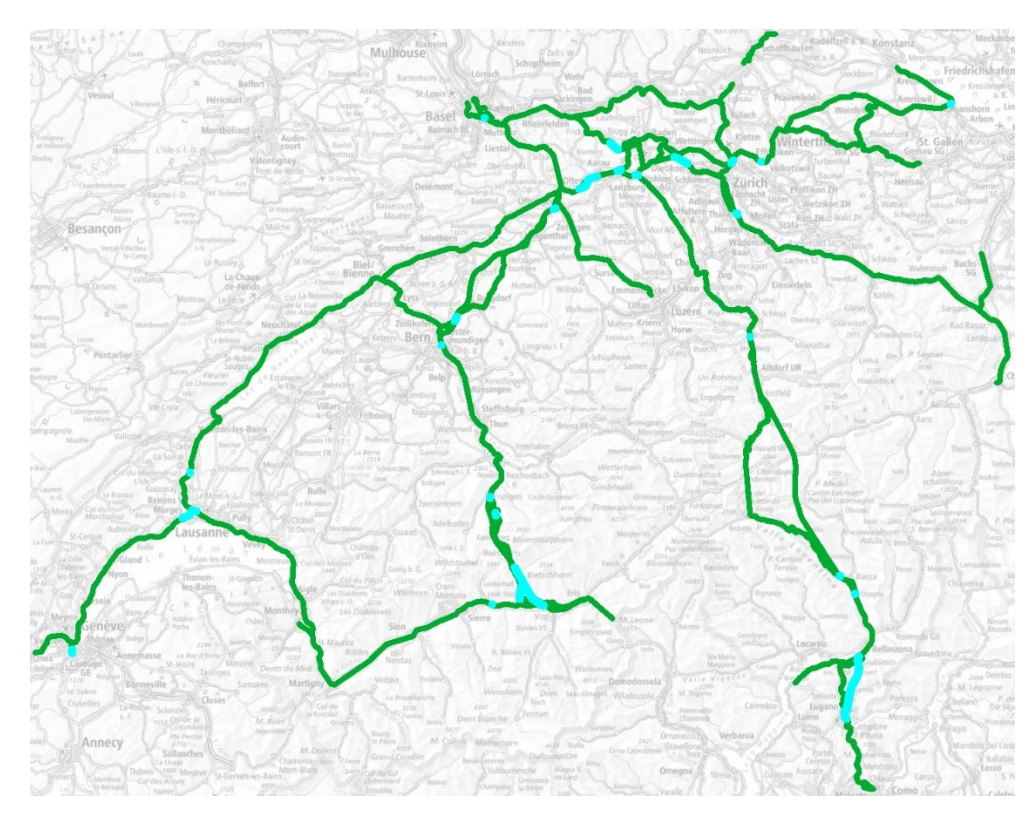


Abbildung 13: Störfallnetz mit manuellen Anpassungen der Gefahrgutmenge (Anpassung = türkis)

Die folgenden Abbildungen (Abbildung 14 und Abbildung 15) veranschaulichen zwei typische Beispiele für Anpassungen an spezifischen Lokationen. In diesen Beispielen nimmt die Gefahrgut-Gesamtmenge (analog zu den Mengen für der einzelnen Leitstoffe) über kurze Streckenabschnitte zu oder ab und springt anschliessend wieder auf den ursprünglichen Wert zurück. EBP schätzt, dass nur etwa 0.2 % aller Linien-EP (BASE) derartige Diskrepanzen aufweisen.



Abbildung 14: Beispiel 1: Gefahrgutmenge total in [t] vor manueller Korrektur in TgG | danach (für idSubElement 30002982 | X 2617802.31170654 | Y 1154427.10168457 | DfALinie 300 | DfAKm 23.8)

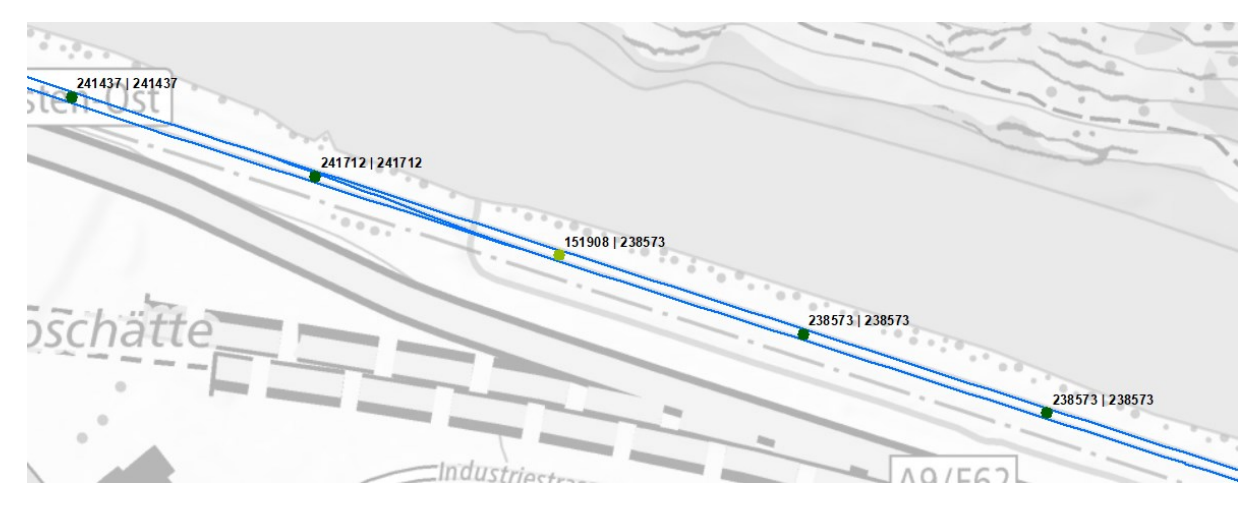


Abbildung 15: Beispiel 2: Gefahrgutmenge total in [t] vor manueller Korrektur in TgG | danach (für idSubElement 10003772 | X 2616674.558289 | Y 1128605.989075 | DfA-Linie 100 | DfAKm 118.5)

A3 Dauer einer Grundwasserverschmutzung

Die Ermittlung der Dauer einer Grundwasserverschmutzung basiert auf der Methodik für das Umweltscreening bei der Bahn sowie den dort verwendeten Parameterwerten (vgl. Kapitel 8.4.2 bis 8.4.5 in [9]). Diese Methodik wurde 2008 entwickelt und erstmals netzweit angewendet. Später wurden Annahmen zur Entnahme von Gefahrgut aus dem Boden bzw. dem Grundwasserträger mittels Interventions- bzw. Sanierungsmassnahmen angepasst (vgl. [10]).

Die Ermittlung der Verschmutzungsdauer (bzw. der Dauer, während der die zugehörigen Fassungen bzw. Quellen nicht für die Trinkwasserversorgung nutzbar sind), erfolgt in zwei Schritten, die sich qualitativ wie folgt beschreiben lassen:

- 1) Ermittlung des Gefahrgutvolumens in die gesättigte Zone (Rechengang: Freisetzungsmenge abzüglich Eintragsmenge in ein OFG, abzüglich oberflächlicher Rückhalt (z.B. an der Vegetation) bzw. Rückhalt in der ungesättigten Zone, abzüglich Entnahmemenge durch Intervention sowie durch Sanierungsmassnahmen).
- 2) Bildung einer Gefahrgutlinse, welche auf der gesättigten Zone aufschwimmt (LS Mineralöl) bzw. in diese eindringt (andere LS). An der Grenzfläche zur gesättigten Zone gehen die Schadstoffe unterschiedlich schnell in Lösung. Es wird angenommen, dass gelöste Schadstoffe mit der Grundwasserströmung davongetragen, verdünnt und allmählich abgebaut werden. Die Dauer, bis die gesamte Schadstoffmenge in der Linse in Lösung geht, entspricht in guter Näherung der gesuchten Verschmutzungsdauer.

Die beiden Schritte lassen sich formelmässig wie folgt beschreiben:

1) $V_{gZ} = (V_{Fr} - V_{OFG} - V_{R,uZ}) * \varphi_I * \varphi_S$

wobei: V_{gZ} : Gefahrgutvolumen, das nach Intervention und Sanierung in der

gesättigten Zone verbleibt

V_{Fr}: <u>Fr</u>eisetzungs<u>v</u>olumen V_{OFG}: Eintragsvolumen in OFG

V_{R,Zu}: Rückhaltevolumen an der Oberfläche (z.B. Vegetation) sowie in der

ungesättigten Zone

 ϕ_1 : Anteil des durch Intervention entnehmbaren Gefahrguts ϕ_S : Anteil des durch Sanierung entnehmbaren Gefahrguts

und folgende Werte verwendet werden:

V_{Fr} : gemäss Tabelle 1 in [10] (abhängig vom Szenario²⁵)

 V_{OFG} : ortsspezifischer Parameter aus Abflussmodellierung (pro Szenario) $V_{R,Zu}$: ortsspezifischer Parameter aus Abflussmodellierung (pro Szenario)

 φ_1 : 0.4 (Standardwert gemäss Seite 6 in [9]) φ_{S} : 0.1 (Standardwert gemäss Seite 6 in [9]).

Alle Gefahrgutvolumina werden aus den entsprechenden Massen mittels Division durch die Dichte gemäss Tabelle 3 in [9] ermittelt.

2) Aus dem Wert für V_{gZ} (je ein Wert pro Szenario) wird die Ausfalldauer gemäss [9] wie folgt ermittelt (die Rechnung wird der Übersichtlichkeit halber in drei Schritte (i) – (iii) unterteilt, mit zwei Zwischenergebnissen für A_0 (Abflussquerschnitt der gelösten

²⁵ Für die Ermittlung der Grundwasserrisiken werden insgesamt 54 Szenarien unterschieden: 3 Leitstoffe, 3 Freisetzungsorte, 3 Freisetzungsmengen, Unterscheidung trockener bzw. durchnässter Boden. Dies ergibt total 3*3*3*2 = 54 Szenarien (bzw. H-A-Wertepaare).

Schadstoffe am Eintragsort in [m²]) und den Massenstrom m (aus der Gefahrqutlinse hinaus in den umgebenden Grundwasserträger diffundierendes Gefahrgut):

(i) Es gilt:

$$A_0 = 2\sqrt{\frac{V_{gZ}}{h_{sch}p}} \cdot (e_{GW} + \sqrt{2 \alpha_T \sqrt{\frac{V_{gZ}p}{h_{sch}}}})$$

wobei:

h_{sch}: Schichtdicke ungelöste Schadstoffphase auf Grundwasseroberfläche [m]

Kreiszahl (3.14159...)

e_{GW}: Schwankungsbereich Grundwasseroberfläche [m]

transversale Dispersivität [m]

und folgende Werte verwendet werden:

h_{sch}: 0.01 m e_{GW}: 0.5 m α_T : 0.1 m

(ii) Aus dem obigen Wert für A₀ lässt sich der Gefahr-Massenstrom m ermitteln:

$$\dot{m} = k J c_0 A_0$$

wobei:

m: Massenstrom vom Schadstoff an der Phasengrenzfläche [kg/s]

k: Durchlässigkeit des Aquifers [m/s]

J: hydraulisches Gefälle [-]

Löslichkeit des Schadstoffs im Wasser [kg/m³] C₀:

und folgende Werte verwendet werden:

m/s für Karst k: 0.1 0.001 m/s für Kies/Sand 5*10⁻⁵ m/s für Sand/Silt

10⁻⁸ m/s für Tone/Fels

J: 0.05

kg/m³ für LS Mineralölprodukte c_0 : 0.1 kg/m³ für LS Epichlorhydrin 60

0.15 kg/m³ für LS Perchlorethylen

Aus der Gefahrgutmenge $m_{gZ} = V_{gZ} \rho$ in der gesättigten Zone sowie dem Parameter m kann schliesslich die Verschmutzungsdauer T einfach berechnet werden:

$$T = \frac{m_{gZ}}{\dot{m}}$$
 für T in [s] bzw.

$$T = \frac{1}{\dot{m}}$$
 für T in [S] bzw.
$$T = \frac{12 \cdot m_{gZ}}{365 \cdot 24 \cdot 3600 \, \dot{m}}$$
 für T in [Monaten]

wobei die Dichte ρ gemäss Tabelle 3 in [9] verwendet wird.